

2243

İSTANBUL TEKNİK ÜNİVERSİTESİ MADEN FAKÜLTESİ

ESKİŞEHİR - BEYLİKAHIR TORYUM CEVHERİNİN
DEĞERLENDİRİLMESİ

İTÜ FEN BİLİMLERİ ENSTİTÜSÜNCE
"DOKTOR"

Ünvanının verilmesi için kabul edilen tezdir.

Yük. Müh. Bedri İPEKOĞLU

Tezin Fen Bilimleri Ens. Verildiği Tarih : 2. 5. 1983

Tezin Savunulduğu Tarih : 6.12. 1983

Doktorayı Yöneten Öğretim Üyesi : Prof. Dr. T. Cengiz BAYRAKTAR
Diğer Jüri Üyeleri : Prof. Dr. Galib SAĞIROĞLU
: Doç. Dr. Güven ÖNAL

İ.T.Ü. MADEN FAKÜLTESİ OFSET BASKI ATÖLYESİ - 1983

Aralık 1983

W. C.
Vakıf Koleji Kurulu
Dokümantasyon Merkezi

İ Ç İ N D E K İ L E R

ÜZET	III
SUMMARY	V
GİRİŞ ve AMAÇ	1
I. GENEL BİLGİLER	5
1.1 TORYUM	5
1.1.1 Özellikleri	5
1.1.2 Toryum ve Nükleer Enerji	12
1.2 TORYUM YATAKLARI	15
1.2.1 Toryum Yataklarının Sınıflandırılması	15
1.2.2 Toryum Yataklarındaki Önemli Toryum Mineralleri.	17
1.2.3 Türkiye Toryum Yatakları	23
1.3 TORYUM CEVHERLERİNİN DEĞERLENDİRİLMESİ	25
2. ESKİSEHIR - BEYLİKAHIR TORYUM CEVHERİNİN DEĞERLENDİRİLMESİ	32
2.1 DENEYLERE ESAS OLAN NUMUNENİN ÖZELLİKLERİ	33
2.1.1 Numunenin Alınışı	33
2.1.2 Mineralojik İnceleme	34
2.1.3 Tane Serbestleşmesi	39
2.1.3.1 Yüzdürme - Batırma Deneyleri	39
2.1.3.2 Manyetik Ayırma Deneyleri	41
2.1.3.3 Yüzdürme Batırma + Manyetik Ayırma Deneyleri	43
2.2 ÖN ZENGİNLEŞTİRME DENEYLERİ	44
2.2.1 Boyut Küçültme Deneyleri	45
2.2.2 Sarsıntılı Masada Özgül Ağırlık Farkına Göre Zenginleştirme Deneyleri	45

2.2.3 Flotasyon İle Zenginleştirme Deneyleri	51
2.2.4 Dağıtma ve Boyuta Göre Sınıflandırma İle Zenginleştirme Deneyleri	52
2.2.4.1 Karıştırarak Dağıtma Deneyleri	52
2.2.4.2 Aktararak Dağıtma Deneyleri	62
2.3 ASİTLİ ÇÖZÜNDÜRME DENEYLERİ	67
2.3.1 Sülfürik Asit ile Yapılan Çözündürme Deneyleri ..	68
2.3.1.1 Orijinal Toryum Cevherini Sülfürik Asit İle Çözündürme	68
2.3.1.1.1 Sıcaklığın Çözündürme İşlemle- rine Etkisi	69
2.3.1.1.2 Püpte Kati Oranının Çözündür- me İşlemine Etkisi	76
2.3.1.2 Toryum Ön Konsantresini Sülfürik Asit ile Çözündürme	78
2.3.2 Nitrik Asit ile Yapılan Çözündürme Deneyleri ..	82
2.3.2.1 Orijinal Toryum Cevherini Nitrik Asit ile Çözündürme	83
2.3.2.2 Toryum Ön Konsantresini Nitrik Asit ile Çözündürme	87
2.3.3 Hidroklorik Asit ile Yapılan Çözündürme Deney- leri	91
2.3.3.1 Orijinal Toryum Cevherini Hidroklorik Asit ile Çözündürme	91
2.3.3.2 Toryum Ön Konsantresini Hidroklorik Asit ile Çözündürme	96
3. SONUÇLAR	101
KAYNAKLAR	
ÖZGEÇMİŞ	

Ö Z E T

Türkiye de Eskişehir - Beylikahır bölgesinde bulunan ve dün-
yadaki büyük rezervli toryum yataklarından biri olarak kabul edilen bu
cevher yatağının toryum bakımından değerlendirilmesine ışık tutmak ama-
cıyla bu çalışma yapılmıştır.

Cevher yatağının ortalama toryum tenörü % 0.2 olup düşük te-
nörlü bir cevher olarak tanımlanmakta ise de bu cevher yatağı rezervi-
nin büyülüğu, içerisinde bulunan Nadir Toprak Elementleri, Barit ve Fluor-
it bakımından da ayrı bir önem taşımaktadır. Yatağın Özellikleri göz
önünde bulundurularak MTA Enstitüsü tarafından açılan yarmalardan % 0.65
Toryum tenörlü yaklaşık 1000 kg lik temsili bir numune alınmış ve de-
neyssel çalışmalar bu numune üzerinde yürütülmüştür.

Bu araştırmada öncelikle cevheri tanamak için mineralojik in-
celemeye, ağır ortam ayırmayı manyetik ayırma ve 'ağır ortam + manyetik a-
yırma' deneyleri yapılmış olup cevher hakkında gerekli bilgiler elde e-
dildikten sonra bu bilgilerin ışığı altında cevheri zenginleştirme çा-
lışmaları yapılmıştır. Ayrıca bu çalışmalara sürat kazandırması açısından
toryum için pratik ve güvenilir bir analiz yöntemi geliştirilmiştir.

Ün zenginleştirme çalışmalarında cevherin ve cevher içerisinde
saptanan minerallerin özellikleri göz önünde bulundurularak sırasıyla
boyut küçültme, sarsıntılı masa ile zenginleştirme, flotasyon ile zen-
ginleştirme, karıştırarak ve aktararak dağıtma ve boyuta göre sınıflan-

dırma ile zenginleştirme deneyleri yapılmıştır.

Toryum mineralinin cevher içerisinde çok ince tanecikler halinde dağılmış olması ve kıl mineralleri ile birlikte kolaylıkla ince tane-ye geçebilmesi dolayısıyla, dağıtma ve boyuta göre sınıflandırma deney-leri sonunda iyi netice alınmış ve % 1.2 Toryum tenörlü, bir ön konsantrre % 73.1 verimle elde edilmiştir.

Bu ön konsantre sülfürik asit, nitrik asit, ve hidroklorik asit ile ayrı ayrı çözündürme işlemine tabi tutulmuş olup, çözündürme süresi, asit miktarı, sıcaklık ve pülp yoğunluğunun toryum çözünme verimine etki-leri incelenmiştir. Her üç asitle de, gerekli miktar ve süre tesbit edi-lerek % 99 'a yakın bir toryum çözünme verimi elde edilmiştir.

Cözündürme işlemlerinde karşılasılan en enteresan olay; ön konsantre içinde bulunan fluoritin çözülmesiyle aşağı çıkan fluorür iyonu çözelti içindeki toryum iyonuyla birleşerek Toryum Tetra Florür(ThF_4) halinde toryumu çökeltmektedir. Böylece toryum çözünme verimi % 30 ci-varına düşmektedir. Bu olay çözündürme süresini ayarlamakla bertaraf e-dilmiştir.

Ayrıca orijinal toryum cevher numunesi de aynı asitlerle ve aynı koşullarda çözündürme işlemine tabi tutulmuş olup, elde edilen sonuç-ları, ön konsantreden elde edilen sonuçlarla karşılaştırılmıştır.

Bu çalışma sonunda:

- % 1.2 Th tenörlü, % 73.1 verimle bir ön konsantre elde edilmiştir.
- Çözündürme işlemleri sırasında toryumun çökelme nedenleri saptanmış ve süre ayarlamasıyla giderilerek % 99 luk bir toryum çözünme verimi sağ-lanmıştır.
- Toryum ön konsantresini çözündürme işlemlerinde kullanılan asit mik-tarında, orijinal cevhre göre % 30-40 oranında bir avantaj elde edil-mistiir.

S U M M A R Y

Energy, has been one of the most important problems of this century in the world and in Turkey. As the energy demand increases concerns for the exhaustion of fossil fuels, oil crisis, high fuel prices has proved that nuclear energy is the most attractive to conventional energy forms. In Turkey, all the research and preliminary studies in nuclear energy field has been accelerated since 1965 and has been directed towards the evaluation of our own uranium and thorium resources.

This study is concerned with the evaluation of Eskisehir - Beylikahir Thorium deposit which is known as one of the world's largest thorium deposits.

The experiments have been carried out by using a representative sample of 1000 Kg. of thorium ore with 0.65 % thorium content from Eskisehir - Beylikahir thorium deposit for ore dressing and leaching process. In this thorium deposit two kinds of rocks were found. One was fissure vein group and the other one was tectonic breccia which contains gang minerals and thorium. At the same time there were also four kinds of mineralized substance of Manganese oxides, Barite, Fluorite and Carbonates in that particular deposit.

VI

The thorium ore sample on which experiments are carried out was absolutely soil looking, very brittle and did break up easily. Barite, Fluorite, Dolomite, Goethite, Limonite, Quartz, Montmorillonite, Orthoclase and Pyrolusite were found in the ore by mineralogic determination. The identification of thorium mineral in the ore wasn't possible by using a microscope. However, certain results obtained by x-ray diffraction method were thought to indicate the existence of Bastnäsite mineral.

Sink - Float separation, magnetic separation and combination of these two techniques were applied on the ore sample in order to get more information about the structural characteristics of that particular ore. It has been observed that the thorium content has been increased in the heavy mineral concentrate and magnetic products obtained by these methods. Even a high value of 2.2 % Th has been obtained in a product. However, the recovery of thorium was about 24 and this value was too low to be optimistic.

According to the results obtained for ore investigation and the structural characteristics of the ore, it was necessary to search for the possible ways to have concentrates with higher thorium contents for the sample before the leaching process. For this purpose crushing and grinding, gravimetric separation, flotation, scrubbing and tumbling experiments have been performed.

The thorium contents of the size fractions obtained by a series of screen analysis of the original raw ore sample and the sample crushed to -6 mm. and -1 mm. were determined. Closed circuit process was applied during the crushing experiments. It was found that the thorium content increased in a fine fraction of the ore. The concentration of thorium was too low when all experimental results were taken into consideration.

VII

By making use of the difference between the specific gravities of different minerals in the ore, the preconcentration process has been carried out on shaking table. Samples in three different particle size were prepared for the concentrating table experiments. Results obtained at the end of these experiments showed that it wasn't possible to collect any significant amount of thorium concentrate in a product.

The ore sample was ground and screened step by step to reach minus 0.151 mm. particle size for flotation experiment to float the barite and fluorite. Since there were too much slime in the ore, it had to be removed completely from the ore before flotation technique was used. The brittleness and easily grindable of the ore and the existence of clay minerals had adverse effect on the flotation. Thus, it wasn't possible to collect thorium mineral in a particular product by flotation.

Utilizing the data obtained by the experiments used to identify the ore and the properties of ore structure, it was thought that the ore should be scrubbed and tumbled in a certain particle size in order to get better thorium concentrates. The scrubbing experiments have been performed for samples with three different particle size 6mm. 4mm. and 2mm. The retention times were 10, 20 and 30 minutes respectively. At the end of these experiments, the product which has 79 % Th-recovery, 1 % Th-grade and minus 0.053 mm. particle size was obtained under the conditions of 6mm. particle size, 30 min. retention time and 60 % solid in pulp. The result show that thorium recovery was increasing as the particle size increased. From this point of view, the tumbling experiment has been done on the raw ore sample since it will be more economical and give higher Th-recovery. Thus the obtained Th-preconcentrate has 1.2 % Th-grade with the particle size -0.105 mm. and the Th-recovery of 73.1 %. In this tumbling experiment pulp density was 65 % solid. The analysis for the preconcentrate of the thorium

VIII

ore showed that it had a poorer concentration of silica and richer concentration of barite, fluorite and montmorillonite than the original ore.

Acid leaching was conducted on the original thorium ore and on the thorium preconcentrate for thorium extraction. The aim of this process was to prove and then to compare thorium extraction recovery for both samples under same conditions and to find out that whether the preconcentrate of thorium obtained via physical enrichment process has any use.

Leach tests have been done with three different acids namely sulphuric acid, nitric acid and hydrochloric acid. The effects of acid concentration and retention time on thorium extraction efficiency were examined for each acids. In addition, the effects of temperature variations and the effects of solid's ratio in pulp on extraction's efficiency was investigated.

The samples, each one being 300 gr., were used in leaching experiments. Because of the particle size was minus 0.105 mm. in preconcentrate of thorium to establish the same conditions, the original thorium ore sample was ground to the particle size of minus 0.105 mm.

Conditions of experiments:

The particle size of sample : - 0.105 mm.

Acids : H_2SO_4 , HNO_3 and HCl

The amount of acid used : 100 - 800 Kg / tone

Pulp density : 50 % solid

Time : 0 - 4 hours

Temperature : Room temperature

As a result of leach experiments performed with three diffe-

IX

rent acids under the conditions mentioned above, thorium extraction was obtained with a 99 % recovery. However the amount of acid used for preconcentrate of thorium was 30 - 35 % less than the amount of acid used for original thorium ore.

It was observed that the recovery of thorium extraction for the original thorium ore has been increasing as the amount of acid and the retention time increased. This was valid for three kinds of acids used. However some difficulties have arised in the leaching experiments performed with sulphuric acid since very fine calcium sulphate precipitated very easily and it made mixing and filtering processes rather difficult.

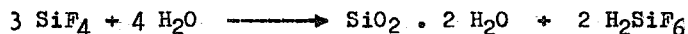
The experiment of the preconcentrate of thorium extraction had showed that the recovery of thorium extraction has been increasing as the amount of acid and the retention time increases. But during the experiments performed with sulphuric acid and nitric acid, the recovery of thorium extraction has reached to its maximum value within half an hour. After half an hour, thorium was beginning to precipitate and thorium extraction decreased to a minimum value at the end of the first hour. It was possible to say that the fluoride ion caused to precipitate of thorium from the extracted thorium. After beginning to dissolve calcium fluorite (CaF_2) which was much higher in the thorium preconcentrate, the fluoride ions were taken into the solution immediately and they formed a compound with thorium ions. Thus, thorium tetra fluoride(ThF_4) precipitated in the solution. Since thorium tetra fluoride is highly insoluble compound, it didn't dissolve during the leach experiment even though the retention time was increased.

The precipitation event did not occur in the process of original thorium ore leaching as there were large amount of free SiO_2 in

X

the original ore. The amount of free SiO_2 thorium preconcentrate was very low. The fluorite ions which has started to dissolve from the fluorite reacted with free SiO_2 and forms silica gel.

The reactions were as follow:



All the fluoride ions spend by SiO_2 as there were large amount of silica in solution and there were no more fluoride ions in media to precipitate thorium. Thus the precipitation of thorium was impossible after spending all fluoride ions by SiO_2 in solution.

There wasn't any precipitation of thorium when leaching of thorium preconcentrate with hydrochloric acid was performed. By using 200 Kg. hydrochloric acid per tone, thorium extraction with 99 % thorium recovery was obtained within three hours. It could be said that the most effective acid was hydrochloric acid to dissolve the thorium from the preconcentrate as well as the original ore.

During this project, a radiometric analysis method has also been developed for thorium determination. This method is more practical for the analysis of thorium from solid sample and the accuracy of the method has been justified by four different techniques.

GİRİŞ VE AMAÇ

İçinde yaşadığımız yüzyilda, dünyanın en önemli sorunu enerji sorunudur. Dünyanın yıllık enerji ihtiyacı, artan nüfusa paralel olarak hızla artmaktadır. Yapılan tahminlere göre, dünyanın yıllık enerji tüketimi 2030 yılında $35.7 \cdot 10^6$ MW yıl olacaktır. Bu değer 1975 yılı tüketiminin yaklaşık 4 katıdır (1).

Günümüzde dünya nüfusunun % 50.7 si geri kalmış ve gelişmekte olan ülkelerde, % 32.2 si Doğu Bloku ülkelerinde, % 17.1 i ise gelişmiş ülkelerde yaşamaktadır. Ancak 1975 yılı değerlerine göre, dünya enerji tüketiminin % 60.2 si gelişmiş ülkelerde, % 30.4 ü Doğu Bloku ülkelerinde, % 9.4 ü ise geri kalmış ve gelişmekte olan ülkelerde tüketilmektedir. Görüldüğü gibi dünya nüfusunun ancak % 17.1 ini oluşturan gelişmiş ülkeler yıllık enerji üretiminin % 60.2 sini tüketmektedirler(2).

Bütün dünyada enerji ihtiyacını karşılamada bilinen konvensiyonel kaynakların kısıtlı olması nedeniyle yakın bir gelecekte tükennmeye başlayacağıının anlaşılmasıından ve 1973 petrol krizinden sonra, başta gelişmiş ülkeler olmak üzere dünya ülkeleri enerji kaynaklarını en iyi şekilde değerlendirmek ve korumak için gerekli önlemleri almaya başlamışlardır. bunun yanı sıra petrole alternatif olacak bol, ucuz ve güvenilir enerji kaynaklarının araştırılmasında hız kazanmıştır.

Bütün bunların sonucunda, petrolden uzak ve yeni enerji kaynaklarına dönük bir enerji politikasının gerekliliği olduğu anlaşılmıştır. Mevcut enerji kaynakları içinde sadece nükleer enerji bu yüzyılın sonuna doğru gittikçe artan dünya nüfusu ve sanayileşmeye paralel olarak artan enerji açığını kapatabilecek durumdadır. Yapılan tahminlere göre, 2030 yılında genel enerji tüketiminin % 50 si kömür ve petrol, % 22.7 si nükleer enerji, geri kalanının ise diğer enerji kaynaklarından karşılaşması beklenmektedir.

Fosil yakıtlara dayanan enerji kaynaklarına kıyasla, nükleer enerjinin avantajları çok yörüngedür. Elektrik üretiminde en emniyetli ve en temiz teknolojidir. İhtiyaç anında hazır olabilecek şekilde planlanabilir. Milli ekonomiye tamamen doğal bir şekilde girme özelliğine sahiptir. Enerji ithal eden ülkeler için ödeme dengesinde kolaylık sağlar. Nükleer enerji elektrik üretiminde gelişmiş, yerleşmiş ve güvenilir bir teknoloji durumundadır(3). Genel enerji üretimi içinde elektrik enerjisinin payının 2000 yılında % 46 ya ulaşacağı ve elektrik enerjisinin en az % 50 sinin nükleer enerjiden sağlanacağı tahmin edildiğinden, nükleer enerjinin dünya enerji üretimine olan katkısının hayatı bir önem taşıdığı ortaya çıkmaktadır.

Hızla sanayileşen ve nüfus artışı yıldaortalama % 2.5 olan ülkemizde buna paralel olarak enerji talebinin de orantılı olarak artacağı bilinmektedir. Dolayısıyla şu anda enerji sıkıntısı içinde olan ülkemiz 2000 yılında iyimser bir tahminle 3000 MW gibi bir enerji açığıyla karşı karşıya kalacaktır(4). Bu enerji açığının kapatılmasında fosil yakıtların, hidrolik enerjinin ve jeotermal enerjinin yanı sıra güneş enerjisi, rüzgar gücü ve bioenerji gibi önemli rol oynayabilecek alternatif enerji kaynakları ile kapatılması mümkün görülmektedir.

Enerji açığını kapatmak ve petrole olan bağımlılığı azaltmak için ülkemizde 1965 yılından beri nükleer enerjiden faydalananması ön görülmekte ve bu konuda çalışmalar yapılmaktadır. Yapılan tahminlere

göre Türkiye de 2000 yılında 190 milyar kwh / yıl' a varan bir enerji üretimi gerçekleştirilecek ve elektrik enerjisi üretimindeki nükleer enerjinin payı % 16.2 olacaktır.

Enerji dar boğazında bulunan dünyada ve kalkınmakta olan ülkemizde en önemli sorunlardan biri bol, ucuz ve emniyetli elektrik enerjisi teminidir. Bir taraftan konvansiyonel enerji kaynaklarının zamanla ve hızla tükenmesi sonunda meydana gelecek ihtiyaç, diğer taraftan da nükleer enerji maliyetini düşüren teknolojik ilerlemelerin mümkün kıldığı ekonomik durum, nükleer enerjiyi cazip duruma getirmektedir.

Nükleer enerjide bu güne kadar uranyum yakıtlı termal reaktörler esas rolü oynamakta idi. Fakat gittikçe artan enerji ihtiyacına karşılık dünya uranyum rezervinin bir zaman sonra azalıp tükeneceği incelemeler sonunda ortaya çıkmıştır(5). Bu bakımdan yeni enerji kaynağı olabilecek hammaddelere ihtiyaç duyulmuştur. Nükleer enerji üretiminde kullanılabilecek yeni hammadde kaynağı toryumdur. Tabiatta uranyumdan 3-4 defa daha fazla bulunur. Doğada yalnızca Th²³² izotopu olarak bulunan bu element reaktörlerde nötron yutarak fisil U²³³ haline dönüşür. Halen toryumu hammadde olarak kullanan ve toryumla bir çevirim içinde çalışan reaktör tipleri üzerinde çalışmalar sürmektedir.

Nükleer enerjide geleceğin ümit ışığı gibi görünen toryumu içeren önemli yataklardan biri de ülkemizde Eskişehir - Beylikahır yöresinde bulunmaktadır. Toryum tenörünün düşük olması yanında rezervinin büyüklüğü ve içeriği diğer önemli mineraller açısından da değer taşıyan bu cevher yatağı uygun yöntemlerle değerlendirildiğinde ülkemiz için önemli nükleer olanaklar yaratılabilecek güçte görülmektedir.

Eskişehir - Beylikahır toryum cevherleri üzerinde bu çalışmadan daha önce 1974 yılında ön zenginleştirme çalışmaları ve daha sonrasında çözündürme denemeleri yapılmıştır. Ön zenginleştirme çalışmalarının (kırama, eleme, sarsıntılı masada ayırma, manyetik ayırma) sonunda % 32.9

ve % 12.2 lik verimlerle önkonsantrat edile edilmişdir (% 10 konsantrasyon). Çözündürme denemelerinde ise kullanılan 1500 kg/ton sulfürik asit ile % 38.2 lik bir toryum çözünme verimi elde edilmiştir. Bu verim 3 kademeli çözündürme ile (3 defa daha fazla asit harcayarak) % 61 e yükseltilmiştir. Ayrıca kullanılan 1400 kg / ton nitrik asit ile % 44 lük bir toryum çözünme verimi elde edilmiş, bu verim 3 kademeli çözündürme ile % 58 e yükseltilmiştir (% 10 konsantrasyon). Bu denemelerin sonucunda toryumda 30.25% toryum elde edilmiştir.

Bu araştırmada ise Eskişehir - Beylikahır toryum cevheri içerisinde bulunan toryumu uygun fiziksel yöntemlerle zenginleştirerek toryuma zengin bir önkonsantrat elde edilmiş ve bu önkonsantrat asitle çözündürme işlemine tabi tutularak toryum çözeltisiye alınmıştır. Amacımız Türkiye Toryum cevherlerinden toryumu kazanma çalışmalarına ışık tutmaktır.

Bu çalışma 3 ana bölümden oluşmaktadır. Birinci bölümde toryumun özellikleri, cevher yatakları ve değerlendirilmesi hakkında yapılan literatür araştırması sonunda elde edilen genel bilgiler verilmiştir. İkinci bölümde ise Eskişehir - Beylikahır cevherini değerlendirmeye çalışmaları adı altında toryum cevherini tanıma, önzenginleştirme ve asitle çözündürme deneyleri yer almaktadır. Üçüncü bölüm, deneyler sonunda varılan sonuçları içermektedir.

Eskişehir - Beylikahır cevherinin öznitelikleri - Tüketiciye sunulan toryumun öznitelikleri - İkinci bölümde toryumun özellikleri, cevher yatakları ve değerlendirilmesi hakkında yapılan literatür araştırması sonunda elde edilen genel bilgiler verilmiştir. İkinci bölümde ise Eskişehir - Beylikahır cevherini değerlendirmeye çalışmaları adı altında toryum cevherini tanıma, önzenginleştirme ve asitle çözündürme deneyleri yer almaktadır. Üçüncü bölüm, deneyler sonunda varılan sonuçları içermektedir.

Eskişehir - Beylikahır cevherinin öznitelikleri - Tüketiciye sunulan toryumun öznitelikleri - İkinci bölümde toryumun özellikleri, cevher yatakları ve değerlendirilmesi hakkında yapılan literatür araştırması sonunda elde edilen genel bilgiler verilmiştir. İkinci bölümde ise Eskişehir - Beylikahır cevherini değerlendirmeye çalışmaları adı altında toryum cevherini tanıma, önzenginleştirme ve asitle çözündürme deneyleri yer almaktadır.

I. GENEL BİLGİLER

I.I TORYUM

Toryum, 1828 yılında İsveçli Kimyaci " Berzelius " tarafından Norveç'te Brevig yakınındaki Lövön adasında bulunan şimdiki " Thorite " denilen mineralin analizi esnasında keşfedilmiştir. Toryum ismi İskandinav mitolojisindeki savaş tanrısi " Thor " a izafeten verilmiştir. Berzelius 1829 yılında ilk defa toryum metalini, toryum tetra klorürü Sodyum ve Potasyum ile metalo-termik olarak indirgemek suretiyle elde etmiştir. 1860-1870 yıllarında Mendeleev, toryumun özelliklerini inceleyerek, bu elementi kendi tablosunda, tabiatta genellikle beraber bulunduğu nadir toprak elementleriyle aynı guruba (Cerite metals) koymusmuştur. Bu gün ise toryum periyodik sisteme Aktinitler gurubundadır. Nadir topraklar ise Lantanitler gurubunu oluştururlar (8,9).

1.1.1 Özellikleri

Fiziksel Özellikleri: Gümüş beyazlığında ve gümüş sertliğinde bir metal olan Toryumun fiziksel özellikleri ÇİZELGE: 1.1 de gösterilmiştir (9,10, 11, 12, 13).

Kimyasal Özellikleri: Toryum, uranyuma nazaran korozyona daha dayanıklıdır. Parlatılan bir toryum yüzeyi çok uzun süre parlaklığını muhafaza eder. Nemli atmosferde ve su içinde normal sıcaklıkta toryum korozyona dayanıklıdır. Sıvı metallere karşı Toryum alaşımlarının (Sodyum, Lityum ve eutetik potasyumlu alaşımları) korozyon dayanıklılığı hâli yüksektir.

ÇİZELGE: ll. Tiryumun Fiziksel Özellikleri

Atom numarası.....	90
Atom ağırlığı.....	232.12
Yoğunluğu (20°C)	
Teorik olarak.....	11.71 gr/cm ³
Döküm metal.....	11.55-11.63 gr/cm ³
Sinterlenmiş toz.....	11.5 - 11.6 gr/cm ³
Iodide metal.....	11.66 gr/cm ³
Erime noktası.....	1695 °C
Ergime ısısı.....	~4.6 kcal / mol
Kaynama noktası.....	>3000 °C
Buharlaşma ısısı.....	130-170 kcal / mol
Isınma ısısı	
27 °C.....	6.54 cal / mol-°C
99 °C.....	6.59 cal / mol-°C
199 °C.....	6.61 cal / mol-°C
Entropi (25°C).....	13.6 ± 0.8 cal / mol / °C
Kristal yapısı	
1400°C kadar.....	yüzey merkezli kübik (FCC) $a_0(25^\circ\text{C}) = 5.086 \pm 0.0005 \text{ \AA}$
1400 °C üstünde.....	hacim merkezli kübik (BCC) $a_0(1450^\circ\text{C}) = 4.11 \pm 0.01 \text{ \AA}$
Elektriksel direnci.....	
Metallo-termik metal.....	18 mikro ohm-cm
Tozdan sinterlenmiş metal....	13-14 mikro ohm-cm
İşı iletkenliği	
100 °C.....	0.09 cal/sn-cm-°C
650 °C.....	0.108 cal/sn-cm-°C
Süper iletken olduğu sıcaklık..	1.3-1.4 °K
Termal genleşme katsayısı	
25-200 °C.....	$11.0 \times 10^{-6} / ^\circ\text{C}$
25-1000 °C.....	$12.5 \times 10^{-6} / ^\circ\text{C}$
Renk.....	gümüş beyazlığındadır. Hava ile temas ederse gri olur.
Sertlik	
Az karbon içerenlerde.....	70-80 VPN (Vinkers piramit numarası)
İodite metalde.....	30-40 VPN
Tabii izotoplari.....	Th ²²⁷ , Th ²²⁸ , Th ²³⁰ , Th ²³² (~ 100%) Th ²³⁴ .

ÇİZELGE:1.2. Önemli Tiryum Kompleks İyonları

<u>Kompleks yapan madde</u>	<u>Reaksiyon</u>	<u>İyonik kuv.</u>	<u>Denge sabiti</u>
Cl^-	$\text{Th}^{+4} + \text{Cl}^- = \text{ThCl}^{+3}$	2.0	1.21
	$\text{Th}^{+4} + 2\text{Cl}^- = \text{ThCl}_2^{+2}$	2.0	0.1
	$\text{Th}^{+4} + 3\text{Cl}^- = \text{ThCl}_3^{+1}$	2.0	0.2
	$\text{Th}^{+4} + 4\text{Cl}^- = \text{ThCl}_4^0$	4.0	0.018
NO_3^-	$\text{Th}^{+4} + \text{NO}_3^- = \text{Th}(\text{NO}_3^-)^{+3}$	5.97	2.83
	$\text{Th}^{+4} + 2\text{NO}_3^- = \text{Th}(\text{NO}_3^-)^{+2}_2$	5.97	1.41
ClO_3^-	$\text{Th}^{+4} + \text{ClO}_3^- = \text{Th}(\text{ClO}_3^-)^3$	0.5	1.84
HSO_4^-	$\text{Th}^{+4} + \text{HSO}_4^- = \text{ThSO}_4^{+2} + \text{H}^+$	2.0	159
	$\text{Th}^{+4} + 2\text{HSO}_4^- = \text{Th}(\text{SO}_4^-)_2 + 2\text{H}^+$..	2.0	2850
	$\text{Th}^{+4} + 2\text{HSO}_4^- = \text{Th}(\text{HSO}_4^- \cdot \text{SO}_4^0)^+ + \text{H}^+$..	2.0	800
H_3PO_4	$\text{Th}^{+4} + \text{H}_3\text{PO}_4 = \text{Th}(\text{H}_3\text{PO}_4)^{+4}$	2.0	78
	$\text{Th}^{+4} + \text{H}_3\text{PO}_4 = \text{Th}(\text{H}_3\text{PO}_4)^{+3}_2 + \text{H}^+$..	2.0	150
	$\text{Th}^{+4} + 2\text{H}_3\text{PO}_4 = \text{Th}(\text{H}_2\text{PO}_4 \cdot \text{H}_3\text{PO}_4)^{+3} + \text{H}^+$..	2.0	1400
	$\text{Th}^{+4} + 2\text{H}_3\text{PO}_4 = \text{Th}(\text{H}_2\text{PO}_4)^2 + 2\text{H}^+$..	2.0	8000
HF	$\text{Th}^{+4} + \text{HF} = \text{ThF}^{+3} + \text{H}^+$	0.5	5.10^4
	$\text{Th}^{+4} + 2\text{HF} = \text{ThF}_2^{+2} + 2\text{H}^+$	0.5	$2.9 \cdot 10^7$
	$\text{Th}^{+4} + 3\text{HF} = \text{ThF}_3^+ + 3\text{H}^+$	0.5	$9.4 \cdot 10^8$

Sulandırılmış HF, HNO_3 , H_2SO_4 asitleri ve konsantrasyonlu H_3PO_4 veya HClO_3 asitleri tiryum metaline yavaş, yavaş etki ederler. Tiryum iyonu, anyonlarla, asitik veya nötr çözeltilerde kompleksler yapmaya yatkındır. ÇİZELGE:2. de önemli Tiryum Kompleks iyonları görülmektedir (11,14).

ÇİZELGE 1.3. Düşük Çözünürlük Gösteren Töryum Bileşikleri

<u>İYON</u>	<u>CÖKELME</u>	<u>SUDA ÇÖZÜNLÜĞÜ</u>	<u>DIĞER REAKTİFLERDEKİ ÇÖZÜNLÜK</u>
OH^- Th(OH)_4^-	Çözünmez	Asitlerde, Amonyum okzalatta, Alkali karbonatlarda, Sodyum sitratta çözünür.
F^- $\text{ThF}_4 \cdot 4\text{H}_2\text{O}$	Çözünmez	Asitli alüminyum nitrat eri- yiğinde çözünür.
$\text{KF} + \text{HF} \dots \text{KThF}_6$	Çözünmez	-
IO_3^- $\text{Th(IO}_3)_4^-$	Çözünmez	IO_3^- ü parçalayan reaktiflerde çözünür.
$\text{PO}_4^{=}$ $\left\{ \begin{array}{l} \text{Th}_3(\text{PO}_4)_4 \\ \text{Th}(\text{HPO}_4)_2 \cdot \text{H}_2\text{O} \\ \text{Th}(\text{HPO}_4)_2 \cdot \text{H}_2\text{PO}_4 \cdot 2\text{H}_2\text{O} \end{array} \right.$	Çözünmez	Kons. Asitte zorlukla çözünür.
$\text{H}_2\text{P}_2\text{O}_6^{=}$ $\text{ThP}_2\text{O}_6 \cdot 2\text{H}_2\text{O}$	Çözünmez	4N HCl de $1.65 \cdot 10^{-4}$ mol/lt.
$\text{SO}_3^{=}$ $\text{Th}(\text{SO}_3)_2 \cdot \text{H}_2\text{O}$	-	Sülfitte kısmen çözünür.
$\text{Cr}_2\text{O}_7^{=}$ $\left\{ \begin{array}{l} \text{Th}(\text{CrO}_4)_2 \cdot 3\text{H}_2\text{O} \\ \text{Th}(\text{OH})_2 \cdot \text{CrO}_4 \cdot \text{H}_2\text{O} \end{array} \right.$	Çözünmez	Kons. Asitte çözünür.

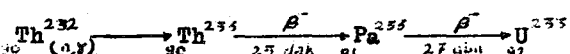
Töryum; fluorür, iyodür, fosfat vb iyonlarla asitlerde çözülmeyen veya çok az çözünen bileşikler yapar. Bu bileşikler, töryumun diğer maddelerden ayrılmasında ve analizinde kolaylık sağlarlar. Düşük çözünürlük gösteren töryum bileşikleri ÇİZELGE 1.3. de görülmektedir (11).

Töryum metali 100°C da bile sudan etkilenmez. Oda sıcaklığında dengeliidir. Töryum metali toz halinde iken kolaylıkla yanarak ThO_2 e dönüşür. Töryum metali, uranyum, demir, nikel, altın, gümüş, platin, bakır, wolfram, molibden, çinko, magnezyum, sodyum, kurşun, berilyum, silikon, krom, bizmut, sezyum, zirkonyum ve kobalt ile önemli alaşımalar oluşturur.

Kullanıldığı Yerler: Tiryumun nükleer olmayan ve nükleer olmak üzere iki önemli kullanım alanı vardır. Nüklüler kullanım alanını ileride açıklayacağız. Tiryumun endüstride yaygın bir kullanım alanı olmamasına karşın sınırlı kullanım alanlarında yerini alacak bir başka metal de bulunmamaktadır.

Lüks lambalarının gömleklerinin yapımı, tiryumun en önemli kullanım alanlarından biridir. Belirli özelliklere sahip tiryum nitrat çözeltisi, pamuk veya sun'i ipek elyafından yapılmış gömleklerde emdirilir. Bu gömlek gaz alevi ile aydınlatıldığında parlak ışık yayar. Son zamanlarda metalurji, kimya ve seramik endüstrilerinde tiryum alaşımları (özellikle magnezyum ve nikel alaşımları) kullanılmaktadır. Tiryum oksit yüksek erime noktasına ve dengeli bir yapıya sahip olduğundan özel eritme işlemlerinde pota malzemesi olarak kullanılır. % 0.8-1.2 Th içeren tungsten alaşımları elektrik ampullerinde kullanılarak verim ve ömür artışı sağlanmıştır(15). Tiryum kaynak malzemesi olarak, vakum aletlerinde eser gazların temizlenmesinde " Getter" olarak ve saf tiryum, optik cam yapımında kullanılır. Tiryum, amonyağın nitrik asite, karbonmonoksitin su gazına, SO_2 nin de SO_3 e dönüştürülmesinde katalizör olarak kullanılır. 2000 Yılında üretileceği hesaplanan ThO_2 in, 450-620 tonunun nükleer olmayan alanda 700-6500 tonunun ise reaktörlerde kullanılacağı tahmin edilmektedir(16).

Nükleer Özellikleri: Tabiatta bulunan Th^{232} fisil(bölünebilir) bir element değildir. Ancak termal nötronlarla işinlandığında nükleer değişimeler sonucu uzun ömürüli fisil bir izotop olan U^{233} e dönüşür.



Bu reaksiyondan anlaşılabileceği üzere, Tiryum ikinci bir nükleer yakıt kaynağıdır. Nükleer yakıt olarak tiryumun mahsuru, fision reaksiyonunun tamamlanabilmesi için zenginleştirilmiş fisil madde(U^{235} veya Pu^{239})

ilavesine ihtiyaç göstermesidir. Fakat fiziksel özellikleri gözönüne alınırsa, metalik nükleer yakıt olarak uranyuma tercih edilir. Zira termal iletkenliği daha fazla, termal genleşme katsayısı ise daha düşüktür. Bu iki faktör, yakıt elemanında olusacak termal (ısıl) gerilimleri azaltır. Uranyuma nazaran asıl üstünlüğü ise izotropik kübik kristal yapıya sahip olmasıdır. Bundan dolayı ışınlama ve termal çevirim altında fazla şekil değişikliğine uğramaz. Uranyuma nazaran mahsurları ise, yüksek erime noktası(1695°C) dolavisiyla metalik erime ve dökümünün güçlüğündür. Th^{232} , ŞEKLİ:L1 de görüldüğü gibi tabii bozunmaya uğrayarak zamanla, kararlı bir izotop olan Pb^{208} e dönüşür(9).

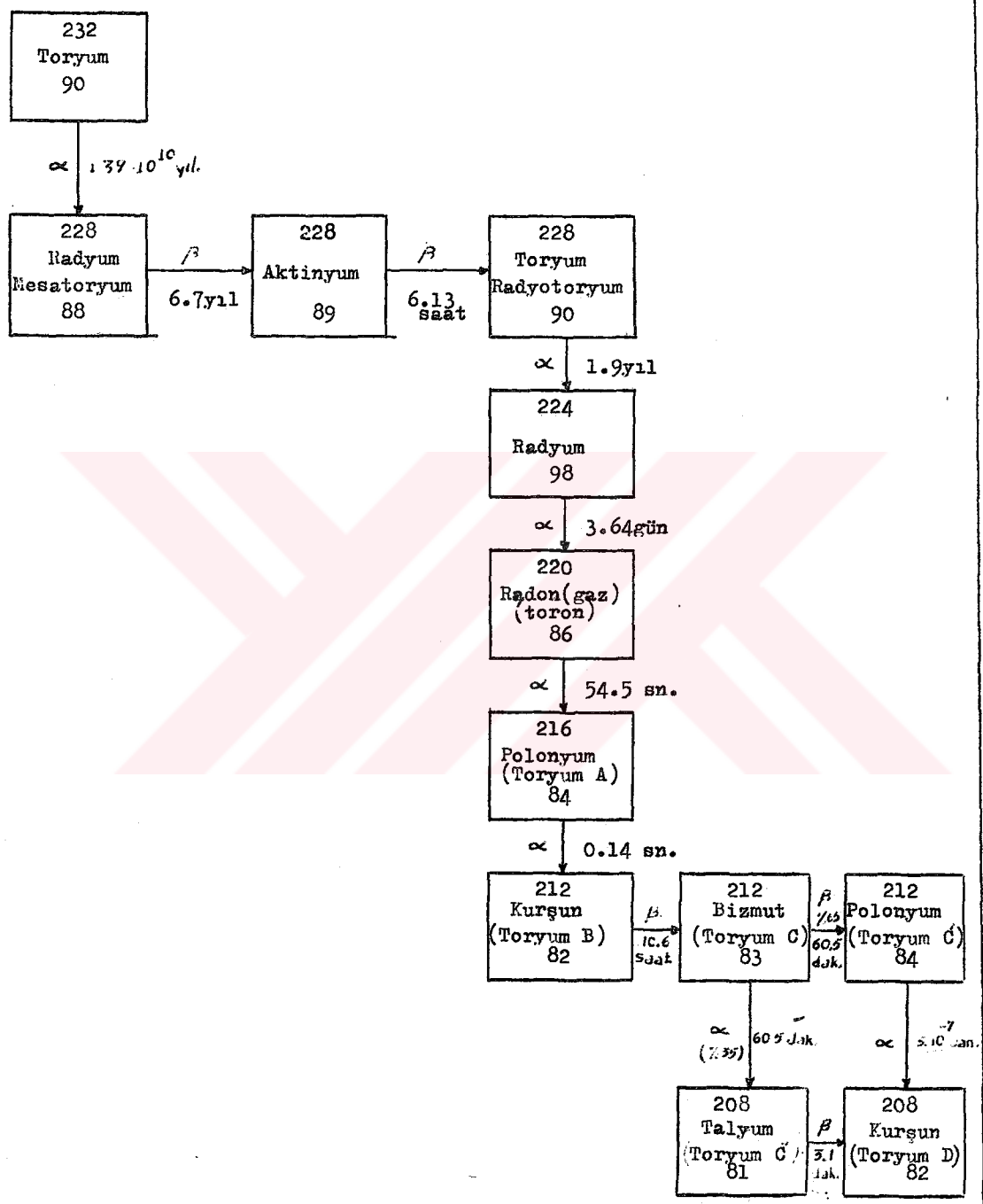
Toryumun reaktörlerde kullanılması, ancak zenginleştirilmiş fisil malzeme ilavesiyle mümkün değildir. Fisil malzemenin gönderdiği bir termal nötronla başlayan zincirleme reaksiyon U^{233} olusumuna sebep olur. U^{233} ise fisyona uğrayarak, fisyon ürünlerini ve enerjisini aşağı çıkarabilen bir izoptoptur. 1 Kg, U^{233} ün fisyona uğrayarak çıkardığı enerji, Keban barajının tam bir gün boyunca vereceği enerjiye eşittir(17).

Hızlı üretken reaktörlerde(FBR) yakıt olarak toryum kullanılrsa, yanın her 1 Kg. U^{235} veya Pu^{239} yerine 1.5 Kg. U^{233} veya Pu^{239} olde etmek mümkündür. Üstelik U^{233} için nötron verimi(harcanan her bir nötrona karşılık meydana getirdiği nötron sayısı) U^{235} ve Pu^{239} a göre daha yüksektir.(ÇİZELGE:L4)(18).

ÇİZELGE:L4. Nötron Verimi Karşılaştırması

U^{233}	U^{235}	Pu^{239}
2.284	2.072	2.109

Sıcaklık, U^{233} ün nötron veriminde fazla bir değişiklik yapmadığından termal reaktörlerde kullanılan U^{233} , yüksek yakıt dönüşüm oranı ve uzun yakıt ömrü sağlamaktadır.



ŞEKİL: 1.1 Th^{232} nin Tabii Bozunması

Toryum yakıtı kullanılan reaktörlerden elde edilecek olan elektrik enerjisinin, birim maliyetinin, uranyum yakıtlı reaktörlerden elde edilen enerjiye nazaran daha ucuz olacağı tahmin edilmektedir.

Reaktörlerde Toryumu Nükleer yakıt olarak kullanmak için, Toryum cevherlerinin işlenmesi, saf toryum bileşikleri elde edilmesi, bu bileşiklerden nükleer yakıt imali, reaktörlerde bu yakıtın yanması, yanmış yakıtın depolanması, yeniden kazanılması (reprosesi) ve artıkların depolanması gibi yapılan bütün bu işlemler "Toryum Yakıt Çevrimi" olarak adlandırılır. ŞEKL12 de bu çevrimin ana hatları gösterilmiştir(19).

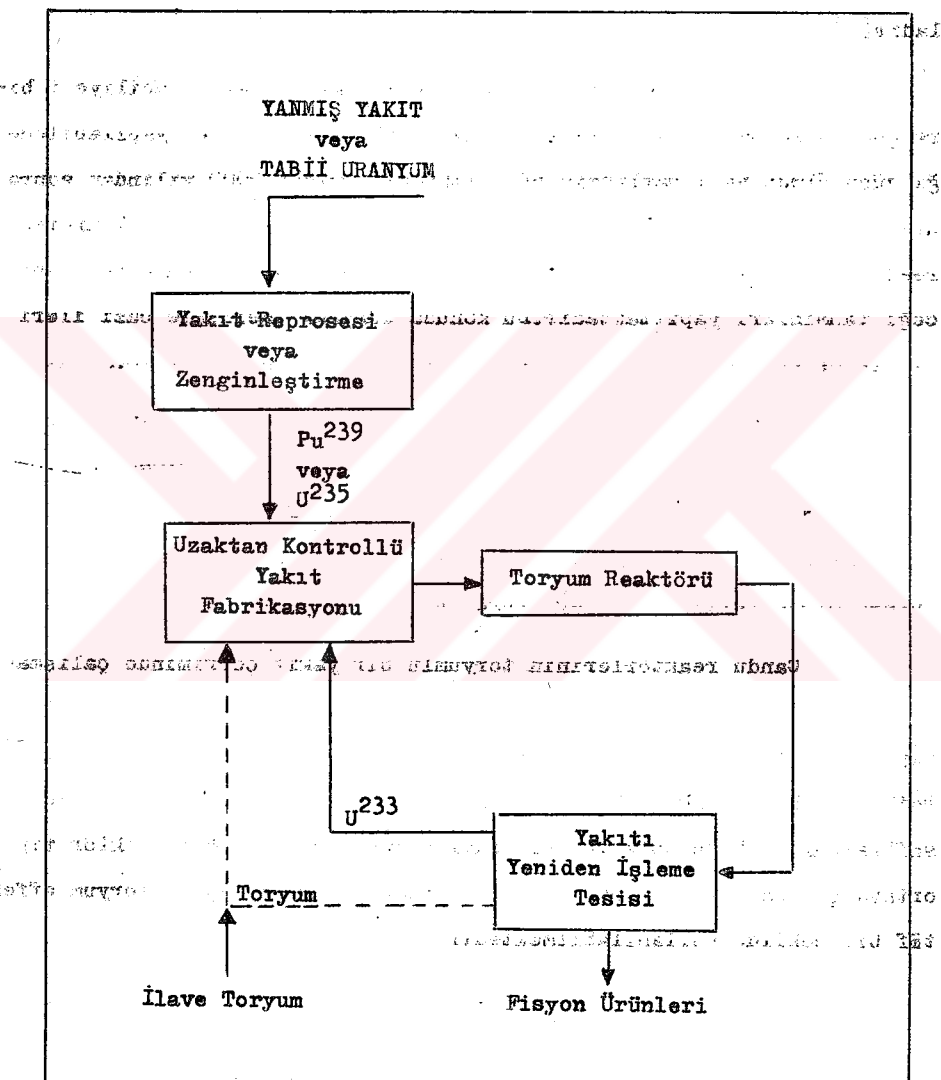
1.1.2 Toryum ve Nükleer Enerji:

Dünya enerji ihtiyacı nüfus artışına paralel olarak artmaya devam etmektedir. Bilinen fosil ve hidrolik enerji kaynaklarının sınırlı olması başka alternatif enerji kaynaklarının aranmasında en önemli etken olmaktadır. Bu alternatif kaynakların içinde en fazla potansiyeli hizmet olsanız ise nükleer enerjidir.

Bu güne kadar nükleer enerjide uranyum yakıtlı termal reaktörler esas rolü oynamakta idi. Fakat gittikçe artan enerji ihtiyacına karşılık dünya uranyum rezervinin bir zaman sonra azalıp biteceği anıltızlar neticesinde ortaya çıkmıştır(5). Bu bakımdan yeni enerji kaynağı olabilecek hammaddelere dönülmesi gerekmektedir. Ayrıca mevcut uranyum kaynaklarından faydalananmayı artıracak tipte reaktörler geliştirmek bir çözüm yolu olarak görülmüş fakat geliştirilen hızlı üretken Reaktörler(FBR)de maliyetin çok yüksek olması ve plutonyum üretiminin silahsızlanmaya aykırı durumu dolayısıyla beklenileni veremeyeceği ortaya çıkmıştır.

Enerji kaynağı olarak kullanılabilen yeni hammadde kaynağı ise tabiatta uranyumdan 3 defa daha fazla bulunan Toryumdur. Toryum, Termal spektrumlu reaktörlerde, nötron yutarak fisil U^{233} haline dönüşür. Bu fisil U^{233} de, U^{235} den çok daha fazla avantajlı olmaktadır. Bu avantajların başında, fision başına ortaya çıkan nötronların sayısı gelmektedir.

-et sifvarysios irbalet ab reabilitacijos muzikos terapijos programos dalyvavimais.
-at sifvarysios irbalet ab reabilitacijos muzikos terapijos programos dalyvavimais.
-at sifvarysios irbalet ab reabilitacijos muzikos terapijos programos dalyvavimais.



SEKİL 2. Töryum Yakıt Çevrimi

Bu fazlalık nötronlar U^{235} in vereceğiinden de fazladır. Dolayısıyla yeni fisil malzemenin oluşması için lüzumlu daha fazla sayıda nötrona sahip olmaktadır. Bir başka deyişle U^{233} ün üretme kabiliyeti daha fazladır(18).

Bu fikirlerden hareketle toryum esaslı, üretme kabiliyeti birer çok yakın, hatta biraz fazla, termal üretici reaktörler yapılabileceği düşünülmüş ve ispatlanmış bulunmaktadır. Öyleki 2000 yıldan sonra hızlı üretken reaktörlerin (FBR) sayısından daha fazla termal üretici reaktörler kullanılarak, dünya enerji sorununun büyük ölçüde çözülebileceği tahminleri yapılmaktadır. Bu konuda dünyada özellikle bazı ülkelerde nükleer senaryolar düşünülmekte ve hesaplar yapılmaktadır.

Halen toryumu hamadden olarak kullanan ve toryumla bir gevirim içinde çalışan reaktör tipleri üzerinde çalışmalar sürdürmektedir. Örneğin; Kanada'da " CANDU " reaktörleri, A.B.D. de toryum tuzlarının yakıt olarak kullanıldığı " Ergimis Tuzlu Üretken Reaktör "(MSBR) ve " Yüksek Sıcaklıklı Reaktörler "(HTR) bu tipler arasında belirtilebilir(20).

Candu reaktörlerinin toryumlu bir yakıt gevriminde çalışmasının etüdleri yapılmakta olup, bunların büyük bir dizayn değişikliği yapılmadan toryumla çalışabileceği gösterilmiştir(21). Ergimis Tuzlu Üretken Reaktör(MSBR), halen çeşitli teknolojik problemlerin çözülmesi safhasındadır. Bu problemler halledildiğinde effektif bir reaktör tipi ortaya çıkacaktır. Yüksek sıcaklıklı reaktörlerde(HTR) de toryum effektif bir şekilde kullanılabilmektedir.

1.2 TORYUM YATAKLARI

Toryumun değişik mineralojik bileşikler halinde yerkabuğunda yaygın olarak bulunduğu bilinmektedir. Uranyumdan 3-4 defa daha fazla (10 gr/ton) bulunur. Asit karakterli granitik kayaçlarda, bazik kayaçlara nazaran daha boldur. Genellikle, asit derinlik kayaçlarının pegmatitlerinde, pnömatojen ve hidrotermal oluşumlarda konsantr olmuştur.

1.2.1 Toryum Yataklarının Sınıflandırılması

Radyoaktif mineral yatakları, mineralojik bilesimlerine, oluşumlarina, bulundukları jeolojik ortama göre çeşitli şekillerde sınıflandırılmışlardır(22).

1950 yılında Bain

1954 yılında Everhart (kökenine ve içinde bulunduğu yan kayaca göre)

1955 yılında Raubault (olusum, petrografik ve mineralojik özelliklerine göre), 1958 yılında Heinrich,

1970 yılında Bowie ve Finch (yapısal karakterlerine göre)

1974 yılında Ziegler (içinde bulunduğu yapısal ortam, içeriği mineraller ve yapılarına göre metalotektonik bir sınıflama).

Yukarıdaki sınıflandırmalardan en basiti olan Heinrich sınıflandırmasına göre: Toryum yatakları:

1- Radyoaktif Pegmatitler: Granit ve siyenitlere bağlı pegmatitlerdir.

Örnek, Kanada daki Bancroft ve Central Lake yatakları.

2- Karbonatit ve Karbonatitlerle ilgili yataklar: Yeryüzünde pek yaygın değildir. Önemli mineral piroklor dur. Örnek, İsveç, Norveç, Kenya ve Kanada da bazı zuhurlar vardır.

3- Pirometazomatik Yataklar: Bu tip yataklar yeryüzünde nadirdir. Önemli mineral Torianittir. Allanit'te yaygın olarak bulunur. Örnek, Güney Madakaskardaki Mandrare ve Avustralya daki Mary Kathleen yatağı.

4- Hidrotermal Yataklar: Hidrotermal kökenli yataklar genellikle damarlar halindedirler. Bu yataklar oluşum sıcaklıklarına göre 3 e ayrılır.

a) Hipotermal ($300^{\circ}\text{C} - 400^{\circ}\text{C}$) Yataklar: Önemli mineraller Davidit ve Brannerit'tir. Kuvars en yaygın gang mineralidir. Örnek, Radium Hill (Güney Avustralya), Chateau Lambert yatağı (Fransa).

b) Mezotermal ($200^{\circ}\text{C} - 300^{\circ}\text{C}$) yataklar: Dünyada en yaygın yatak tipidir. Örnek, Shinkolobwe (Kongo), Steen Kampskraal (Güney Afrika Birliği) ve Eskişehir-Beylikahır (Türkiye).

c) Epitermal ($50^{\circ}\text{C} - 200^{\circ}\text{C}$) Yataklar: Oldukça yaygın bir yatak tipidir. Önemli mineraller Torit ve Torogummmit'tir. Feldispat, kuvars, siderit, barit, hematit karakteristik mineralleridir. Örnek, Wet Mountains yatağı (ABD).

5- Sedimanter Kayaçlardaki Tiryum Yatakları: Tiryum tuzlarının ve bilesiklerinin suda erime özelliğinin çok az veya hiç olmaması dolayısıyla gökelme oluşumuna sahip tiryum yatakları yoktur. Ancak taşınma ve aşınmaya dayanıklı tiryum mineralleri (özellikle Monazit) plaser tiryum yataklarını oluştururlar.

a) Plaser Tiryum Yatakları: En önemli minerali Monazit'tir. Uranotorit, torogummmit ve zirkon da vardır. Ayrıca İlmenit, Kasiterit, Rutil, Manyetit, Wolframit, Hematit ve Platin plaser tiryum yataklarında en çok rastlanan minerallerdir.

Dünyadaki Önemli Tiryum Plaserleri:

- Travancore plaseri (Hindistan): % 3 Monazit tenörlüdü. 1 milyon ton monazit rezervine sahiptir.

- Seylan plaserleri (Seylan): % 2-14 monazit tenörlüdü. Ancak bu tenör yer yer % 22 hatta % 47 ye kadar yükselir.

- Florida, Idaho ve Kaliforniya (ABD) da önemli tiryum plaser yatakları vardır.

Brezilya plaser yatakları (Brezilya): Egemen mineral monazittir. Tenör % 6 ThO_2 dir.

Dünya tiryum rezervleri ve dağılımı ÇİZELGE 15 de gösterilmiştir. (Tiryum kaynakları 2 fiyat sınıfında, 75 ABD dolarının altında ve üzerinde

olmak üzere verilmiştir)(23).

ÇİZELGE 15 Dünya Tiryum Rezervleri (1000 ton)

	Görünür Rezervler		Muhtemel Rezervler	
	<75 \$ / Kg	>75 \$ / Kg	< 75 \$ / Kg	>75 \$ / kg
Australya	21	0	0	0
Brezilya	68	0	1.200	0
Kanada	0	0	293	0
Danimarka	0	54	0	32
Mısır	15	0	280	0
Finlandiya	0	0	60	0
Hindistan	319	0	0	0
İran	0	0	30	0
Liberya	1	0	0	0
Norveç	132	0	132	0
Güney Afrika	11	0	0	0
Türkiye	0	330	0	440
A.B.D.	108	14	261	17
T O P L A M	675	398	2.256	489

1.2.2 Tiryum Yataklarındaki Önemli Tiryum Mineralleri

Tabiatta çok değişik mineralojik yapılarında bulunan tiryumun her minerali ekonomik değere haiz değildir. ~~Önemli~~ Önemli tiryumlu mineralleri, Monazit, Torit, ve Torianit tir(22,24,25).

Monazit: $(Ce, La, Y, Th) PO_4$ Dünyada tiryum üretiben en önemli kaynak monazittir. Gerçekte Seryum, Lantan fosfattır. Tiryum ve İtriyum

yer değiştirmeye yoluyla bu mineralin yapısına girerler.Toryum oranı %3-5 den % 10 ThO₂ kadar çıkabilir.En zengin toryum içeren monazit % 28.2 ThO₂ ile Seylan da,hiç toryum içermeyen monazit ise Bolivya da bulunmaktadır.Yapılan birçok analizde Monazit içinde aliminyum,kalsiyum,magnezyum,titan ve zirkonyumda bulunmuştur.Monazit genellikle ilmenit,rutil,zirkon,uranitit,torit,fergusonit,smarkit manyetit,apatit gibi ağır ve değerli minerallerle birlikte bulunur.Böylece oluşturdukları yatakların ekonomik değeri artmış olur.Monoklinik kristal sisteme sahip olan monazit kahverengi,sarı,bal rengi ve yeşil renkte olabilir.Sertliği:5-5.5, özgül ağırlığı: 4.6-5.3 ve kırılma indisi:1,786-1.837 arasında değişir.Kırılınca radyoaktif bir mineral olan monazit zayıf manyetik özellik gösterir.Eğer önemli monazit plaserleri Hindistan,Seylan,Brezilya,ABD ve Avustralya dır.

Torit: ThSiO₄, Toryum bakımından ikinci önemli mineraldir.Bu mineral içerisindeki toryum oksit miktarı % 77 ye kadar çıkabilemektedir.Ayrıca bünyesinde uranyum,demir ve nadir toprak elementleride bulunur.Az miktarda kalsiyum,magnezyum,fosfor,tantalyum,titanyum,zirkonyum ve aliminyuma rastlanır.Eğer içerdiği uranyum miktarı % 5-20 arasında ise "Uranotorit" demir miktarı %14 Fe₂O₃ den fazla olursa " Ferrittorit" adını alır.Torit,tetragonal kristal sisteminde kristalleşir.Sertliği:4.5-5.5,Özgül ağırlığı:4-6.7 arasındadır.Rengi: Portakal sarısı,siyahdır.En çok damartipi yataklarda bulunur. ABD,Kanada,Madagaskarda önemli torit yatakları vardır.

Torianit: (Th,U) O₂, Toryum minerallerinin toryumca en zengin olanıdır.ThO₂ oranı % 94 ' e kadar, UO₂ oranı ise % 50 ye kadar yükselenbilir.Bu mineral nadir toprak elementleri,ve manganeze de rastlanır.Kübik sistemde kristalleşme gösteren torianit,6-7.5 sertliğinde, koyu gri,koyu kahverengi veya siyah renkli bir mineraldir.Özgül ağırlığı: 8.9-9.9 arasındadır.Madagaskar,Seylan,Amerika ve Kanada da torianit ya-

takları bulunmaktadır. Diğer Tiryum mineralleri ÇİZELGE 1.6 da gösterilmiştir (8,12,14,22,24,25,26,27).

ÇİZELGE 1.6 Tiryum Mineralleri

ISİM	KİNYASAL FORMÜL	% ThO ₂
Abukamalite	(Ca,Y,Th) ₅ (Si,P,AlO ₄) ₃ (O,F)	1
Allanite	(Ca,Ce,Th)(Al,Fe,Mg,Mn)(SiO ₄) ₃ (OH)	0-3
Alvite	Zirkona benzemektedir.	15
Ampangabeite	(Y,Er,U,Ca,Th) ₂ (Nb,Ta,Fe,Ti) ₇ O ₁₈	1-2
Aneylit	(Ce,La) ₄ (Sr,Ca) ₃ (CO ₃) ₇ (OH) ₄ ·3H ₂ O	0.1-0.3
Apatite	Ca ₅ (PO ₄) ₃ F ₂	1
Bastnaesite	(Ce,La) (CO ₃) F	1
Betafite	(U,Ca)(Nb,Ta,Ti) ₅ O ₉ nH ₂ O	0-1.5
Baddeleyite	ZrO ₂	0-5
Blomstrandine	Prioritin benzeridir.	
Brammerite	(U,Ca,Fe,Y,Th) ₃ (Ti,Si) ₅ O ₁₆	0-6
Bröggerite	Uraninitenin benzeridir.	14
Cappelenite	Ba(Y,Ce,La) ₆ B ₆ (SiO ₄) ₃ O ₁₂ (OH) ₂	1
Calciosamarskite	Ca ca zengin smarskite dir.	2-3
Caryocerite	(Ce,La,Th,Ca)(Si,B) ₃ (O,OH,F) ₃	14
Cerianite	(Ce,Th)O ₂	5
Chinglusite	(Na,K) ₄ (Mn,Ca)(Ti,Zr) ₅ Si ₄ O ₁₄ , 9H ₂ O	1
Chevkinite	(Fe,Ca)(Ce,La) ₂ (Si,Ti) ₂ O ₈	1-21
Cheralite	(Ca,Th) PO ₄	1-32
Cordylite	(Ce,La) ₂ Ba(CO ₃) ₃ F	1
Clarkeite	(Na,Ca,Pb) ₂ U ₂ (O,H ₂ O) ₇	3
Cyrtolite	Altıca olmuş zirkon içindedir Th var.	1

ÇİZELGE:1.6. (Devam)

İSİM	KİMYASAL FORMÜL	% ThO ₂
Davidite	(Fe,Ce,U)(Ti,Fe,V,Cr) ₃ (O,OH) ₇	1
Doverite	Y,Ca(CO ₃) ₂ F	1-3
Euxenite	(Y,Ce,La,U,Th)(Nb,Ta,Ti) ₂ O ₅	0-5
Eschynite	(Ce,Ca,Fe,Th)(Ti,Nb) ₂ O ₆	0-17
Fergusonite	(Y,Er,Ce,U,Th)(Nb,Ta,Ti)O ₄	0-5
Fersmite	(Ca,Ce,Na)(Nb,Ti,Fe,Al) ₂ (O,OH,F) ₆	1
Formanite	(Y,Er,U,Th)(Ta,Nb)O ₄	1
Fourmarierite	PbO·4UO ₃ ·5H ₂ O	az
Gummite	UO ₃ ·nH ₂ O (değişebilir)	az
Gadolinite	Be ₂ Fe Y ₂ Si ₂ O ₆	0-3
Hagatelite	Zirkona benzer (Nb,Ta,Th içerir)	1-5
Hollandite	Ca ₂ (Ce,Y,Fe,Mn,Al) ₆ Si ₄ O ₁₉	1-3
Hokutolite	Radyoaktif barit (Pb,Th,U,Ra içerir)	
Huttonite	Th(SiO ₄)	ideal olarak 81.5
Irinite	(Na,Ce,Th)(Ti,Nb)(O,OH) ₃	
Johnstrupite	Ce,Ca,Ti,Zr,Na silikattır.	1
Khlopinite	(Y,U,Th) ₃ (Nb,Ta,Ti,Fe) ₇ O ₂₀	1-4
Lovohorrite	Ce ₄ Ca ₁₀ Ti ₃ Si ₁₀ O ₃₉ F ₆	1
Lovozerite	(Na,K) ₂ (Mn,Ca) Zr Si ₆ O ₁₆ ·3H ₂ O	az
Lyndochite	Yüksek miktarda Ca,Th içeren Euxenitedir.	5
Melanocerite	(Ce,La,Y,Ca) ₅ (Si,B,P) ₃ (O,OH,F) ₁₃	1-3
Microlite	(Na,Ca) ₂ (Ta,Nb) ₂ O ₆ (O,OH,F)	1
Monazite	(Ce,La)PO ₄	28.2

ÇİZELGE:1.6. (Devam)

İSİM	KİMYASAL FORMÜL	% ThO ₂
Mosandrite	NaCa ₆ Ce ₂ (Ti,Zr) ₂ Si ₇ O ₂₅ (OH,F) ₇	1
Muromontite	Fazla Be içeren Allanit tır.	1
Naegite	U,Th içeren zirkon dur.	2.8
Nuolite		2-4
Orthite	Allanite benzer	0-3
Oyamalite	Th,fosfat,nadir toprak elementlerini içeren zirkondur.	1
Parisite	(Ce,La) ₂ Ca(CO ₃) ₃ F ₂	az
Perovskite	(Ca,Na,Ce)(Ti,Nb)O ₃	1
Perrierite	Allanite benzer.	4.6
Pilbarite	ThO ₂ .UO ₃ .PbO.2SiO ₂ .4H ₂ O	31
Pisekite	Nb,Ta,U,Th,Nadir Toprak Elementleri	
Pyrochlore	Na,Ca(Nb,Ta) ₂ O ₆ F	0-8
Polycrase	(Y,Ca,Ce,U,Th)(Ti,Nb,Ta) ₂ O ₃	1-5
Polymignyte	(Ca,Fe,Y,Zr)(Nb,Ti,Ta)O ₄	4
Priorite	(Y,Er,Ca,Fe,Th)(Ti,Nb) ₂ O ₆	0-8
Rinkite	(Na,Ca) ₁₂ (Ce,Ti) ₅ Si ₈ (O,F) ₃₆	1
Rinkolite	(Ca,Na) ₁₁ Ce ₂ (Si,Ti) ₁₀ O ₂₈ (F,OH) ₈	0-2
Samarskite	(Y,Er,Ce,U,Fe,Th)(Nb,Ta) ₂ O ₆	0-4
Sphene	Ca Ti Si O ₅	1
Steenstrupine	(Na,Ca,Ce,La,Th)(Mn,Fe,Ta)(Si,Be,P)(O,OH) ₂₋₇	
Stillwellite	(Ca,Ce)(Si,Al,P)B(O,OH,F) ₅	1
Synchisite	(Ce,La)Ca(CO ₃) ₂ F	1
Tanteuxenite	Ta ca zengin Euxenite dir.	1-3

ÇİZELGE:1.6. (Devam)

İSİM	KİMYASAL FORMÜL	% ThO ₂
Thalenitę	Y ₄ Si ₄ O ₁₃ (OH) ₂	1
Thorite	ThSiO ₄	49-75
Thorianite	(Th,U) O ₂	45-88
Thorogummite	Th(SiO ₄) _{1-x} ·(OH) _{4x}	18-50
Thucholite	U,Th,Nadir Toprak Element. içeren hidrokarbonlu yapı	
Tritomite	B,F,Ce,La,Ca,Th silikat	9
Tscheffkinite	Ce,La,Th,Fe,Ti,Ca silikat	0-20
Tengerite	Ca Y ₃ (CO ₃) ₄ (OH) ₃ 3H ₂ O	1
Uraninite	UO ₂ genellikle Ce,Y,Pb,Th içerir.	0-45
Uranophane	Ca(UO ₂) ₂ (SiO ₂) ₂ (OH) ₂ 5H ₂ O	2
Vandendriesscheite	PbO·7UO ₃ ·12H ₂ O	az
Vudyavrite	Alterasyona uğramış Lovchorrite	1
Wikite		0-3.7
Xenotime	YPO ₄	0.2.5
Yttrialite	(Y,Th) ₂ Si ₂ O ₇	12
Ytirocrasite	(Y,Th,U,Ca) ₂ (Ti,Fe,W) ₄ O ₁₁	9
Yttrotantalite	(Fe,Y,U,Ca)(Nb,Ta) O ₄	1
Zirkon	ZrSiO ₄	1-20
Zirkelite	(Ca,Ce,Fe,Th,U) ₂ (Ti,Zr) ₂ O ₅	20

1.2.3 Türkiye Tiryum Yatakları

Türkiye de bilinen tek tiryum yatağı Eskişehir-Beylikahır bölgesinde yer almaktadır. Ayrıca Malatya-Hekimhan ve Kayseri-Felahiye-Çukurda da tiryum emarelerinin varlığı bilinmektedir.

Eskişehir-Beylikahır Tiryum Yatağı:

Eskişehir İlinin ,Sivrihisar ilçesine bağlı olan Kızılcaören, Karkın ve Okçu köyleri arasında yer alan bu yatak, kısaca "Beylikahır Tiryum Yatağı" olarak bilinir. Yalnız tren istasyonuna 11km. mesafede bulunan bu yatak, Ankaranın 125 km. batısında,Eskişehir üzerinden Ankarayı Bursaya bağlayan kara yolunun təhminen 20 km. kuzeyinde bulunmaktadır(28).

Jeoloji: Yatağın bulunduğu bölgede,

-**Serpantinler:** En yaşlı formasyonlardır. Silisce zengin manyezit damarları içерirler.Uğradıkları tektoniğin etkisiyle silislesmiş ve orijinal yapılarını kaybetmişlerdir.

- **Kompleks seri:** Cevherli filon dolgularının yan taşlarını teşkil ederler.Paleozoik yaşılidırlar.

- **Breşik konglomeralar:** Sahanın orta kısmında görülürler.

- **Fonolit ve Trakitler:** Fonolitler,alkali karakterlerde porfirik yapıya sahiptirler. Trakitler ise, faylı kontakt zonunda görülürler.

- **Neojen serisi:** Sahanın kuzeyinde yer alırlar. Kalker çimentolu breşik konglomeralar,çakılı,kumlu ve killi formasyonlardan ibarettir.

- **Altıyonlar:** Vadileri dolduran kuvaterner yaşlı gökeltilerdir.

Yapı ve Mineralleşme: Bu yataktaki iki türlü cevherli kayaca rastlanır. a) Filon grupları b) Filon dolgusu yan taş içeren tektonik bresler. Bu yataktaki dört tip mineralleşme mevcuttur. 1) Mangan Oksitlerinin egemen olduğu mineralleşme, 2) Baritin egemen olduğu mineralleşme, 3) Fluoritin egemen olduğu mineralleşme, 4) Karbonatların egemen olduğu mineralleşme. Bu dört mineralleşmenin hepsinde de aynı mineraller

mevcuttur. Ancak yer yer miktar yönünden değişiklik gösterirler. Yataktı bağımsız bir toryum minerali yoktur. Toryum Bastneasit içinde yer almaktadır.

Oluşum: Gevher yatağının oluşumunun hidrotermal eriyikler ve granosiyenit masifleri ile ilgili olduğu ve mineral getiriminin tersi-yere rastladığı tahmin edilmektedir. Bu yataktaki mineralleşmenin mezo-termal safhada başlayıp, epitermal safhada devam ettiği sanılmaktadır(25). Eskişehir - Beylikahır Toryum yatağı dünyanın sayılı büyük yataklarından biri olarak görülmekte ve nadir toprak minerallerinin toplam potansiyeli yönünden de büyük önem taşımaktadır.

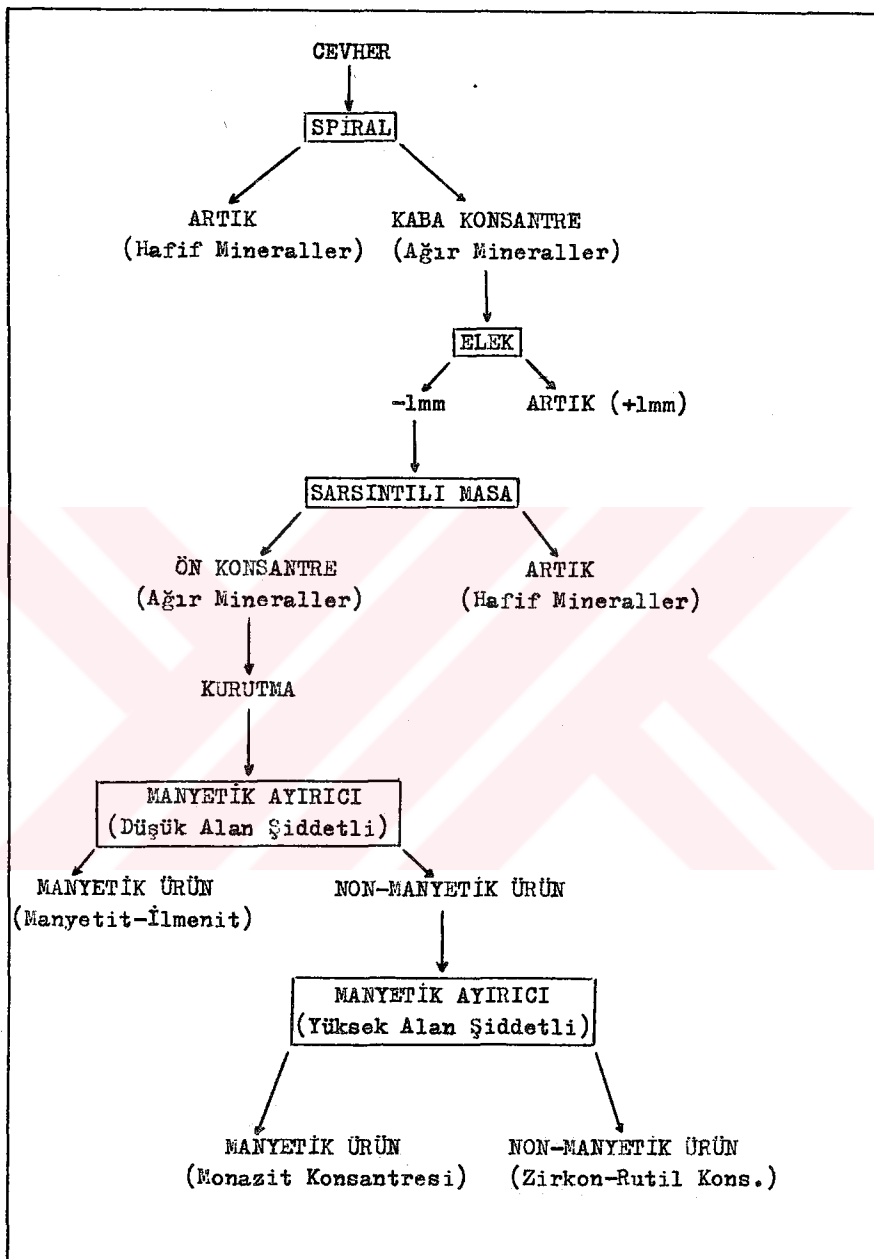
1.3 TORYUM CEVHERLERİNİN DEĞERLENDİRİLMESİ

Daha önce de belirtildiği gibi "Monazit" toryum üretimi yapilan en önemli mineraldir. Dünyada ekonomik değere ve büyük rezervlere sahip toryum yatakları yine monazitce zengin plaserlerdir. Bu plaserlerde genellikle monazit, ilmenit, rutil, zirkon gibi değerli mineraller birlikte bulunurlar ve birlikte elde edilirler. Monazitce zengin plaserlerden önemli olanların bazlarının kimyasal bileşimi ÇİZELGE:1.7 de gösterilmiştir(9,14)

ÇİZELGE:1.7. Monazitce Zengin Plaser Yataklardan Bazlarının Kimyasal Bileşimi

BİLEŞENLER	HİNDİSTAN	BREZİLYA	U.S.A
ThO_2	9.9	6.8	3.1
CeO_2	27.5	25.9	-
P_2O_5	29.5	25.5	19.3
Fe_3O_4	0.9	0.5	4.47
TiO_2	0.4	1.1	-
ZrO_2	1.76	4.7	-
MnO_2	0.01	0.01	-
U_3O_8	0.27	0.18	0.47
SiO_2	1.50	2.53	8.3

Monazitce zengin plaser yatakların işletilmesiyle, Monazit konsantresi elde edilirken yan ürün olarakta Zirkon, Rutil, Manyetit ve İlmenit gibi ağır minerallerin konsantreleride elde edilebilmektedir. (SEKİL:1.3) Plaser yataklardaki minerallerden önce hafif olanlar olukta



ŞEKİL:1.3. Monazit Konsantresinin Elde Ediliş Akım Şeması

veya spiralde ağır olanlardan ayrılmakta, elde edilen kaba konsantre (ağır mineraller) önce sarsıntılı tablaya beslenmektedir. Bir veya iki kademeli olarak yapılan sarsıntılı tabla ile ayırım sonunda yaklaşık % 60 Monazit içeren ağır mineraller ön konstresi elde edilebilmektedir(29,30,31,32,33,34,35). Bu ön konsantre kurutulur. Mineraller arasındaki manyetik özellik farklıdan faydalananlarak ayırım yapmak için önce düşük alan şiddetli, sonra yüksek alan şiddetli kuru manyetik ayırcılara beslenir. (Monazit zayıf, manyetit ve ilmenit kuvvetli manyetiktirler. Rutil ve zirkon pratik olarak manyetik değildir.) Böylece düşük alan şiddetli manyetik ayırcıdan kuvvetli manyetik özellik gösteren manyetit ve ilmenit konsantresi elde edilir. İlkinci kademe olan yüksek alan şiddetli manyetik ayırcıdan ise monazit konsantresi ve manyetik olmayan Zirkon-Rutil konsantresi elde edilebilir(14,33,36,37). Bu ayırım sonunda elde edilen "Monazit Konsantresi "%95-98 monazit içermektedir.

Cevher zenginleştirme yöntemleriyle elde edilen monazit konsantresinden hidrometalurjik yollarla toryumun kazanılması için iki yöntem uygulanır. a) Asitle çözündürme (asidik liç) b) Alkali çözündürme (Karbonat liç veya alkali liç)

Asitle Çözündürme:

Bu yöntemde monazit konsantresi, döküm demir kaplarda derişik sülfürik asit (H_2SO_4) ile muamele edilir. Ana reaksiyonlar şöyledir(38).



REE = Nadir Toprak Elementleri

Böylece toryum ve nadir toprak elementleri çözelti fazına geçerler.

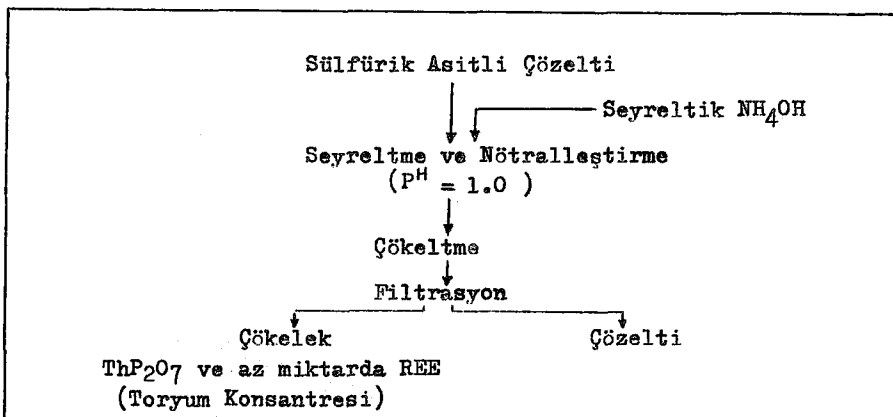
Cözündürme koşulları:

- Tane boyutu : 0.15 mm.- 0.1 mm.(bu boyuta öğütülür.)
- Asit : % 93 lük teknik H_2SO_4 kullanılır.
- Sıcaklık : 200 - 250 °C
- Süre : 2-4 saat
- Pülp yoğunluğu : % 20-35 katı.

Burada toryumun çözeltiye geçiş verimi % 90-95 arasında olmaktadır. Sulfürik asitli çözelti içinde bulunan toryum ve nadir toprak elementlerinin kazanılmasında dört yöntem uygulanmaktadır(13,38).

- 1) Çözeltideki hidrojen iyon konsantrasyonu düşürülerek ($P^H=1.0-1.2$) toryum fosfatı selektif olarak göktürme. ($P^H=2,3-4.5$ da lantanit fosfatları çöker.)(Şekil:1.4)
- 2) Lantanit sülfatlardan daha az çözünürlüğe sahip hidrate veya susuz toryum sülfat halinde göktürme.
- 3) Nadir Toprak elementlerini sülfat halinde,toryumu ise okzalat halinde göktürme.
- 4) Okzalik asit ile toryumu,okzalat-fosfat karışık kompleksi halinde göktürme.

Bunlardan 1. ve 3. yöntemler endüstride uygulanmaktadır.



ŞEKİL:1.4. Çözeltiden Toryumun Göktürülmesi

Alkali Çözündürme:

Bu yöntem 1896 dan beri ve 3 şekilde uygulanmaktadır.

- 1) Sodyum hidroksit ile ergitme. (sıcaklık: 400-500°C)
- 2) Soda ile ergitme. (sıcaklık: 800-825°C)
- 3) Sodyum hidroksit ile çözündürme. (sıcaklık: 140°C)

Her üç şekilde de toryum ve nadir toprak elementlerinin hidroksitleri ile suda çözünen sodyum tri fosfat elde edilir(9,38,39,40,41)(SEKİL 1.5)



Uygulamada en çok 3. yöntem kullanılmaktadır. Çünkü çok daha az ısı istemektedir.

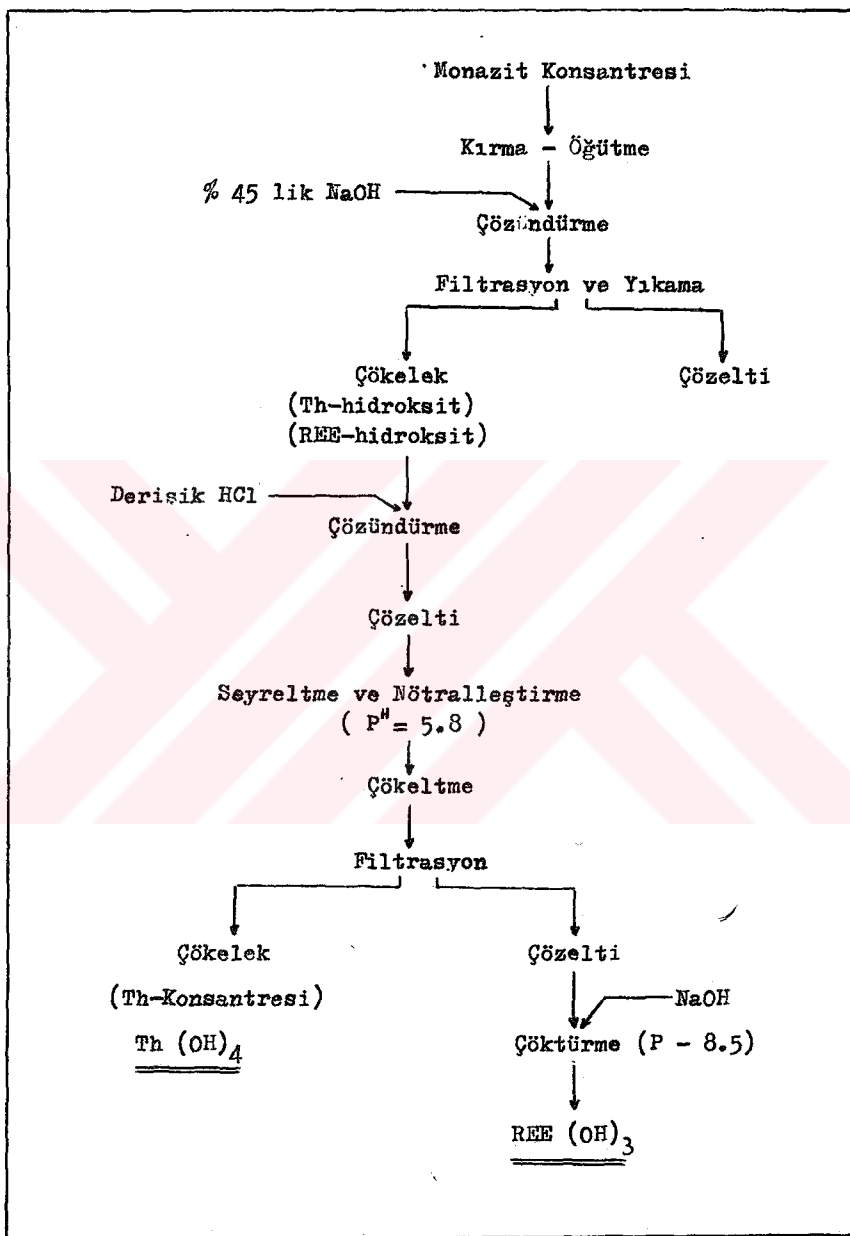
Alkali çözündürme koşulları:

- Tane boyutu : 0,048 mm (bu boyutta öğütülür.)
- Alkali çözelti: % 45 lik NaOH çözeltisi.
- Sıcaklık : 140°C
- Süre : 3 saat.

Bu koşullarda % 90 nın üstünde Th çözünme verimi elde edilebilmektedir. Elde edilen toryum ve nadir toprak elementlerinin hidroksitleri mineral asitlerinde kolayca çözündüklerinden elde edilmelerinde büyük bir avantaj sağlanmaktadır.

Toryum Hidroksitin Nadir Toprak Elementleri Hidroksitlerinden Ayrılması:

Bu ayırım için derişik hidroklorik asit (HCl) kullanılır. Derişik HCl içinde çözündürülen gökelek 80°C de bir saat ısıtılır. Böylece Toryum ve Nadir Toprak elementleri % 99.5 oranında çözeltiye geçer. Çözelti önce su ilave edilerek seyreltilir. Sonra amonyum veya sodyum hidroksit ile nötralize edilerek Toryum ve Nadir toprak elementleri göktürülür. $\text{P}^{\text{H}} = 3.5 - 5.5$ arasında Toryum, hidroksit olarak tamamen çöker. $\text{P}^{\text{H}} = 6.2 - 8.2$ arasında nadir toprak elementleri, hidroksit olarak çöker.



ŞEKİL: 5. Alkali Çözündürme Akım Şeması

Buradan elde edilen Tiryum Konsantresi % 36-38 Th içерir.(Hidroksit halinde) Ayrıca silis,nadir toprak elementleri,fosfat,klorür,demir ve titan az miktarlarda bu konsantrrede bulunmaktadır(9,40). Elde edilen nadir toprak elementleri konsantresi ise % 73 nadir toprak elementleri içerir.(Hidroksit halinde) Ayrıca az miktarlarda tiryum,demir,silis,fosfat,klorür,ve uranyumda bulunabilir.

Bütün bu prosesler sonunda elde edilen % 36-38 tiryum içeren konsantreden gerekli yerlerde kullanmak üzere saf tiryum bileşikleri elde edilir.

Tiryum Nitrat: Tiryum konsantresinden solvent ekstraksiyonu veya reçine iyon değişimi ile elde edilir. Kullanılan önemli solventler ÇİZELGE 1.8 de verilmiştir(13).

Tiryum Oksit: Tiryum Nitratın veya tiryum okzalatin ıslıl işlemle bozundurulması yoluyla elde edilir.

Tiryum Metali: Üç ayrı metotla elde edilir.

- 1) ThO_2 veya Tiryum halojenürlerin metalotermik olarak indirgenmesi
- 2) Erimiş tiryum tuzlarının elektrolizi
- 3) Tiryum halojenürlerin ıslıl işlemle bozundurulması.

ÇİZELGE: 1.8 Tiryumun Saflaştırılmasında Kullanılan Önemli Solventler

Tiryumun Ayrıldığı Elementler	Sulu Faz	Solvent Fazı
REE, Fe, Al Nd REE B, Tl, Pb, Ac T, V, Ce Metaller REE, Sc, Y	$\text{HNO}_3 - \text{NO}_3^-$ $\text{NH}_4^+ \text{SCN}$ $\text{NH}_4^+ \text{SCN}$ Asidik $\text{Al}(\text{NO}_3)_3$ $\text{HNO}_3 - \text{Ca}(\text{NO}_3)_2$ $\text{HNO}_3 - \text{NH}_4^+ \text{NO}_3^-$	Eter $n - \text{Amil Alkol}$ Pentenol - 1 TTA / Benzen Mezitil Oksit Tri Butil Fosfat Di Bütoksi Tetra Etilen Glikol / Eter Metil n-Hekzil Keton Metil İzobutil Keton Tri Butil Fosfat/Kerozen Tri Butil Fosfat/Seyreltici
REE, Zr REE Fisyon Ürünleri REE	$\text{Al}(\text{NO}_3)_3 - \text{H}_3\text{PO}_4$ HNO_3	

2. ESKİSEHIR - BEYLİKAHİR TORYUM CEVHERİNİN DEĞERLENDİRİLMESİ

Eskisehir - Beylikahir Toryum yatağı 1970 li yıllarda MTA Enstitüsü tarafından bulunmuştur. Daha sonra bu yataktaki cevherin değerlendirilmesi için aynı Enstitüde çalışmalar yapılmıştır. Yapılan bu çalışmalar cevher içerisindeki toryum mineralini tesbit etmek ve cevhere uygulanacak zenginleştirme yöntemini belirlemek amacını taşımaktadır. Yapılan ön zenginleştirme çalışmalarında cevher -1 mm tane boyutuna kademeli kırma-eleme ile indirilmiş, sonra sarsıntılı masada zenginlitmeye tabi tutulmuştur. Buradan elde edilen ağır mineraller konsantresi üç ayrı boyuta ayrılarak yüksek alan şiddetli kuru manyetik ayıricıdan 3 kademede geçirilmiş ve manyetik ürünler ile manyetik olmayan ürünler elde edilmiştir. Toryum mineralinin ağır mineraller konsantresinde ve manyetik ürünlerde toplandığı gözlenmiştir. Bu deneylerin sonunda % 32.9 toryum kazanma verimi ile bir ön konsantre elde edilmiştir. Konsantredeki toryum tenörü sarja göre iki büyük kat artma göstermiştir. Ancak toryum kaybı (% 67) çok fazladır(6).

Daha sonraki yıllarda cevher içerisindeki toryumu çözeltiye alma çalışmaları yapılmıştır. Ancak yapılan çalışmaların sonucunda toryumu belli bir verimle çözeltiye almak mümkün olamamıştır. En son yapılan bir çalışmada ise 1500 kg/ton H_2SO_4 kullanılarak % 38.2 lik bir toryum çözünme verimi elde edilmiştir. Bu verim 3 kademeli çözündürme ile

% 61 e yükseltilmiştir. Ayrıca kullanılan 1400 kg/ton HNO_3 ile de % 44 lük bir toryum gözümme verimi elde edilmiş, bu verim de 3 kademeli gözündürme ile % 58 e çıkarılmıştır(7).

2.1 DENEYLERE ESAS OLAN NUMUNENİN ÖZELLİKLERİ

2.1.1 Numunenin Alınışı

Eskişehir - Beylikahır Toryum yatağında, filon dolgusu ve yantaş içeren tektonik bresler olmak üzere iki tür cevherli kayaca rastlanmaktadır. Bu bölgede 4 ayrı tip mineralleşme mevcuttur(25,42). Bu özellikler göz önünde bulundurularak cevher yatağının çeşitli seviyelerinde MTA Enstitüsü tarafından açılan yarmalardan, yatağın tüm özelliklerini içeren yaklaşık 1000 kg lik temsili numune alınmıştır. Alınan numune ikiye ayrılarak yarısı yedek olarak bırakılmış diğer yarısı ise deneylerde kullanılmıştır. Laboratuara getirilenek üzerinde çalışmalar yapılan numunenin komple kimyasal analizi ÇİZELGE:2.1 da gösterilmiştir.

ÇİZELGE:2.1 Temsili Numunenin Komple Kimyasal Analizi

MADDE	%
ThO_2	0.71
BaO	10.20
CaO	9.80
Al_2O_3	10.12
Fe_2O_3	9.20
MnO_2	3.35
MgO	1.75
Na_2O	0.70
K_2O	1.52
SiO_2	31.18
P_2O_5	3.58
SO_3	5.46
F	1.14
Nadir Top. El.	2.70
Kızdırma Kaybı	8.20
TOPLAM	99.61

2.1.2 Mineralojik İnceleme

Sahadan alınan temsili numuneden cevherin mineralojik incelemesi için numuneler seçilmistir. Bu numuneler ikiye ayrılmış olup bir parçası 1979 yılında Kanada ya götürülüp orada incelenmiştir. Diğer yarısı ise Türkiye de MTA Enstitüsü, İTÜ Maden Fakültesi ve Çekmecce Nükleer Araştırma ve Eğitim Merkezindeki imkanlar kullanılarak tespit edilmiştir.

Toryumca büyük bir rezerve sahip olan bu yatak Nadir Toprak Mineralleri bakımından da büyük önem taşımaktadır. Ayrıca 4 ayrı mineralleşmenin bulunduğu bu yatağın Barit ve Fluorit bakımından da önemli olacağı düşünülmektedir.

Makroskopik Özellikler:

Açık kahverengi olan numunede en iri tane boyutu 50 - 70 mm civarındadır. Fluorit, Pirolusit ve Kuvars gibi mineraller azda olsa gözle görülebilmektedir. Tam bir toprak manzarası arzeden numune, çok gevrek bir yapıda olup kolayca uflatılabilir. (ŞEKLİ: 2.1(a), 2.1(b)).

Mikroskopik Özellikler:

Hazırlanan cevher numuneleri, Kobalt-Antikatodu kullanılarak Debye-Scherrer toz difraksiyon kamerasıyla incelenmiş, ÇİZELGE: 2.2 de gösterilen mineraller tesbit edilmiştir. Ayrıca numunenin yüzeyi parlatılmış ve polaroid MP-3 kamerasıyla resmi çekilmistir. (ŞEKLİ: 2.2) Tesbit edilen bu mineraller mikroskop altında da incelenmiş ve özellikleri saptanmıştır.

BARİT: BaSO₄ Büyüklükleri 0.1 - 0.8 mm arasında idiomorfik karakterli kristaller halindedirler. Renkleri kirli beyaz ve kirli sarıdır. Daha küçük tane boyutundaki baritler ise kristal toplulukları halinde bulunurlar. Su ve asitte gözünmeyen bu mineral cevher içerisinde bol miktarda bulunmaktadır.

ÇİZELGE: 2.2 Toryum Cevherinde Tesbit Edilen Mineraller

MİNERALİN ADI	KİMYASAL FORMÜLÜ
Barit	BaSO_4
Bastneasit	$(\text{CeLa}) \text{F CO}_3$
Dolomit	$\text{Ca}, \text{Mg} (\text{CO}_3)_2$
Fluorit	CaF_2
Limonit-Götít	$\text{Fe}_2\text{O}_3 \cdot \text{H}_2\text{O}$
Kuvars	SiO_2
Montmorillonit	$(\text{Ca}, \text{Mg})_0 \cdot \text{Al}_2\text{O}_3 \cdot 5\text{SiO}_2 \cdot n \text{H}_2\text{O}$
Ortoklas	$\text{K Al Si}_3\text{O}_8$
Pirolusit	MnO_2

Bastneasite: $(\text{Ce}, \text{La}) \text{F CO}_3$ Toryumun bağlı olduğu mineraldir. x-ray difraksiyonu yöntemiyle yapılan çalışma sonunda elde edilen bulguların Bastneasit mineraline uygunluğu tesbit edilmiştir. Bu mineralin cehver içerisinde çok küçük tanecikler halinde dağılması ve büyütmenin yetersizliği nedeniyle mikroskopta optik özelliklerini tesbit etilememiştir. Bir çift tuz olarak bilinen bastneasit minerali sarı renkli olup konsantr HCl ve konsantr H_2SO_4 de çözülmektedir (27). Yüksek çift kırma özelliğine sahip olan mineral, Kil mineralleri ile birlikte killi bir material içinde bulunduğuundan mikroskopta tesbiti mümkün olamamıştır.

Dolomit: $\text{Ca}, \text{Mg} (\text{CO}_3)_2$ Cehver içerisinde 0.09 - 0.15 mm boyutunda gang minerali olarak bulunan dolomit, mikroskopta beyaz, kirli beyaz renkli olup az miktarda ince kristaller halinde izlenmiştir. Ayrıca Kalsit'e de (CaCO_3) rastlanmıştır.

Fluorit: CaF₂ Sahanın belli bir bölümünde hakim mineral olarak bulunan fluorit numunede mor, mörkirmizisi rehkte makroskopik olarakta görülmektedir. Boyutları 8-0.3 mm arasında değişen fluorit taneleri, mikroskop altında büyük idiomorfik kristaller halinde izlenmiştir.

Limonit - Götit: Fe₂O₃ . H₂O Cevherdeki demir mineralleri Götit ve Limonittir. Bu mineraller kayaçta hem pirolusitin hemde diğer mineralerin yüzeylerini kaplamış olarak bulunmaktadır.

Montmorillonit: (Ca,Mg) O.Al₂O₃ . 5 SiO₂ . n H₂O Cevherdeki en önemli gang mineralidir. Diğer mineralleri bir arada tutan cimento maddesi görevini yapmaktadır. Çok ince yapıda olan bu kil minerali ancak x-ray difraksiyonu yöntemiyle saptanabilmistir. Cevherin kolay ufanabilirliğinin nedeni bu mineraldir.

Pirolusit: MnO₂ Kumune içinde yer yer zengin ve fakir olarak dağılmış bulunmaktadır. Genellikle üzeri limonit tarafından boyanmış olarak görülen pirolusit tanelerinin büyüklükleri 0.3 -3.0 mm arasındadır.

Az miktarda bresik zonda killi materyalle birlikte bulunan kuvars (SiO₂) ince kristaller halindedir. Diğer bir gang minerali olan Ortoklas(K Al Si₃O₈) ise cevherde yaygın olarak bulunmaktadır.

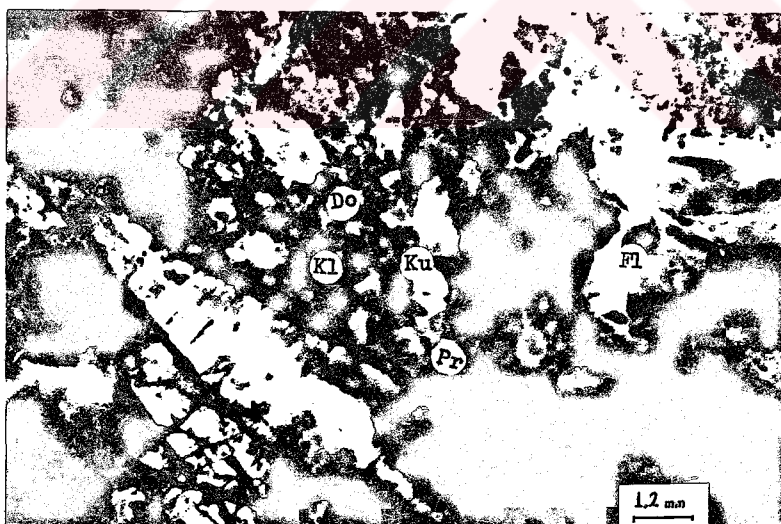
ŞEKİL: 2.2. de numunenin parlatılmış yüzeyi incelendiğinde görüldüğü gibi iki ayrı zon mevcuttur.

a) Bresik zon: Kuvars, dolomit, pirolusit, bu zonda bulunmaktadır. Burada çok ince taneli kil mineralleri cimento maddesi olarak bu mineralleri bir arada tutmaktadır.

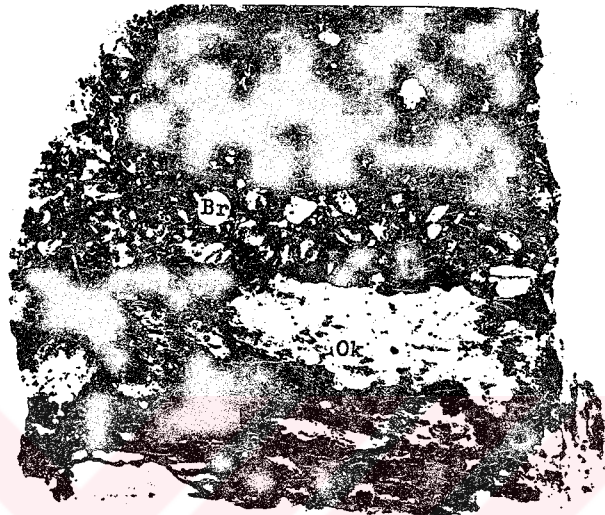
b) Oksidasyon zonu: Barit, fluorit, götit bu zonda mevcuttur.



ŞEKİL: 2.1(a) Gevher içerisinde gözle görülebilen Barit(Ba) Pirolusit(Pr) ve Kil mineralleri(Kl), ×



ŞEKİL: 2.1(b) Kil mineralleri içinde bulunan Dolomit(Do), Kuars(Ku), Pirolusit(Pr), ayrıca Fluorit(Fl)
×



ŞEKİL: 2.2 Cevherdeki bresik zon(Br) ve oksidasyon zonu(Ok).

2.1.3 Tane Serbestleşmesi

Sahadan alınan yaklaşık 1000 kg lik temsili numune, önce ikiye ayrılarak yarısı saklanmış, geriye kalan 500 kg lik numuneden dörtleme ve bölme işlemleriyle ayrılan 20 kg lik numune, cevheri tanımak amacıyla yapılan çalışmalarda kullanılmıştır. Tiryum minerali çok ince bir şekilde cevher içerisinde dağıldığından ve mikroskopta bu mineral tespit edilemediğinden, serbestleşme etüdleri tiryum minerali için yapılmamıştır. Ancak bazı ön denemelerle tiryumu konsantr edebilme olanakları araştırılmıştır.

Tiryum analizi için pratik olan ve doğruluğu 4 ayrı yöntemle kanıtlanan radyometrik bir analiz yöntemi geliştirilmiştir(43). Bütün tiryum analizleri bu yöntemle yapılmıştır. Böylece tiryum analizinde hız ve doğruluk sağlanmıştır.

2.1.3.1 Yüzdürme - Batırma Deneyleri

Cevher içerisindeki minerallerin özellikleri incelendiğinde, bu mineraller arasındaki belirgin özgül ağırlık farkından faydalananla- rak Bastneasit'i ağır mineraller kısmında toplamak için, yüzdürme - batırma deneylerinin olumlu sonuç vereceği düşünülmüştür(44). Bu deneyler için numune alınıp 1mm. nin altına geçirilmiştir. Bu numune dört ayrı fraksiyona ayrılmış ve her fraksiyon, yoğunluğu 2.90 gr / cm^3 olan Bromoform kullanılarak yüzdürme - batırma deneyleri yapılmıştır. Bu de- neylerin sonuçları ÇİZELGE:2.3 ve 2.4 de gösterilmiştir.

Yüzdürme - Batırma (Ağır ortam ayırması) deneylerinin sonuç- ları incelendiğinde görülmüştür ki, tiryum batan ürünlerde ve şlamda top- lanmaktadır. Ancak tane boyutu küçüldükçe batan ürün miktarı artmaktadır. "-0.105 -0.053 " mm. tane boyutu aralığındaki ürünlerde batan kısım % 89 olmaktadır. Buda göstermektedir ki tiryum minerali cevher içerisinde çok küçük tanecikler halinde dağılmıştır.

ÇİZELGE: 2.3 Yüzdürme - Batırma Deneylerinin Sonuçları

TANE BOYUTU - mm -	ÜRÜNLER	MİKTAR %	Th-TENÖRÜ %	Th-DAĞILIMI %
1.0 +0.5	Yüzen	57.4	0.25	33.13
	Batan	42.6	0.68	66.87
		100.0	0.43	100.00
0.5 +0.210	Yüzen	51.1	0.24	24.81
	Batan	48.9	0.76	75.19
		100.0	0.49	100.00
-0.210 +0.105	Yüzen	43.0	0.37	24.94
	Batan	57.0	0.84	75.06
		100.0	0.63	100.00
0.105 +0.053	Yüzen	11.0	0.26	3.60
	Batan	89.0	0.75	96.40
		100.0	0.70	100.00

ÇİZELGE: 2.4 Yüzen ve Batan Ürünlerin Şarja Göre Değerlendirilmesi

TANE BOYUTU -mm-	ÜRÜNLER	MİKTAR %	Th-TENÖRÜ %	Th-DAĞILIMI %
-1.0 +0.053	Yüzen	32.8	0.27	13.55
	Batan	48.0	0.75	55.03
-0.053	Şlam	19.2	1.07	31.42
		100.0	0.65	100.00

2.1.3.2 Manyetik Ayırma Deneyleri (45,46,47,48,49,50,51,52,53)

Mineraller arasındaki manyetik özellik farklı düşünülerek, manyetik ayırcıda cevherin göstereceği durum incelenmek istenmiştir. Bu çalışmalar için "Frantz Isodynamic" manyetik ayırcısı kullanılmıştır.

Numunenin hazırlanışı: Manyetik ayırcıya beslenecek olan numune, kademeli kırmak-eleme ile 1 mm. nin altına kırılmıştır. Bu numune, -1 -0.5 mm. , -0.5 -0.210 mm. , -0.210 -0.151 mm. ve -0.151 -0.105 mm. fraksiyonlarına ayrılmıştır. Elde edilen bu ürünlerin tenör ve toryum dağılımı **ÇİZELGE: 2.5** de gösterilmiştir. Bu şekilde dar tane boyutu aralığında sınıflandırılarak elde edilen her fraksiyon, önce su ile yıkamış kurutulmuş, sonra tekrardan aseton ile yıkanarak tanelerin yüzeylerinin temizliği sağlanmıştır. Bu şekilde hazırlanan numuneler çeşitli açılarda ve değişik akım şiddetleri ile manyetik ayırcıdan geçirilmiştir.

ÇİZELGE: 2.5 1 mm. Altına İndirilen Cevherin Manyetik Ayırcıya Besleme Boyutları

TANE BOYUTU - mm -	MİKTAR %	\sum MİKTAR %	Th-TENÖRÜ %	Th-DAĞILIMI %
-1.0 +0.5	32.7	32.7	0.48	23.7
-0.5 +0.210	22.4	55.1	0.54	18.2
-0.210 +0.151	8.1	63.2	0.70	8.6
-0.151 +0.105	5.4	68.6	0.73	6.0
-0.105	31.4	100.0	0.92	43.5
	100.0		0.66	100.0

Her fraksiyon manyetik ayırcıdan geçirildikten sonra manyetik ürün ve manyetik olmayan(non-manyetik) ürün elde edilmiştir.

ÇİZELGE: 2.6 Belirli Tane Boyutu Aralığında Yapılan Manyetik Ayırma Deneyinin Sonuçları

TANE BOYUTU - mm -	AKIM ŞİDDETİ	ÜRÜNLER	MİKTAR %	Th-TENÜRÜ %	Th-DAJİLİMİ %
-1.0 +0.5	0.5 Amp.	Manyetik	18.0	1.10	41.3
		Non-Many.	82.0	0.33	58.7
			100.0	0.48	100.0
	1.5 Amp.	Manyetik	69.4	0.62	88.6
		Non-Many.	30.6	0.18	11.4
			100.0	0.48	100.0
-0.5 +0.210	0.5 Amp.	Manyetik	17.0	1.25	40.9
		Non-Many.	83.0	0.37	59.1
			100.0	0.52	100.0
	1.5 Amp.	Manyetik	67.5	0.74	88.4
		Non-Many.	32.5	0.20	11.6
			100.0	0.56	100.0
-0.210+0.151	0.5 Amp.	Manyetik	16.5	1.62	38.1
		Non-Many.	83.5	0.52	61.9
			100.0	0.70	100.0
	1.5 Amp.	Manyetik	64.0	0.98	88.8
		Non-Many.	36.0	0.22	11.2
			100.0	0.70	100.0
-0.15 +0.105	0.5 Amp.	Manyetik	16.0	1.61	35.4
		Non-Many.	84.0	0.56	64.6
			100.0	0.73	100.0
	1.5 Amp.	Manyetik	58.0	0.99	80.1
		Non-Many.	42.0	0.34	19.9
			100.0	0.73	100.0

Elde edilen her iki üründe mikroskop altında incelenmiştir. Manyetik ürün genellikle koyu renkli tanelerden, manyetik olmayan ürün ise açık renkli (beyaz, açık kahverengi vb.) tanelerden oluşan görülmüştür. Akım şiddeti (dolayısıyla manyetik alan şiddeti) arttıkça bu renk görünüşünde değişimler olduğu gözlenmiştir. Yani manyetik konsantreye koyu renkli tanelerle birlikte sarı renkli ve kırmızımsıtrak renkli tanelerde gelmiştir.

Yapılan deneysel sonuçları ve toryum dağılımı ÇİZELGE:2.6 de gösterilmiştir. Bu sonuçlara göre, akım şiddeti artırınca (1.5 amp) toryum verimi artmakta fakat tenör düşmektedir. Çünkü bu tane boyutunda serbestlesmeyen bilesik taneler de manyetik ürüne gelmekte, böylece tenör azalıp verim ise artmaktadır. Akım şiddeti düşük olduğunda (0.5 amp) ise sadece serbestlesmiş olan manyetik taneller manyetik ürüne gelmekte dolayısıyla tenör yükselmesine karşın, toryum verimi azalmaktadır.

2.1.3.3 Yüzdürme Batırma + Manyetik Ayırma Deneysel

Ağır ortam ayırması (yüzdürme - batırma) ile elde edilen batan ürünler (Ağır mineraller) (ÇİZELGE:2.3) yıkandıktan sonra asetonla tekrar yıkandıktan sonra tanelerin yüzeyleri temizlenmiştir. Bu numuneler, ÇİZELGE: 2.6 incelenerek tesbit edilen uygun koşullarda Frantz Isodynamic manyetik ayırıcısından geçirilmiştir. Elde edilen ürünler ve bunların tenörleri ile toryum dağılımı ÇİZELGE: 2.7 de gösterilmiştir.

Deneysel sonuçta çok düşük verimle, yüksek tenörlü manyetik ürünler elde edilmiştir. Bir numunede toryum tenörünün % 2.12 ye yükselmesi umit verici gibi görülmüş ise de verimin % 24 gibi çok düşük bir değerde olması nedeniyle istenilen amaca ulaşlamamıştır. Deneysel sonuçların alınmasının nedeni, toryumun cevher içinde ince olarak dağılımından ileri gelmektedir.

ÇİZELGE: 2.7 Ağır Ortam Ayırmasından Sonra Yapılan Manyetik Ayırma Deneyinin Sonuçları

TANE BOYUTU - mm -	AKIM SIDDETİ	ÜRÜNLER	MİKTAR %	Th-TENÖRÜ %	Th-DİLİMİ %
-1.0 +0.5	0.5 Amp.	Manyetik	24.0	0.95	33.0
		Non-Many.	76.0	0.61	67.0
			100.0	0.69	100.0
-0.5 +0.210	0.5 Amp.	Manyetik	19.0	1.34	32.6
		Non-Many.	81.0	0.65	67.4
			100.0	0.78	100.0
-0.210 +0.105	0.5 Amp.	Manyetik	13.0	1.55	24.1
		Non-Many.	87.0	0.73	75.9
			100.0	0.84	100.0
-0.105 +0.053	0.5 Amp.	Manyetik	9.0	2.12	23.8
		Non-Many.	91.0	0.67	76.2
			100.0	0.80	100.0

2.2 ÖN ZENGİNLEŞTİRME DENEYLERİ

Eskişehir - Beylikahır cevherinin yapısal özelliklerini ve cevheri tanıma amacıyla yapılan deneylerden elde edilen sonuçlar, cevheri asitle çözündürme işlemine sokmadan önce ön zenginleştirme imkanlarının ayrıntılı olarak araştırılmasını gerektirmiştir. Bu düşünceden hareket ile boyut küçültme, gravimetrik ayırma, flotasyon, sistematik dağıtma ve bunu izleyerek boyuta göre sınıflandırma deneyleri yapılmıştır,

2.2.1 Boyut Küçültme Deneyleri

Cevher içerisinde bulunan ve çimento malzemesi rolü oynayan kil minerallerinin gevrek oluşu ve kolayca uفالanabilmesi özelliğinden dolayı dağıtma ve tane boyutuna göre sınıflandırma ile zenginlestirme imkanlarını araştırmak gerekmektedir. Bu nedenle kırma deneylerinin elek analizi sonuçlarının bu yönden değerlendirilmesi yapılmıştır.

Cevherin önce tüvenan olarak elek analizi yapılmış sonuçlar ÇİZELGE:2.8 ve ŞEKİL:2.3de gösterilmiştir. Ayrıca cevher 6 mm. nin ve 1 mm. nin altına kırılmış, kırılan cevherin boyut dağılımları ve boyut aralarındaki toryum tenörleri belirlenerek sonuçlar ÇİZELGE:2.9 ve 2.10 ile ŞEKİL:2.3de gösterilmiştir.

Bütün kırma deneylerinde kapalı devre kırma işlemi uygulanmış, kırılmış cevherler kırma boyutundan elendikten sonra elek üstleri tekrar kırıcıya verilmiştir. Kademeli kırma deneylerinin tümü göz önüne alındığında cevherde ince taneyiş doğru tenör artışı olmasına rağmen önemli bir zenginleşme olmadığı görülmüştür.

2.2.2 Sarsıntılı Masada Özgül Ağırlık Farkına Göre Zenginlestirme Deneyleri

Cevher içerisindeki mineraller arasında belirgin özgül ağırlık farkı olduğundan uygun boyutta sarsıntılı masada zenginleştirme deneyi yapılması düşünülmüştür. Bu deney için cevher numunesi geneli ve merdaneli kırıcılar kullanılıp kademeli kırma-eleme ile 0.6 mm. altına indirilmiş ve ÇİZELGE:2.11da görüldüğü gibi üç boyut grubuna ayrılmıştır. Her boyut gurubu ayrı ayrı laboratuvar tipi standart Wilfley sarsıntılı masasında zenginlestirmeye tabi tutulmuştur. Sonuçlar ÇİZELGE:2.12de gösterilmiştir.

Deney sonuçlarına göre, sarsıntılı masaya beslenen numunenin tane boyutu küçüldükçe, toryumun ağır mineraller konsantresinde toplan-

ÇİZELGE: 2.8 Tüvenan Gevherin Elek Analizi ve Boyuta Göre Th-Dağılımlı

TANE BOYUTU - mm -	E L E K A N A L İ Z İ			BOYUTA GÖRE TÖRYÜM DAĞILIMI		
	MIKTAR %	TOPLAM ELEK ÜSTÜ %	TOPLAM ELEK ALTI %	Th-TENÖRÜ %	Th-VERİMİ %	
+5.6	10.17	10.17	100.00	0.67	10.47	
+2.0	28.48	38.65	89.83	0.46	20.15	
+1,0	21.00	59.65	61.35	0.65	21.00	
+0.5	2.48	69.13	40.35	0.67	9.75	
+0.210	10.43	79.56	30.87	0.61	9.77	
+0.151	4.95	84.51	20.44	0.70	5.32	
+0.105	2.52	87.03	15.49	0.42	1.61	
+0.074	2.78	89.81	12.97	0.74	3.15	
+0.043	3.04	92.85	10.19	0.88	4.10	
	7.15	100.00	7.15	1.32	14.68	
TOPLAM	100.00			0.65	100.00	

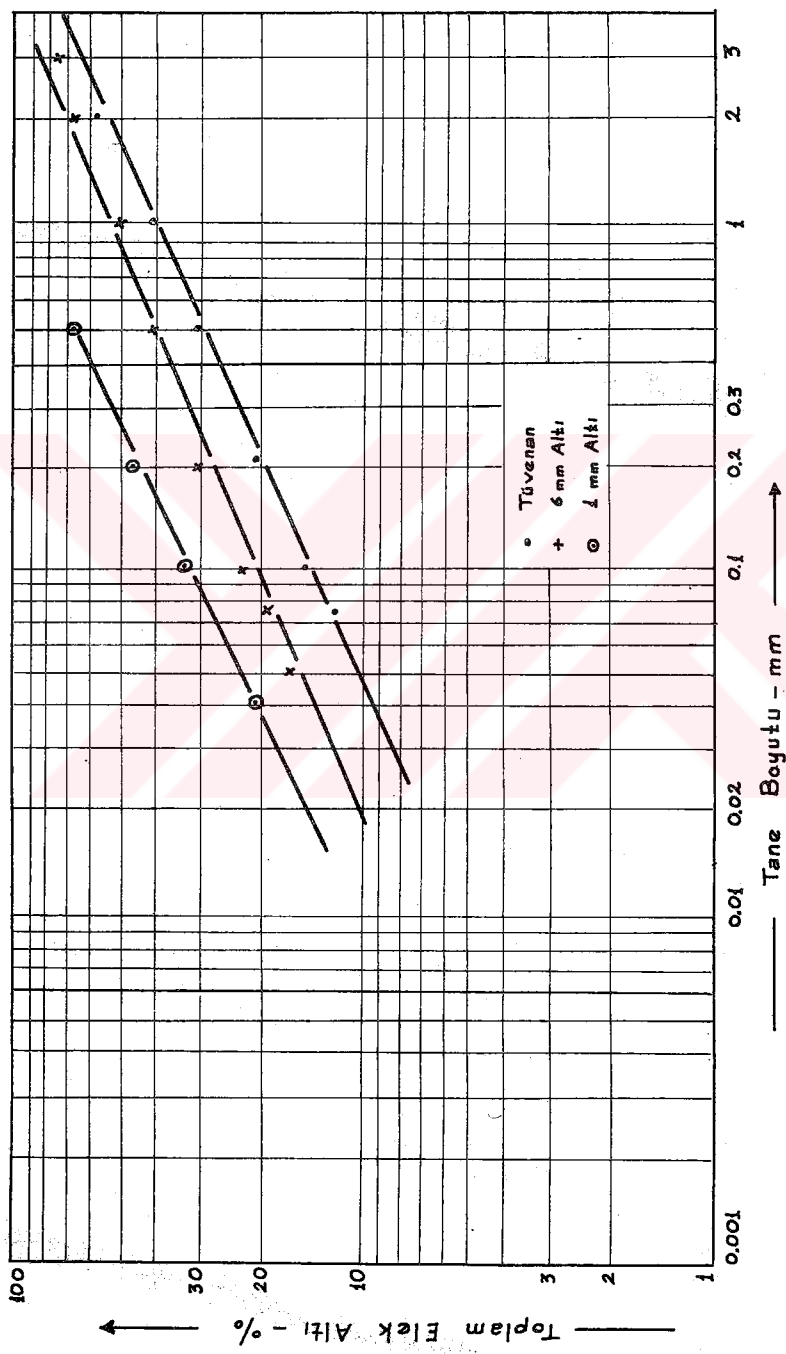
ÇİZELGE: 2.9 6 mm. Altına İndirilmiş Toryum Cevherinin Boyut ve Boyuta
Göre Toryum Dağılımı

47

TANE BOYUTU - mm -	E L E K A N A L İ Z İ			BOYUTA GÖRE TORYUM ANALİZİ		
	MİKTAR %	TOPLAM ELEK %	TOPLAM ELEK ÜSTÜ %	TOPLAM ELEK ALTI %	Th- TENÖRÜ %	Th- VERİMİ %
+3.36	28.00	28.00	100.00	0.48	23.10	
-3.36	6.20	34.20	72.00	0.43		4.60
-2.0	16.00	50.20	65.80	0.48		13.20
-1.0	10.30	60.50	49.80	0.49		8.60
-0.5	9.20	69.70	39.50	0.53		8.30
-0.210	7.40	77.10	30.30	0.55		7.00
-0.105	3.00	80.10	22.90	0.71		3.60
-0.074	2.70	82.80	19.90	0.72		3.30
-0.053	17.20	100.00	17.20	0.95		28.30
TOPLAM	100.00			0.58		100.00

**ÇİZELGE: 2.10 1 mm. Altına İndirilmiş Toryum Cevherinin Boyut ve Boyuta
Göre Toryum Dağılımı**

TANE BOYUTU - mm -	E L E K A N A L İ Z İ			BOYUTA GÖRE TORYUM ANALİZİ		
	MİKTAR %	TOPLAM ELEK %	TOPLAM ÜSTÜ %	TH- ELEK ALTI %	TH- TEKÖRÜ %	TH-VERİMİ %
-1.0	+0.5	32.70	32.70	100.00	0.43	22.50
-0.5	+0.210	22.40	55.10	67.30	0.49	17.50
-0.210	+0.105	13.50	68.60	44.90	0.64	13.80
-0.105	+0.053	12.20	80.80	31.40	0.70	13.60
-0.053		19.20	100.00	19.20	1.07	32.60
TOPLAM		100.00			0.63	100.00



SEKİL : 2.3 6 mm., 1 mm. Altına kırlan ve Tüvenan Teryum Çevher Numunesinin Elek Altı Eğrileri.

ÇİZELGE: 2.11 0.6 mm. Altına İndirilen Numunenin Sarsıntılı Masaya Besleme Boyutları

TANE BOYUTU - mm -	MIKTAR %	\sum MIKTAR %	Th-TENÖRÜ %	Th-DAĞILIMI %
-0.6 +0.3	37.7	37.7	0.52	26.3
-0.3 +0.210	15.2	52.9	0.64	13.1
-0.210	47.1	100.0	0.96	60.6
TOPLAM	100.0		0.74	100.0

ÇİZELGE: 2.12 Üç Ayırı Boyuttaki Töryum Numunesi Üzerinde Yapılan Sarsıntılı Masada Ayırma Deneyinin Sonuçları

TANE BOYUTU - mm -	URÜNLER	MIKTAR %	\sum MIKTAR %	Th-TENÖRÜ %	Th-DAĞILIMI %
-0.6 +0.3	Konsantre'	16.2	16.2	0.72	22.1
	Ara Ürün''	46.3	62.5	0.58	50.9
	Artık'''	36.2	98.7	0.35	24.0
	Şlam	1.3	100.0	1.25	3.0
		100.0		0.52	100.0
-0.3 +0.210	Konsantre'	16.3	16.3	0.42	10.3
	Ara Ürün''	36.3	52.6	0.73	40.0
	Artık'''	46.1	98.7	0.68	47.3
	Şlam	1.3	100.0	1.20	2.4
		100.0		0.66	100.0
-0.210	Konsantre'	8.3	8.3	0.23	1.8
	Ara Ürün''	16.9	25.2	0.76	12.6
	Artık'''	52.5	77.7	0.98	50.5
	Şlam	22.3	100.0	1.60	35.1
		100.0		1.00	100.0

' Ağır Mineraller konsantresi

'' Birleşik taneler

''' Hafif Mineraller

mayıp hafif mineraller kısmında ve şlamda toplandığı bu ürünlerdeki tenör artısından anlaşılmaktadır. Cevherin kırılgan olması ve toryumun kil mineralleri ile birlikte kolaylıkla ince taneye geçebilmesi nedeniyle ağır mineraller konsantresinde toryum tenörü ve verimi düşmekte buna karşın şlam ve artıkta ise artmaktadır. Deney sonuçlarına göre 0.6 mm. nin altında 3 ayrı boyutta yapılan sarsıntılı masa zenginleştirme deneylerinde toryumu belli bir konsantrede toplamak mümkün olamamıştır.

2.2.3 Flotasyon ile Zenginleştirme Deneyleri

Flotasyon deneylerinde amaç, cevher içerisinde bulunan Barit ve fluorit yüzdürmektedir(54,55) Ancak literatür araştırmaları göstermişdir ki, aynı kolektör kullanılarak ve aynı şartlarda Barit ve fluorit birlikte toryum mineralide yüzdürülebilmektedir(56,57,58,59,60). Flotasyon deneylerinde belirtilen bu mineraller yüzdürülürken silikatlarda, sodyum silikat kullanılarak bastırılmaya çalışılmıştır. Barit ve fluorit tanelerinin serbestleşmesi dikkate alındığından, numune kademeli kırmameleme - öğütme ile 0.151 mm altına indirilmiş ve doğrudan flotasyona sokulmuştur. Ancak şlamın fazla olmasının flotasyonu etkilediği gözlenmiştir, önce şlamın atılıp sonra flotasyon yapılmamasına karak verilmiştir. Deneyler için laboratuar tipi Denver flotasyon hücresi kullanılmıştır.(500 gr. lik) 0.151 mm altına öğütülen numuneden önce 4-5 defa şlam atılmış, malan numune aşağıdaki koşullarda flotasyona tabi tutulmuştur. Sonuçlar ÇİZELGE :2,13 de gösterilmiştir.

Flotasyon koşulları:

P^H	:	8.0 - 8.2
Sodyum Gleat Miktarı	:	1.5 Kg / Ton
Sodyum Silikat Miktarı	:	0.2 Kg / Ton
Kıvam Süresi	:	5 dakika
Flotasyon Süresi	:	8 dakika
Pülp Yoğunluğu	:	% 25 katlı
Pülp Sıcaklığı	:	20°C

ÇİZELGE:2.13 0.151 mm. Altına İndirilen Cevher Numunesi ile Yapılan Flotasyon Deneyinin Sonuçları

ÜRÜNLER	MİKTAR %	Σ MİKTAR %	Th-TENÖRÜ %	Th-DAĞILIMI %
Yüzen Ürün	32.0	32.0	0.80	33.2
Ara Ürün	12.0	44.0	0.65	10.0
Batan Ürün	20.0	64.0	0.38	9.9
Şlam	36.0	100.0	1.00	46.9
TOPLAM	100.0		0.76	100.0

Flotasyon deneylerinde, yüzdürulen kısmada az bir tenör artışı olmasına rağmen, toryumun % 47 sinin şlamda toplandığı görülmüştür. Batan kısmada ise tenör % 0.38 toryuma kadar düşmüştür. Cevherin yapısının kırılgan olması, kolay ufanabilmesi ve kil minerallerinin mevcudiyeti flotasyonu olumsuz yönde etkileyen faktörler olmuştur. Böylece toryumu belli bir üründe, flotasyon ile toplamak mümkün olamamıştır.

2.2.4 Dağıtma ve Boyuta Göre Sınıflandırma ile Zenginleştirme Deneyleri

Eskişehir - Beylikahır cevherinin yapısı ve cevheri tanıma deneylerinden elde edilen bilgilerden hareketle cevher belirli tane boyutunda, karıştırarak ve aktararak dağıtmaya tabi tutulmuştur.

2.2.4.1 Karıştırarak Dağıtma Deneyleri

Karıştırarak dağıtma deneylerinde 1.6 litre tank hacimli ve 800 Dev./ Dak. hızla dönen pervaneli karıştırıcılar (scrubber) kullanılmıştır. Deneylerde 6 mm., 4mm. ve 2 mm. tane boyutu altına kırılarak hazırlanan 3 ayrı numune üzerinde pülp yoğunluğu % 60 katı olacak şekilde ayarlanarak, 10, 20 ve 30 dakika sürelerle dağıtma yapılmıştır. Yapılan

ÇİZELGE: 2.14 6 mn. Altına Kirılan Toryum Cevherinin 10 dak. Süreli Karıştırarak Dağıtıma Deneyi Sonuçları

53

- mm -	E L E K A N A L İ Z İ			BOYUTA GÖRE TORYUM DAĞILIMI	
	MİKTAR %	TOPLAM ELEK ÜSTÜ %	TOPLAM ELEK ALTı %	Th- TENÖRÜ %	Th- VERİMİ %
+3.36	15.2	15.2	100.0	0.39	8.3
+2.0	10.3	25.5	84.8	0.40	5.8
+1.0	9.0	34.5	74.5	0.30	3.8
+0.5	7.1	41.6	65.5	0.30	2.9
+0.210	8.1	49.7	58.4	0.50	5.6
+0.105	5.8	55.5	50.3	0.40	3.2
+0.074	2.6	58.1	44.5	0.51	1.8
+0.053	3.3	61.4	41.9	0.65	2.9
-0.053	38.6	100.0	38.6	1.2	65.7
TOPLAM	100.0			0.7	100.0

GİZLIGE: 2.15 6 mm. Altına Kırılan Tiryum Cevherinin 20 dak. Süreli Karıştırarak Dağıtıma Deneyi Sonuçları

TANE	BOYUTU	E L E K A N A L İ Z İ			BOYUTA GÖRE TORYUM DAGILIMI	
		MİKTAR	TOPLAM ELEK ÜSTÜ %	TOPLAM ELEK ALTı %	Th-TEHİRÜ %	Th-VERİM %
- mm -	- mm -					
+3.36	15.4	15.4	100.0	0.30	7.0	
-3.36 +2.0	9.8	25.2	84.6	0.35	5.2	
-2.0 +1.0	9.0	34.2	74.8	0.30	4.1	
-1.0 +0.5	7.0	41.2	65.6	0.30	3.2	
-0.5 +0.210	7.6	48.8	58.8	0.40	4.6	
-0.210 +0.105	5.5	54.4	51.4	0.50	4.2	
-0.105 +0.074	3.7	58.0	45.7	0.45	2.5	
-0.074 +0.053	2.7	60.7	42.0	0.59	2.4	
-0.053	39.3	100.0	39.3	1.11	66.8	
TOPLAM	100.0			0.65	100.0	

ÇİZELGE: 2.16

6 mm. Altına Kırılan Tiryum Cevherinin 30 dak. Süreli
Karıştırarak Dağıtıma Deneyi Sonuçları

TANE BOYUTU - mm -	E L E K A N A L İ Z İ			BOYUTA GORE TORYUM DAĞILIMI	
	MİKTAR %	TOPLAM ELEK ÜSTÜ %	TOPLAM ELEK ALTı %	Th- TENÖRÜ %	Th-VERİMİ %
+3.36	11.9	11.9	100.0	0.22	3.8
+2.0	7.5	19.4	88.1	0.29	3.2
-2.0	+1.0	7.4	26.8	0.26	2.8
-1.0	+0.5	5.4	32.2	0.25	2.0
-0.5	+0.210	6.0	38.2	0.28	2.4
-0.210	+0.105	4.3	42.5	0.38	2.3
-0.105	+0.074	3.2	45.7	0.40	1.9
-0.074	+0.053	2.9	48.6	0.42	1.8
-0.053		51.4	100.0	51.4	1.06
	TOPLAM	100.0			79.8
				0.68	100.0

ÇİZELGE: 2.17 4 mm. Altına Kırılan Toryum Cevherinin 10 dak. Süreli Karıştırarak Dağıtıma Deneyi Sonuçları

TANE BOYUTU -mm-	E L E K A N A L İ Z İ			BOYUTA GÖRE TORYUM DAĞITIMI	
	MİKTAR %	TOPLAM ELEK ÜSTÜ %	TOPLAM ELEK ALTI %	Th-TEVÖRÜ %	Th-VERİMİ %
+2.0	22.7	22.7	100.0	0.40	12.7
-2.0	+1.0	12.0	34.7	0.40	6.8
-1.0	+0.5	8.5	43.2	0.40	4.8
-0.5	+0.210	8.8	52.0	0.40	5.0
-0.210	+0.105	5.6	57.6	0.50	3.9
-0.105	+0.074	2.4	60.0	0.50	1.7
-0.074	+0.053	2.9	62.9	0.55	2.2
-0.053		37.1	100.0	37.1	62.9
TOPLAM	100.0			0.70	100.0

ÇİZEKLGE: 2.18 4 mm. Altına Kırılan Töryum Cevherinin 30 dak. Süreli Karıştırarak Dağıtıma Deneyi Sonuçları

TANE BOYUTU - mm -	E L E K A N A L İ Z İ			BOYUTA GÖRE TÖRYUM DAĞILIMI		
	MİKTAR %	TOPLAM ELEK ÜSTÜ %	TOPLAM ELEK ALTI %	Th-TENÖRÜ %	Th-VERİMİ %	
+2.0	14.6	14.6	100.0	0.27	6.5	
-2.0	+1.0	15.5	30.1	85.4	0.32	8.2
-1.0	+0.5	9.0	39.1	69.9	0.35	5.2
-0.5	+0.210	7.6	46.7	60.9	0.35	4.4
-0.210	+0.105	4.1	50.8	53.3	0.44	3.0
-0.105	+0.074	1.7	52.5	49.2	0.50	1.4
-0.074	+0.053	2.4	54.9	47.5	0.56	2.2
-0.053		45.1	100.0	45.1	0.92	69.1
	TOPLAM	100.0			0.60	100.0

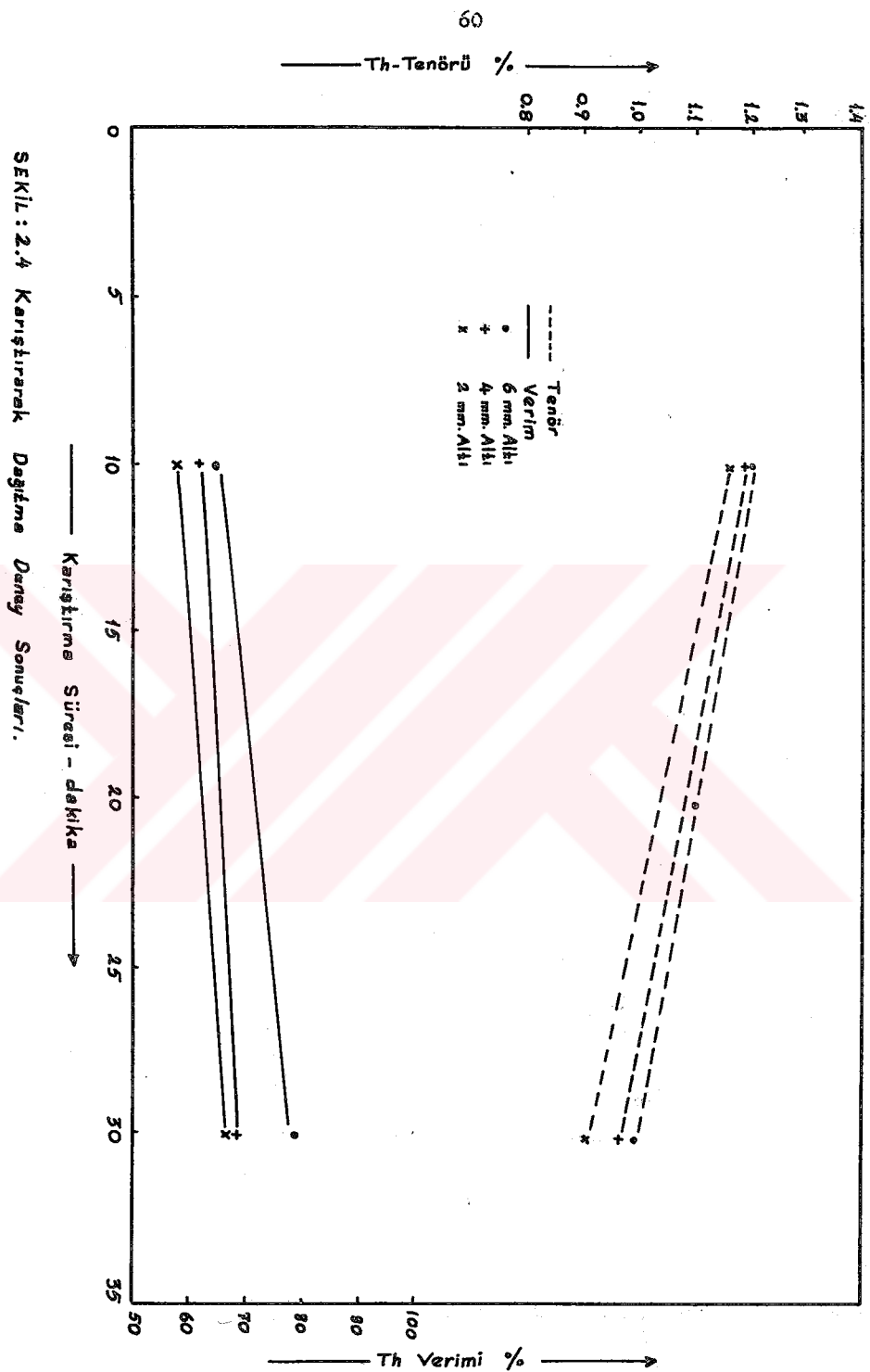
ÇİZELGE: 2.19 2 mm. Altına Kırılan Toryum Cevherinin 10 dak. Süreli Karıştırarak Dağıtıma Deneyi Sonuçları

TANE BOYUTU - mm -	E L E K T R O N A L İ Z İ			BOYUTA GÖRE TORYUM DAĞILIMI	
	MİKTAR %	TOPLAM ELEK ÜSTÜ %	TOPLAM ELEK ALTı %	Th-TEN ÖRÜ %	Th-VERİMİ %
+1.0	26.4	26.4	100.0	0.40	15.1
+0.5	15.7	42.1	73.6	0.45	10.1
-0.5	+0.210	12.0	54.1	57.9	0.52
-0.210	+0.105	6.4	60.5	45.9	0.42
-0.105	+0.074	2.7	63.2	39.5	0.50
-0.074	+0.053	1.7	64.9	36.8	0.53
-0.053		35.1	100.0	35.1	1.17
	TOPLAM	100.0			0.69
					100.0

ÇİZELGE: 2.20 2 mm. Altına Kırılan Töryum Cevherinin 30 dak. Süreli
Karıştırarak Dağıtıma Deneyi Sonuçları

59

TANE BOYUTU - mm -	E L E K A N A L İ Z İ			BOYUTA GÖRE TÖRYUM DAĞILIMI	
	MİKTAR %	TOPLAM ELEK ÜSTÜ %	TOPLAM ELEK ALTı %	Th-TEHİRÜ %	Th-VERİMİ %
+1.0	27.1	27.1	100.0	0.25	11.1
+0.5	11.4	38.5	72.9	0.36	6.7
-0.5	+0.210	9.5	48.0	61.5	0.37
-0.210	+0.105	5.0	53.0	52.0	0.50
-0.105	+0.074	1.7	54.7	47.0	0.41
-0.074	+0.053	2.8	57.5	45.3	0.54
-0.053		42.5	100.0	42.5	0.98
	TOPLAM	100.0			68.7
				0.60	100.0



SEKİL: 2.4 Karıştırarak Dağıtma Deney Sonuçları.

deneyleler sonunda elde edilen ürünlerin boyut dağılımı ve boyut aralıklarındaki toryum tenörü ÇİZELGE: 2.14, 2.15, 2.16, 2.17, 2.18, 2.19, 2.20 de gösterilmiştir.

Deneylelerden elde edilen sonuçlara göre 0.053 mm. tane boyutunun altına geçen üründe toryum tenörü % 1 in üzerine çıkmakta ve toryum verimi % 80 ne ulaşmaktadır. Bu deneyleerde 6 mm. nin altına kırılan cıvherin 30 dakika süreyle karıştırılarak dağıtılması ve eleverek sınıflandırılması en uygun koşullar olarak görülmüştür. Ayrıca karıştırma süresinin toryum kazanma verimine ve tenörüne etkisi ŞEKİL: 2.4 da gösterilmiştir.

Uygun koşullarda elde edilen -0.053 mm. tane boyutundaki toryum ön konsantresi şlamı alınarak 0.038 mm. lik elekten ele geçirilmiş ve böylece 3 ayrı ürün elde edilmiştir. Amaç, daha ince tane boyutunda zenginleşmenin olup olmadığını belirlemektir. Sonuç ÇİZELGE: 2.21 da gösterilmiştir.

**ÇİZELGE: 2.21 Karıştırarak Dağıtma ile Elde Edilen Ön Konsantrenin
Tane Boyutu Dağılımı**

TANE BOYUTU - mm -	MİKTAR %	\sum MİKTAR %	Th-TENÖRÜ %	Th-DAĞILIMI %
-0.053 +0.038	6.7	6.7	0.58	3.9
-0.038	21.5	28.2	0.78	17.0
Şlam (0.020)	71.8	100.0	1.08	79.0
TOPLAM	100.0		0.98	100.0

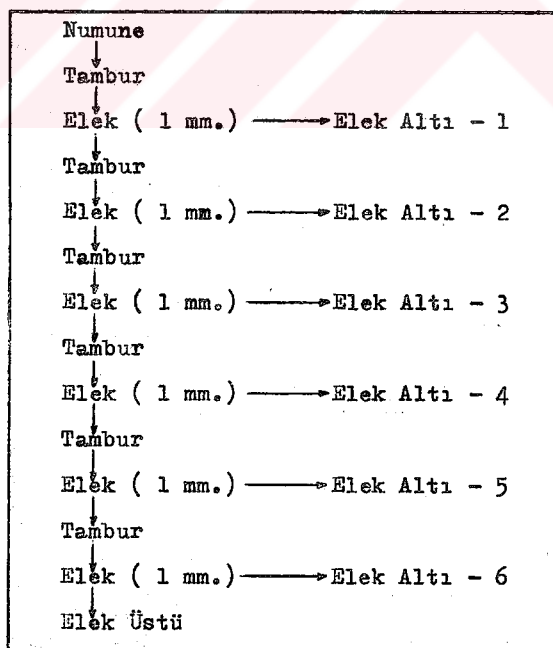
Karıştırarak dağıtma ile kırılan olan kolay uflatılabilen malzeme kolaylıkla ince boyuta geçmektedir. Silis gibi zor kırılan ve sert olan malzeme ise iri tanede kalmaktadır. Toryum, kırılan kısma bağlı olarak ince tanede konsantre olmaktadır. Bu deneylelerin sonunda, karış-

tırarak dağıtma süresi ve beslenen numunenin tane iriliği arttıkça, toryumun ön konsantrede toplanmasının da artmakta olduğu görülmüştür.

2.2.4.2. Aktararak Dağıtma Deneyleri

Karıştırarak dağıtma deneylerinde beslenen numunenin tane boyutu arttıkça toryum ön konsantresindeki Th-miktari ve tenörü de artmakta idi. Bu noktadan hareketle, daha ekonomik ve daha verimli olacağı düşünüce- siyle bu deneyler yapılmıştır. Aktararak dağıtma deneylerinde 60 cm. çapında, 20 cm. genişliğinde, 30 dev/dak hızla dönen laboratuvar tamburu kullanılmıştır. Tambura orijinal cevher numunesi beslenmiş olup, pülp te katı oranı % 65 olacak şekilde ayarlanmıştır.

Deneyin yapılışı: Tambura yaklaşık 35 Kg. orijinal cevher beslenmiş olup su ilavesiyle pülp te katı oranı % 65 olacak şekilde ayarlandı. Tambur 5 dak. döndürülüp durduruldu. Malzeme 1 mm.lik elekten elendi. Elek üstü tambura tekrar beslendi. Pülp te katı oranı % 65 olacak şekilde su ilave edilip tambur 5 dak. döndürüldü. Bu işlem 6 kez tekrarlandı. (ŞEKİL: 2.5)



ŞEKİL: 2.5

Bu deney sonunda '+ 1 mm.' , '- 1 mm. + 0.053 mm.' ve '- 0.053 mm.' olmak üzere 3 ayrı tane boyutunda ürün elde edilmiştir. Bu ürünlerdeki toryum tenörü ve dağılımı saptanmış olup ÇİZELGE:2.22 da gösterilmiştir.

ÇİZELGE:2.22 Tambura Beslenen Numunenin Deney Sonunda Ürünlerdeki Toryum Tenörü ve Dağılımı

TANE BOYUTU - mm -	MIKTAR %	Th-TENÖRÜ %	Th-DAĞILIMI %
+1.0	32.2	0.19	10.0
-1.0 +0.053	35.4	0.42	24.3
-0.053	32.2	1.24	65.7
TOPLAM	100.0	0.61	100.0

Elde edilen bu ürünlerden, '+ 1mm.'lik elek üstü ürünü ile '- 1 mm. +0.053 mm.' tane boyutundaki ürün elek analizine tabi tutulmuş olup her boyuttaki Th-tenörü ve dağılımı ÇİZELGE:2.23 ve 2.24 de gösterilmiştir.

ÇİZELGE: 2.23 Otuz Dakikalık Tambur Deneyi Sonundaki + 1 mm.lik Malzemedeği Toryum Dağılımı

TANE BOYUTU -mm-	MIKTAR %	\sum MIKTAR %	Th-TENÖRÜ %	Th-DAĞILIMI %
+20.0	32.7	32.7	0.20	34.4
-20.0 + 6.0	26.3	59.0	0.20	27.7
- 6.0 + 4.0	14.7	73.7	0.20	15.5
- 4.0 + 2.0	5.4	79.1	0.20	5.7
- 2.0 + 1.0	20.9	100.0	0.15	16.7
	100.0		0.19	100.0

ÇİZELGE:2.24 -1 mm. +0.053 mm. lik Ürünün Elek Analizi ve Tiryum Tenörü ve Dağılımı

TANE BOYUTU - mm -	MİKTAR %	Σ MİKTAR %	Th-TENÖRÜ %	Th-DAĞILIMI %
-1.0 +0.5	16.0	16.0	0.36	12.9
-0.5 +0.210	27.0	43.0	0.40	24.3
-0.210 +0.105	31.0	74.0	0.43	30.0
-0.105 +0.074	14.0	88.0	0.52	16.3
-0.074 +0.053	12.0	100.0	0.61	16.5
	100.0		0.44	100.0

Ayrıca tamburla aktarma deneyi sonunda elde edilen tüm ürünün tane boyutuna göre sınıflandırılması ve her boyut aralığındaki tiryum tenörü ve dağılımı ÇİZELGE:2.25 de gösterilmiştir.

Deneysel sonunda elde edilen ürünün elek analizi yapılmış olup her boyuttaki tiryum tenör ve dağılımı tesbit edilmiştir. Ayrıca her fraksiyon mikroskop altında incelenmiş, kuvars ve bazı silikatlar gibi sert olan minerallerin iri boyutlarda kaldığı, kırılınan olan barit, fluorit, dolomit, kalsit ve kolay ufalanabilen kıl minerallerinin ise ince taneye geçtiği gözlenmiştir.

ÇİZELGE:2.25 de görüldüğü gibi, deney sonunda iri tanede tiryum tenörü % 0.2 ye düşmüştür, ince tanede ise % 1.24 de kadar yükselmiştir. 0.053 mm. tane boyutu altında % 1.24 tiryum tenörüne ulaşılan ürünlerde tiryum kazanma verimi % 65 civarında olmaktadır. Ayrıca elde edilen bu ürün cevherin ağırlıkca % 32 si kadardır. Ancak bu ürüne % 0.61 tiryum tenörlü '- 0.074 + 0.053 mm.' tane boyutlu ürün ile % 0.52 tiryum tenörlü '- 0.105 + 0.074 mm.' tane boyutlu ürün katılarak % 1.2 Th

ÇİZELGE: 2.25 Orijinal Cevher Numunesi ile Yapılan Aktararak

Dağıtma Deneyi Sonuçları

Ü R Ü N L E R - mm -	MİKTAR %	MİKTAR %	Th-TENÖRÜ %	Th-DAĞILIMI %	Th-DAĞILIMI (elek%) altı
+20.0	10.5	10.5	0.20	3.4	100.0
-20.0 + 6.0	8.5	19.0	0.20	2.8	96.6
- 6.0 + 4.0	4.7	23.7	0.20	1.5	93.8
- 4.0 + 2.0	1.8	25.5	0.20	0.6	92.3
- 2.0 + 1.0	6.7	32.2	0.15	1.6	91.7
- 1.0 + 0.5	5.7	37.9	0.36	3.3	90.1
- 0.5 + 0.210	9.5	47.4	0.40	6.1	86.8
- 0.210 + 0.105	11.0	58.4	0.43	7.6	80.7
- 0.105 + 0.074	5.0	63.4	0.52	4.2	73.1
- 0.074 + 0.053	4.2	67.6	0.61	4.1	68.9
- 0.053	32.4	100.0	1.24	64.8	64.8
	100.0		0.62	100.0	

x

tenörlü bir ön konsantrasyon elde edilebilir. Böylece toryum kazanma verimi % 73.1 e yükselmiş olur. Bu ön konsantrasyonun komple kimyasal analizi ÇİZELGE: 2.26 de gösterilmiştir.

ÇİZELGE: 2.26 Toryum Ön Konsantresinin Komple Kimyasal Analizi

MADDE	%
ThO ₂	1.41
BaO	16.25
CaO	11.16
Al ₂ O ₃	15.56
Fe ₂ O ₃	9.14
MnO ₂	1.63
MgO	1.44
Na ₂ O	2.46
K ₂ O	5.33
SiO ₂	8.60
P ₂ O ₅	1.62
SO ₃	8.70
F	5.27
Nadir Top. Element.	3.94
Kızdırma kaybı	7.42
TOPLAM	99.93

2.3 ASİTLLE ÇÖZÜNDÜRME DENEYLERİ

Toryum tabiatta bulunduğu haliyle endüstride kullanılamamaktadır. Endüstride toryumun belirli saf bileşikleri kullanılmaktadır. (Toryum nitrat, Toryum oksit vb. gibi) Bu nedenledir ki, tabiatta bulunan toryumu önce kimyasal yöntemlerle gözeltiye almak gereklidir, sonra gözeltideki toryum istenilen bileşik halinde çöktürmeye çalışılır. Bu amaç için en çok kullanılan yöntem asitle çözündürme yöntemidir, ve Esküsehir - Beylikahır toryum cəvherine bu yöntemin uygulanması düşülmüştür(61,62,63,64,65,66).

Tamburla aktarma deneylerinin sonunda elde edilen -0.105 mm. tane boyutundaki toryum ön konsantresi ile orijinal toryum cəvheri aynı koşullarda ve ayrı ayrı olmak, asitle çözündürme işlemine tabi tutulmuştur. Amaç, her numunəden aynı koşullar altında toryumun çözmə verimini tesbit edip karşılaştırmak ve fiziksel zenginleştirme sonusu elde edilen toryum ön konsantresinin bir yarar sağlayıp sağlayamadığını belirlemektir.

Cözündürme deneyleri üç ayrı asitle (Sülfürik asit, Nitrik asit ve Hidroklorik asit) yapılmıştır. Her asit için, çözündürme süresinin ve asit miktarının, toryumun çözüme verimine etkileri incelenmiştir. Ayrıca sıcaklık değişimini ve pulp içindeki katı eranının toryum çözüme verimi üzerindeki etkileride araştırılmıştır. Çözündürme deneylerinde 300 gr.lik numuneler kullanılmıştır. Toryum ön konsantresinin tane iriliği -0.105 mm. olduğu için, aynı koşulları sağlamak amacıyla orijinal cəvher numuneside -0.105 mm. ye öğütülmüştür.

Deneyin Yapılışı: -0.105 mm. tane boyutundaki numune, uygun bir beherglass içérisine konarak üzerine, pulp de katı oranı % 50 olacak şekilde, su ilave edilip laboratuvar tipi karıştırıcı ile karıştırılmış ve üzerine yavaş olarak asit ilavesi yapılmıştır. Çözündürme süresi sonunda karıştırma durdurulmuş ve pulp Whatman-42 filtre kağıdından su

trompu kullanılarak süzülmüştür. Katı ayrıca iki defa asitli su ile yıkamıştır. Böylece deney sonunda, bir katı numune ile ana çözelti ve yıkama çözeltisi üzere 2 tane de sıvı numune elde edilmiştir. Her numune içindeki toryum, analiz edilerek saptanmıştır.

Toryum analizleri çözeltiden ve katıdan olmak üzere ayrı ve spektrophotometrik(Topo - Thorin) yönteme yapılarak karşılaştırılmıştır. Türkiye toryum cevherleri üzerinde bu anqliz yöntemi daha önce de denenmiş ve başarılı olduğu 3 ayrı yönteme de kanıtlanmıştır(67, 68, 69).

Deneysel Koşulları:

Numunenin tane boyutu : -0.105 mm,

Kullanılan asitler : H_2SO_4 , HNO_3 ve HCl

Kullanılan asit miktarı : 100 - 800 kg / ton arasında.

Fülpde katı oranı : % 50

Süre : 0 - 4 saat arasında.

Sıcaklık : Oda sıcaklığında.

2.3.1 Sülfürik Asit ile Yapılan Gözündürme Deneyseleri

Hem ucuz, hemde korozyon etkisi çok düşük olduğundan gözündürme işlemlerinde en çok tercih edilen asittir. Deneyselde yoğunluğu 1.84 gr/cm³ olan % 95-98 lik konsantre sülfürik asit kullanılmıştır.

Gözündürme deneyselerinde önce orijinal cevher gözündürme işlemine tabi tutulmuş ve elde edilen nesneler ÇİZELGE 2.27 ŞEKİL: 2.6 ve ÇİZELGE: 2.28 ŞEKİL: 2.7 de gösterilmiştir. Sonra toryum ön konsantresi aynı koşullarda gözündürme işlemine tabi tutulmuş olup sonuçlar ÇİZELGE: 2.31 ŞEKİL: 2.10 ve ÇİZELGE: 2.32 ŞEKİL: 2.11 de verilmiştir.

Deneysel esnasında her iki numunede de (orijinal cevher ve ön konsantre numuneleri) sülfürik asit ilavesi ile sıcaklık, asit miktarına ve ilave edis hızına bağlı olarak, 82 °C ye kadar yükselmiştir. Sonra yavaş yavaş azalarak 20 dakika sonunda tekrar oda sıcaklığına düşmüştür.

Ayrıca sıcaklığın ve pülp yoğunluğunun çözündürme işlemine etkisini incelemek amacıyla deneyler yapılmıştır. Sıcaklık 40°C, 60°C ve 80°C de çözündürme süresince sabit tutularak deneyler yapılmış olup sonuçlar ÇİZELE: 2.29 ve ŞEKİL: 2.8 de gösterilmiştir. Pülp yoğunluğunun etkisini gösteren deneylerin sonuçlarında ÇİZELGE: 2.30 de ve ŞEKİL: 2.9 de verilmiştir.

2.3.1.1 Orijinal Tiryum Cevherini Sülfürik Asit ile Çözündürme

Orijinal tiryum cevherini sülfürik asit ile çözündürme deneyleri daha önce belirtilen koşullar da yapılmıştır. Bu deneylerin sonuçları göstermiştir ki, asit miktarı ve çözündürme süresi arttıkça tiryumun gözeltiye geçme verimi de artmaktadır. Deneyler esnasında çözündürme süresi 8 saatte kadar artırılmıştır. Ancak tiryumun çözünme veriminde bir değişme görülmemiştir. Bu sonuç ŞEKİL: 2.7 de görüldüğü gibi, çözündürme süresine göre, tiryum çözünme verimi eğrisinin üç saat sonunda yataya yakın bir duruma gelmesindende anlaşılmaktadır.

Cevher içerisindeki kalsiyumlu bileşiklerin çözümmesi ve kalsiyum çok ince taneli sülfat (CaSO_4) halinde çökmesi dolayısıyla süzme işlemlerinde güçlükler ortaya çıkmıştır.

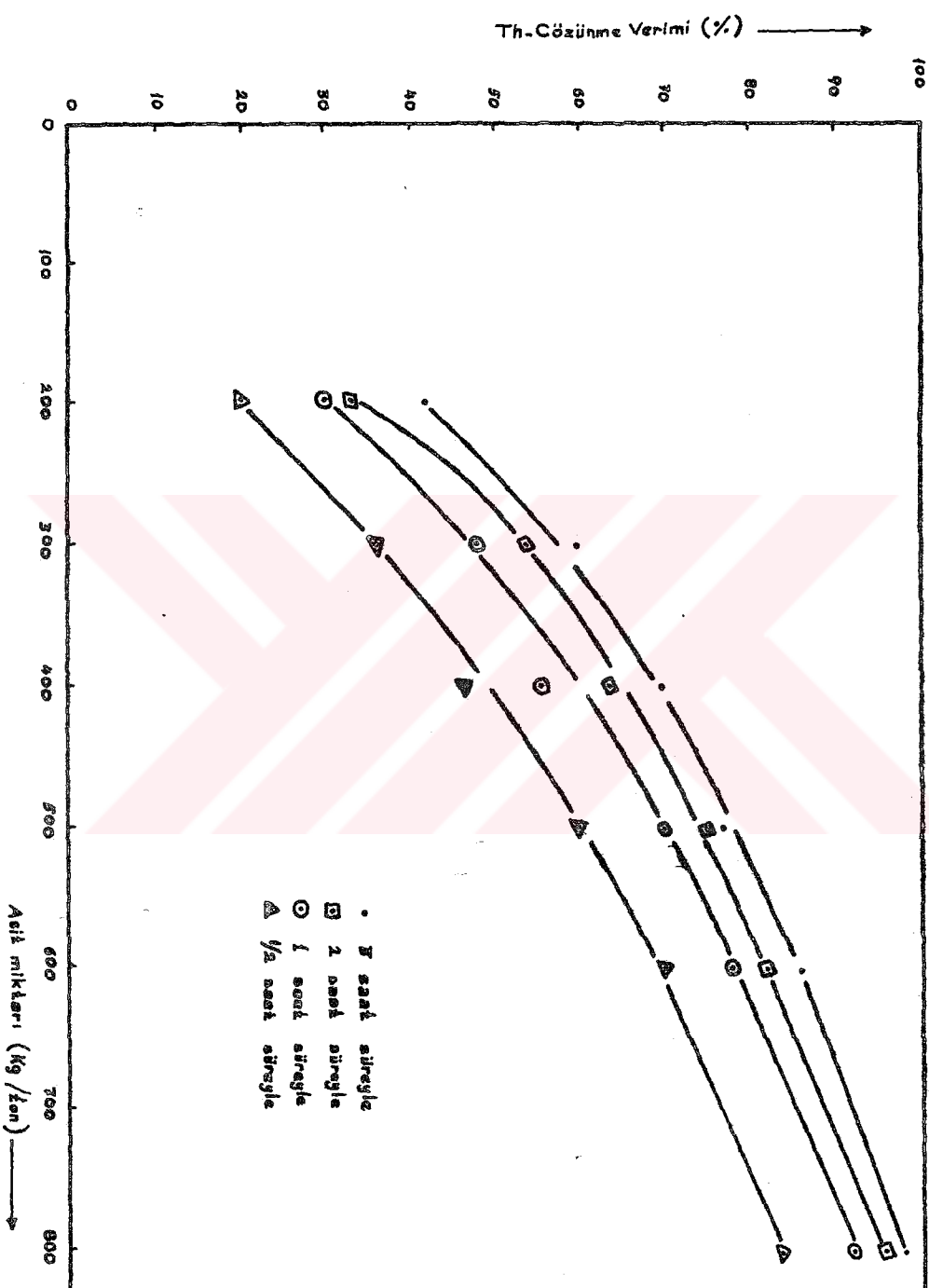
Bu deneylerden sülfürik asit çözündürmesi ile orijinal cevher içerisindeki tiryumun tamamının gözeltiye alınabileceği anlaşılmıştır. Fakat asit sarfiyatı fazla olmaktadır.

2.3.1.1.1 Sıcaklığın Çözündürme İşlemlerine Etkisi

Bu amaçla yapılan deneylerde H_2SO_4 miktarı 600 Kg / ton olarak sabit tutulmuştur. Zaman ve sıcaklık faktörleri değiştirilerek deneyler yapılmıştır. Deneylerde 40°C, 60°C ve 80°C sıcaklıklarını esas alınmış ve tüm deney süresince sabit tutulmaya çalışılmıştır. Sıcaklık, pülpün bulunduğu beheri alttan laboratuvar tipi ocaakla ısıtarak sağlanmıştır.

**ÇİZELGE: 2.27 Orijinal Cevherde, Toryum Cözünme Veriminin
 H_2SO_4 Miktarına Bağlı Olarak Değişimi**

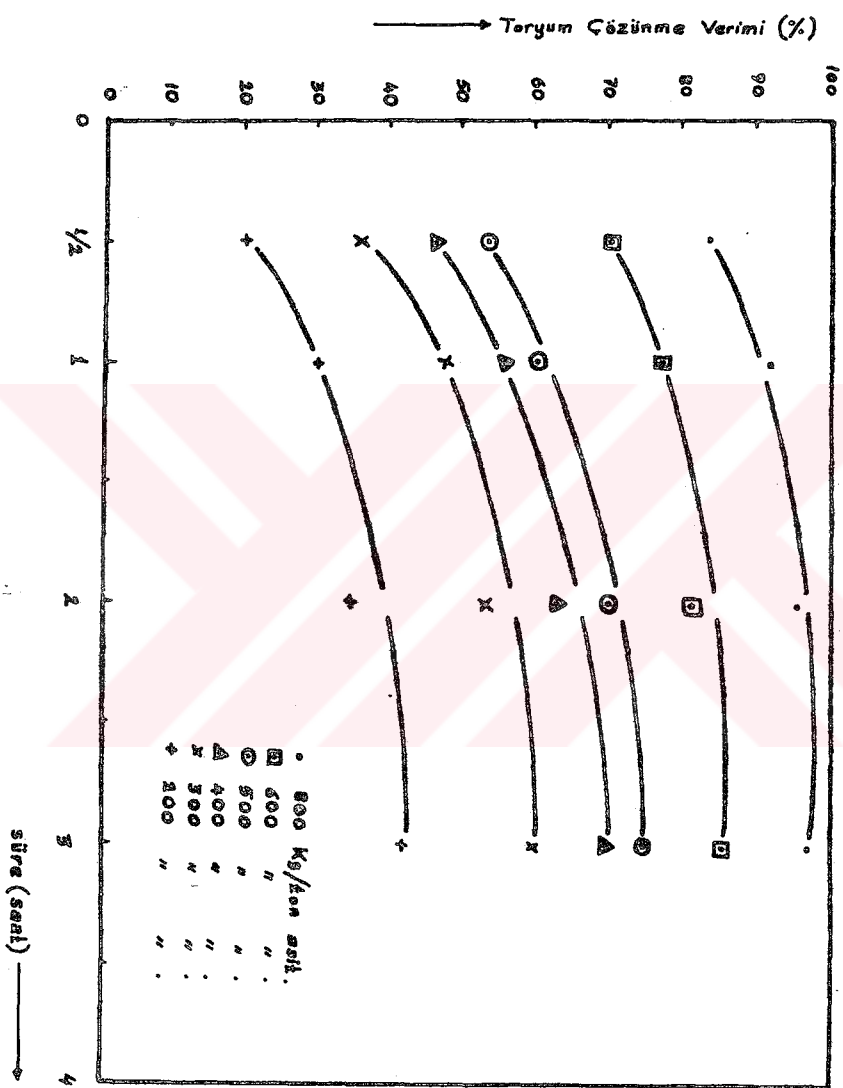
S Ü R E (saat)	ASIT MIKTARI Kg / ton	Ç Ö Z E L T İ		Th-ÇÖZÜNMİ VERİMİ %
		Th(mgr/ml)	pH	
1/2	200	0.96	1.2	20
	300	1.22	0.9	36
	400	1.80	0.7	46
	500	2.06	0.5	56
	600	3.03	0.4	70
	800	3.26	0.2	84
1	200	1.06	1.2	30
	300	1.56	1.0	48
	400	1.85	0.8	56
	500	2.62	0.7	60
	600	2.98	0.6	78
	800	3.76	0.2	92
2	200	1.05	1.2	34
	300	2.00	1.0	54
	400	2.65	0.7	64
	500	3.00	0.6	70
	600	3.26	0.5	82
	800	3.65	0.2	96
3	200	1.76	1.25	42
	300	2.50	0.9	60
	400	2.98	0.6	70
	500	3.10	0.6	75
	600	3.30	0.5	86
	800	3.91	0.4	98



SEKİL: 2.6 Original Çevrede, Tiryak Çözümme Veriminin, Na_2SO_4 miktarına Eşde Oluşuk Dağılımı

ÇİZELGE:2.28 Orijinal Cevheri H_2SO_4 ile Çözündürmede Th-Çözünme Veriminin, Çözündürme Süresine Bağlı Olarak Değişimi

ASIT MIKTARI Kg / ton	SÜRE (saat)	ÇÖZELTİ		Th-ÇÖZÜMME VERİMİ %
		Th(mgr/ml)	pH	
200	1/2	0.96	1.2	20
	1	1.06	1.2	30
	2	1.06	1.2	35
	3	1.76	1.25	42
300	1/2	1.22	0.9	36
	1	1.56	1.0	48
	2	2.00	1.0	54
	3	2.50	0.9	60
400	1/2	1.80	0.7	46
	1	1.85	0.7	56
	2	2.65	0.8	64
	3	2.98	0.8	70
500	1/2	2.06	0.5	54
	1	2.62	0.6	60
	2	3.00	0.6	70
	3	3.10	0.7	75
600	1/2	3.03	0.4	70
	1	2.98	0.5	78
	2	3.26	0.5	82
	3	3.30	0.5	86
800	1/2	3.26	0.2	84
	1	3.76	0.2	92
	2	3.65	0.2	96
	3	3.91	0.4	98



SEKİL: 2.7 Orijinal Çevrede, Teryum Çözünme Veriminin, Çözünme Süresine Bayılı Olarak Değişimi.

Pülp içerisinde bulunan termometreden sıcaklık sürekli takip edilmiştir. Bu deneylerde asit ilavesiyle sıcaklık 82 °C ye kadar çıktıından ve ilk 20 dakika içinde tekrar oda sıcaklığına düştüğünden deneyler 1, 2 ve 3 saat süreyle yapılmıştır. Deney sonuçları ÇİZELGE:2.29 ve ŞEKL: 2.8 de gösterilmiştir.

ÇİZELGE: 2.29 Sülfürik Asit ile Çözündürmede, Tiryum Çözünme Veriminin Sıcaklığı Bağlı Olarak Değişimi

SÜRE (saat)	SICAKLIK °C	Ç Ö Z E L T İ		TH-ÇÖZÜNME VERİMİ %
		Th(mgr/ml)	pH	
1	40	2.52	0.7	80
	60	2.60	0.7	82
	80	2.58	0.7	82
2	40	2.64	0.8	82
	60	2.60	0.8	84
	80	2.64	0.9	83
3	40	2.68	0.8	86
	60	2.66	0.8	88
	80	2.64	0.9	88

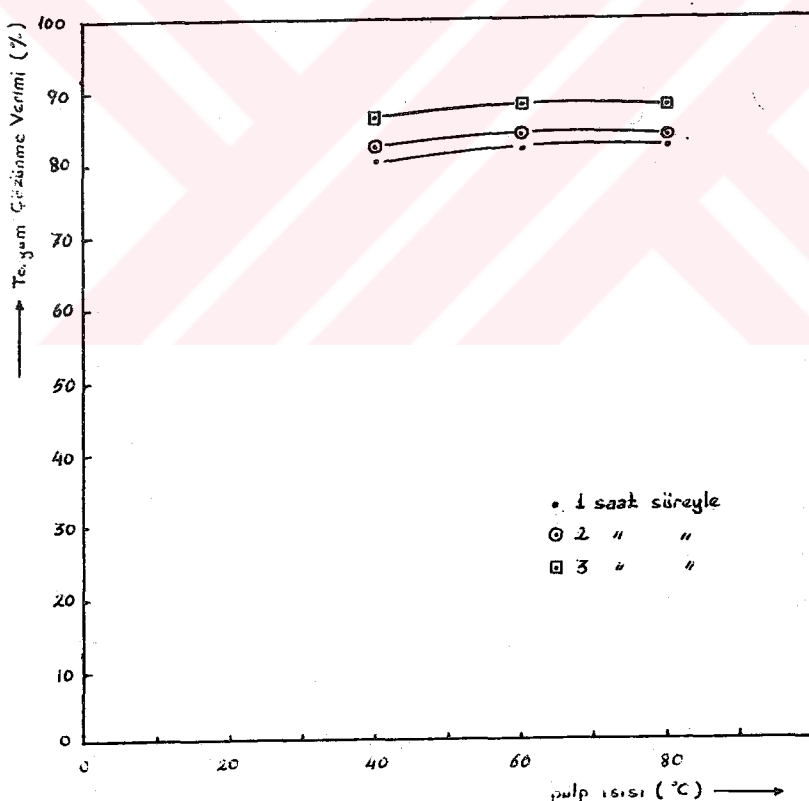
Pülp ısıtılarak yapılan deneyler sonunda sıcaklığın, Th-çözünme verimini etkilemediği ortaya çıkmıştır. Ayrıca sıcaklık dolayısıyla numune içerisindeki kıl mineralleri çözünmeye başlamıştır. Böylece oluşan silika jel (38) süzme işlemlerinde büyük zorluklar meydana getirmiştir. Ayrıca ileri kademelerde de çeşitli güçlüklere neden olacaktır.



Tiryum ön konsantreside aynı koşullarda (aynı sıcaklık ve asit miktarı ile) çözündürmeye tabi tutulmuştur. Tiryum çözünme veriminde

hiçbir değişiklik olmamıştır. Ancak karıştırma ve süzme işlemleri büyük zorluklar arzetmiştir.

Belli bir sıcaklıkta çözündürme işleminin büyük masraflara neden olacağı bilindiğinden, önemli bir verim artışı sağlanamadığı deneylerle tesbit edildiğinden ve süzme güçlüğü, ileri kademelerdeki ekstraksiyon zorlukları gibi olumsuz etkileride olduğundan sıcakta çözündürme işleminin yapılmamasının uygun olacağı düşünülmüştür.



SEKİL:2.8 Çözündürme İşlemlerinde Pulp İsisinin Tiryum Gözünme Verimine Etkisi

2.3.1.1.2 Pülpde Katı Oranının Çözündürme İşlemine Etkisi

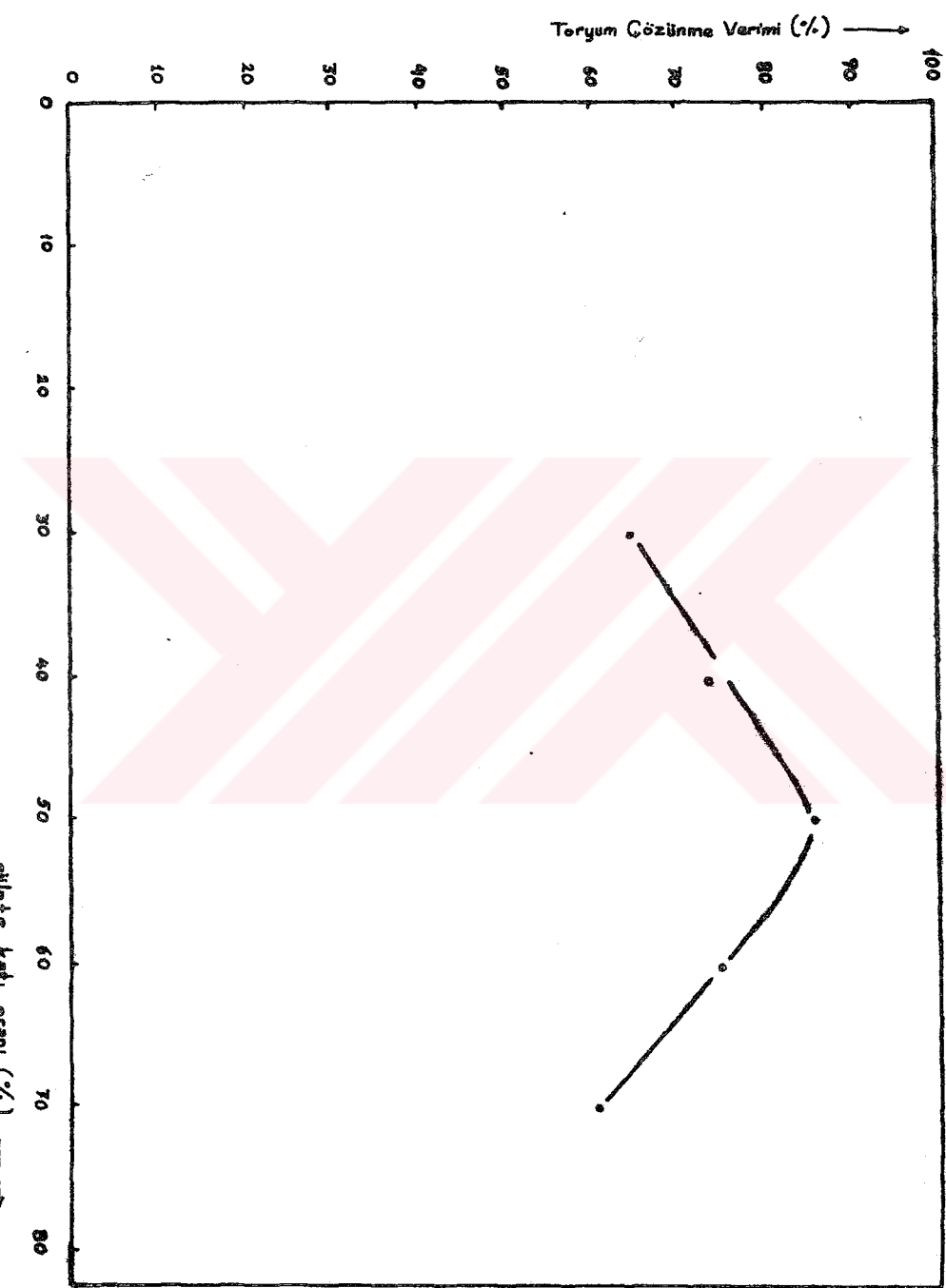
Bu amaçla yapılan deneylerde H_2SO_4 miktarı 600 Kg/ton ve çözündürme süresi 3 saat olarak sabit tutulmuştur. Deneyler oda sıcaklığında yapılmıştır. Deneylerde pülpde katı oranı % 30,40,50,60 ve 70 olacak şekilde seçilmiştir. Sonuçlar ÇİZELGE:2.30 ve ŞEKİL:2.9 de gösterilmiştir.

ÇİZELGE:2.30 Sülfürik Asit ile Çözündürmede, Th-Çözünme Veriminin
Pülpde Katı Oranına Bağlı Olarak Değişimi

SÜRE (saat)	PÜLPTE KATI ORANI %	Ç Ö Z E L T İ		Th-ÇÖZÜNME VERİMİ %
		Th(mgr/ml)	pH	
3	30	2.18	0.9	65
	40	2.30	0.8	74
	50	3.30	0.5	86
	60	4.40	0.2	75
	70	6.20	0.1	61

Pülpdeki katı oranının, toryum çözünme verimi üzerinde oldukça etkili olduğu deneyler sonunda anlaşılmış olup, pülpdeki katı oranının % 50 olması ile maksimum verim alındığı gözlenmiştir. Bu oran azalınca (% 30 - 40 katı) asit konsantrasyonu da azaldığından toryum çözünme veriminde bir azalma görülmüştür. Oran fazlalaşınca (% 60 - 70 katı) karıştırma ve süzmede önlenmesi imkansız gibi görülen güçlükler ortaya çıkmıştır.

Ayrıca, Çözünme bir diffüzyon olayıdır. Ortamın viskositesi arttıkça diffüzyon hızı azalır(38). Dolayısıyla çözünmede azalacaktır. ÇİZELGE:2.30'da görüldüğü gibi pülpdeki katı oranı fazlalaştıkça Th-çözünme veriminde azalmaktadır. Bu deneyler sonunda en yüksek Th-çözünme veriminin pülpde katı oranı % 50 olduğu zaman elde edildiği anlaşıldığından tüm deneylerde bu oran % 50 olacak şekilde sabit tutulmuştur.



SEKİL: 2.9 Torhum Gözünme Varımının Pilpelik Koli Oranına Bağlı Olarak Değişimi.

2.3.1.2 Tiryum Ön Konsantresini Sulfürik Asit ile Çözündürme

Tamburla aktarma deneyinin sonunda elde edilen tiryum ön konsantresinin sulfürik asit ile çözündürme deneyleri sonunda, numune içерisindeki tiryumun hemen hepsinin çözeltiye alınabileceği görülmüştür. Sonuçlar ÇİZELGE:2.31 ,2.32 ve ŞEKİL:2.10 ,2.11 da gösterilmiştir.

ÇİZELGE:2.31 Tiryum Ön Konsantresinde, Th-Çözümme Veriminin H_2SO_4 miktarına Bağlı Olarak Değişimi

ASIT MIKTARI (Kg/ton)	SÜRE (saat)	ÇÖZÜMLÜ		Th-ÇÖZÜMME VERİMİ %
		Th(mgr/ml)	pH	
100	1/2	2.46	1.2	38
200	1/2	2.80	0.9	50
300	1/2	2.96	0.7	54
400	1/2	3.48	0.6	60
500	1/2	4.80	0.5	70
600	1/2	7.70	0.3	99
800	1/2	7.72	0.1	99

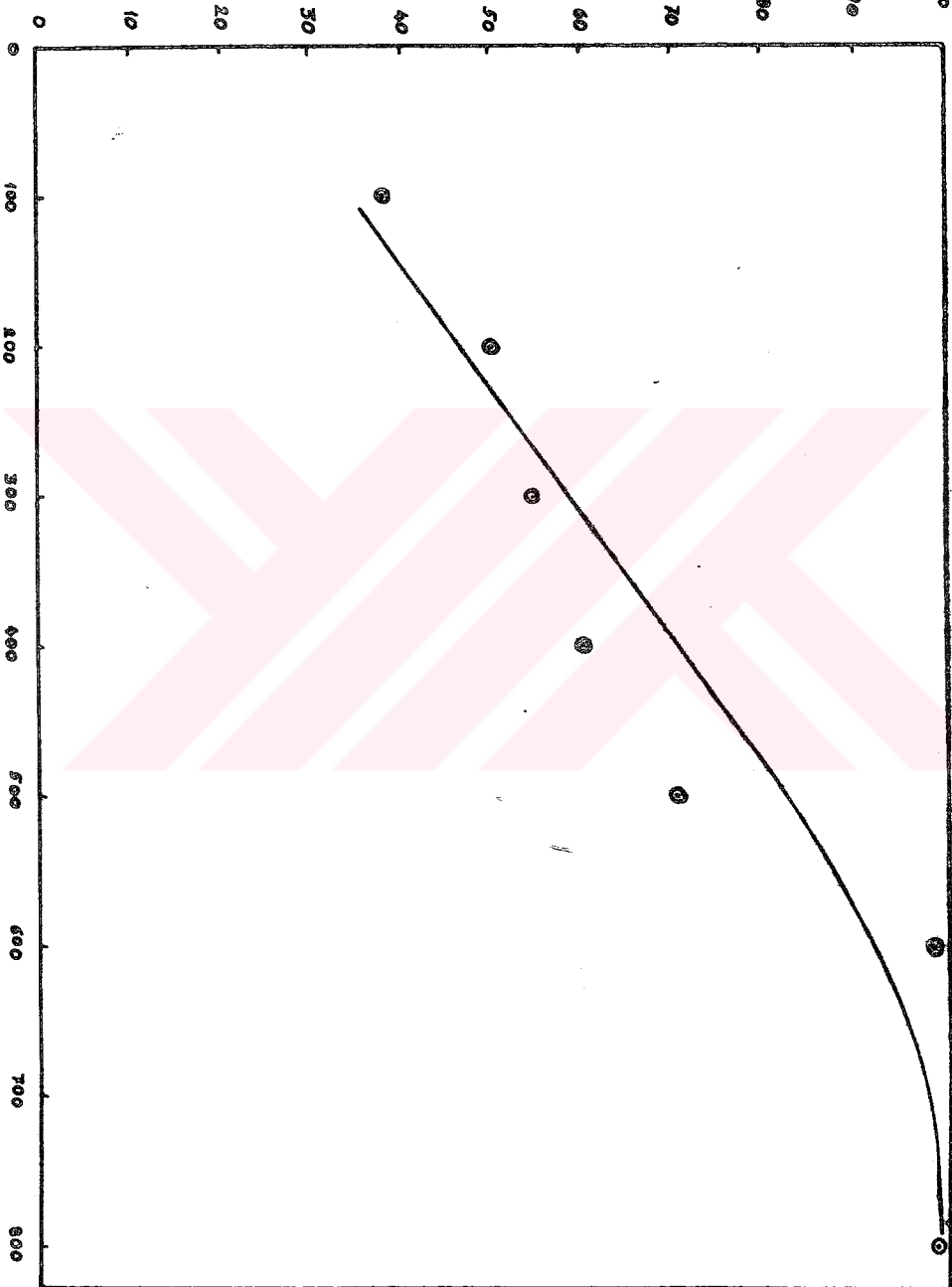
Deneyselde asit ilavesi esnasında pülp ısısı asit miktarına ve veriş hızına bağlı olarak 82 °C ye kadar çıkmakta ve ilk 20 dakika sonunda yine oda sıcaklığına düşmektedir. Bu ısı tamamen reaksiyon ısısı olup kimyasal reaksiyonlar sırasında ortaya çıkmaktadır. Ayrıca sıcaklığın çözündürme işlemeye etkileri daha önce incelemiştir.

Ön konsantrenin, sulfürik asit ile çözündürülmesinde en uygun süre yarım saat olmaktadır. Süre arttıkça çözeltiye geçmiş olan tiryum çökelmektedir. Bütün deneysel dikkate alınırsa görünür ki, tiryumun çözeltiye geçme verimi yarım saatte maksimuma ulaşmaktadır. Yarım saatten sonra ise tiryum çökelmesi başlamakta ve bir saatin sonunda tiryumun çözeltiye geçme verimi tüm deneyselde % 32 ye düşmektedir. (ŞEKİL:2.11) Burada çözeltiye geçen tiryumu yeniden göktüren elemanın 'FLOR' olması muhtemeldir.

7,9

Th-Çözünme Verimi (%) →

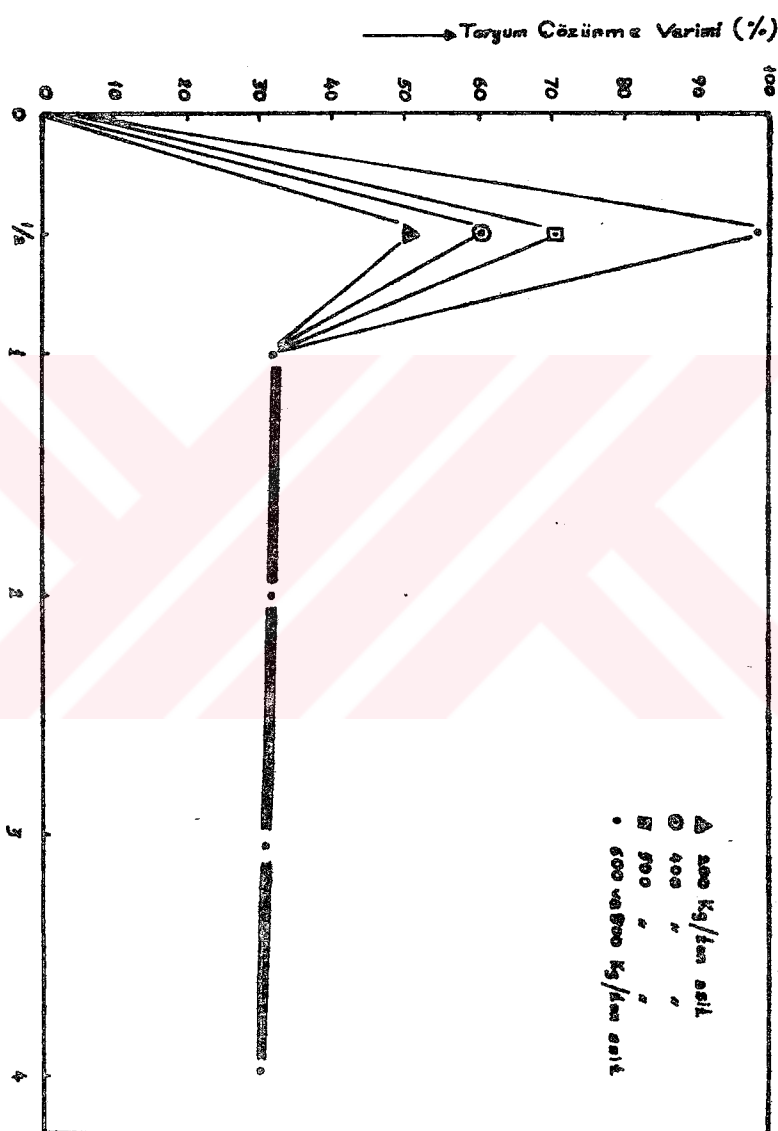
100



SEKİL : 2.10 Tuncum Ün Konsantrasyonunda Torum Çökeltme Veriminin H_2SO_4 miktarına Bağlı Olarak Değişimi.

ÇİZELGE:2.32 Toryum Ön Konsantresini H_2SO_4 ile Çözündürmede,Toryum Çözünme Veriminin,Çözündürme Süresine Bağlı Olarak Değişimi

ASIT MIKTARI Kg/Ton	S Ü R E (saat)	Ç Ö Z E L T İ		Th-ÇÖZÜNME VERİMİ %
		Th(mgr/ml)	pH	
200	1/2	2.80	0.8	50
	1	1.78	0.8	32
	1.5	1.84	0.9	32
	2	1.80	0.9	32
	2.5	1.92	0.9	32
	3	1.86	0.9	32
	4	1.82	1.0	20
400	1/2	3.48	0.6	60
	1	1.84	0.6	32
	1.5	1.90	0.6	32
	2.0	1.79	0.6	32
	2.5	1.88	0.6	32
	3	1.90	0.6	25
	4	1.82	0.6	20
500	1/2	4.80	0.5	70
	1	1.82	0.5	32
	1.5	1.92	0.6	32
	2	1.96	0.6	31
	2.5	1.82	0.6	31
	3	1.84	0.6	25
	4	1.82	0.6	20
600	1/2	7.70	0.3	99
	1	1.86	0.3	33
	1.5	1.78	0.3	31
	2	1.88	0.3	31
	2.5	1.92	0.4	32
	3	1.86	0.4	27
	4	1.90	0.4	22
800	1/2	7.72	0.1	99
	1	1.92	0.1	34
	1.5	1.86	0.1	32
	2	1.92	0.1	31
	2.5	1.84	0.2	32
	3	1.86	0.2	26
	4	1.84	0.2	21



ŞEKLİ : 2.4 Tergum Ün Mıcaatlımasını, M_2O_5 ile ölçütlerinde, Th -Cözümme Variansı, Cıstırma Süratine Bağlı Olarak Değerlendi.

Ön konsantrasyonunda bulunan fluoritin (CaF_2) çözünmeye başlamasıyla çözeltiye geçen flor, derhal çözelti içinde bulunan toryum iyonuyla birleşik yaparak toryum tetra florür (ThF_4) halinde çökelmektedir. Toryum tetra florür, çözünürlüğü çok düşük olan bir toryum bileşiği olduğundan (11) çözündürme süresi artsada çözünmemektedir. Bu nedenledirki, toryumun çözeltiye geçme verimi yarı saatte maksimuma ulaşmakta, bir saat sonunda ise minimuma düşmektedir.

Orijinal cevherin çözündürme işleminde ise çökelme olayı meydana gelmemektedir. Çünkü orijinal cevher içerişinde serbest olarak SiO_2 (kuvars) bol miktarda bulunmaktadır. Ön konsantrasyonunda ise serbest SiO_2 çok azalmıştır. Fluoritin çözünmeye başlamasıyla çözeltiye geçen fluorürü orijinal cevherde ilk olarak serbest halde bulunan SiO_2 ye gider (70,71) ve reaksiyona girerek silikat asiti jelî meydana getirir (72).



Silis miktarı fazla olduğundan çözeltideki tüm fluorür iyonları SiO_2 tarafından harcanır. Böylece toryumu çökeltecek fluorür iyonu ortamda bulunamadığından toryum çökelmesi olmamaktadır.

2.3.2 Nitrik Asit ile Yapılan Çözündürme Deneyleri

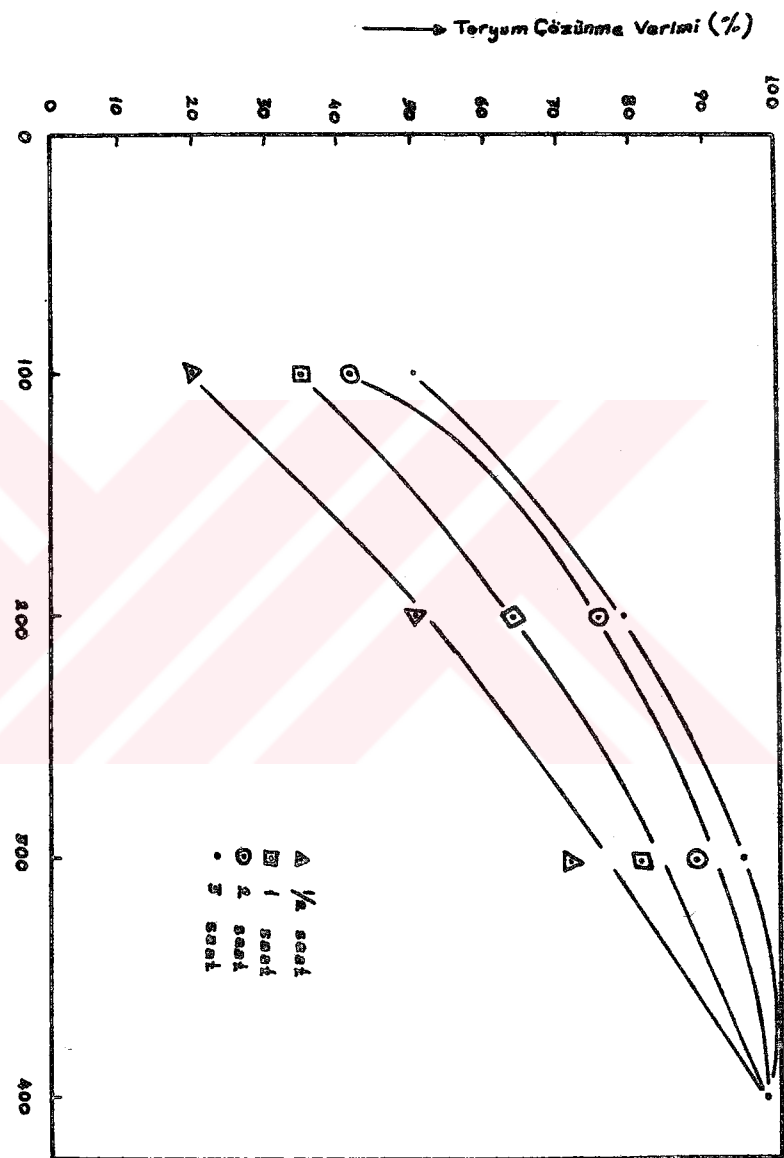
Başlangıçta belirtilen koşullarda, yoğunluğu 1.40 gr./cm^3 olan % 65 lik Nitrik asit ile çözündürme deneyleri yapılmıştır. Çözündürme deneylerinde, önce orijinal cevher çözündürme işlemine tabi tutulmuş ve elde edilen sonuçlar ÇİZELGE: 2.33 ve 2.34 ile ŞEKİL: 2.12 ve 2.13 de gösterilmiştir. Daha sonra toryum ön konsantresi de aynı koşullarda çözündürme işlemine tabi tutulmuş olup sonuçlar ÇİZELGE: 2.35 ve 2.36 ile ŞEKİL: 2.14, 2.15 de gösterilmiştir.

2.3.2.1 Orijinal Tiryum Cevherini Nitrik Asit ile Çözündürme

Diffüzyon katsayısı H_2SO_4 ten daha yüksek olan HNO_3 ile çözündürmeye tabi tutulan tiryum cevherinden tiryum çözeltisiye % 99 luk bir verimle alınabilmistir.

GİZELGE: 2.33 Orijinal Cevherde, Tiryum Çözünme Veriminin, HNO_3 Miktarına Bağlı Olarak Değişimi

S Ü R E (saat)	ASIT MİKTARI (Kg/ton)	Ç Ö Z E L T I		Th-ÇÖZÜNMЕ VERİMİ %
		Th(mgr/ml)	pH	
1/2	100	1.00	1.0	20
	200	1.87	0.7	50
	300	2.20	0.4	70
	400	3.35	0.1	99
1	100	1.28	1.1	35
	200	2.12	0.9	64
	300	2.70	0.5	80
	400	3.40	0.2	99
2	100	1.45	1.0	42
	200	2.60	0.8	75
	300	3.10	0.5	89
	400	3.35	0.2	99
	100	1.82	1.1	50
	200	2.80	0.8	79
	300	3.30	0.5	95
	400	3.40	0.2	99

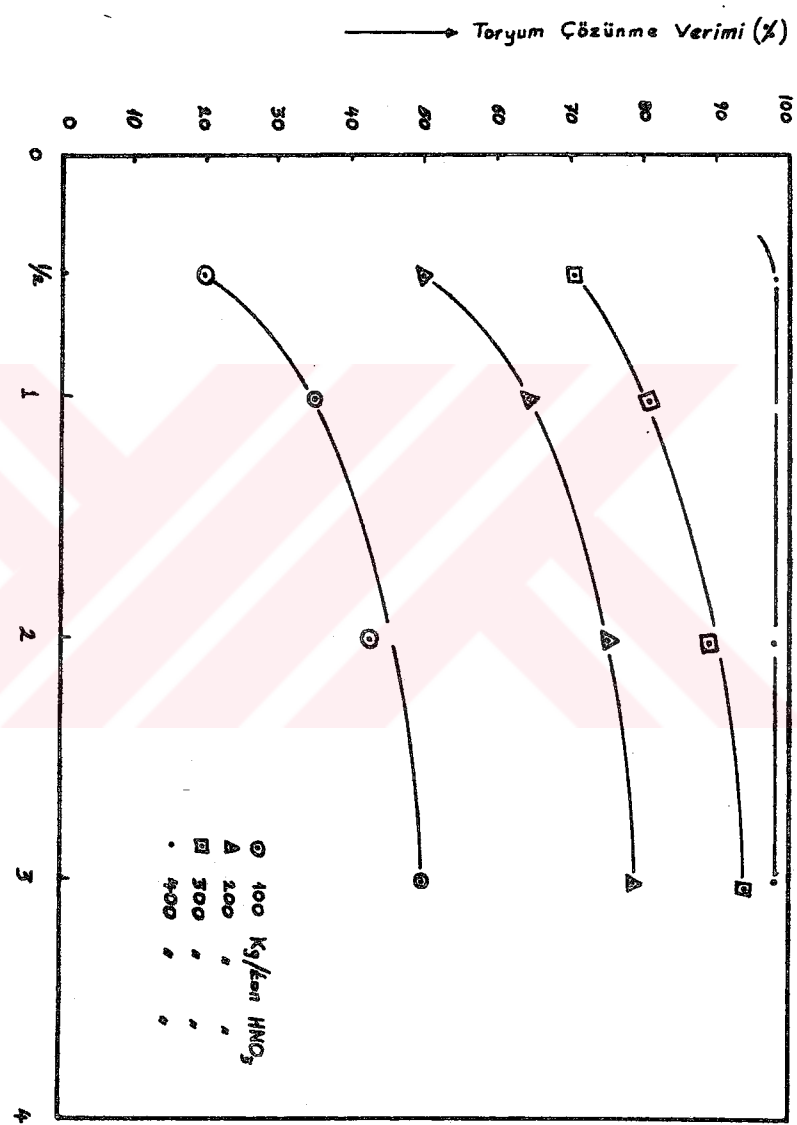


SEKİL : 2.12 Orijinal Çavurda, Tb-Cözüme Veriminin, HNO_3 miktarına Bağlı Olarak Değişimi.

ÇİZELGE: 2.34 Orijinal Cevheri HNO_3 ile Çözündürmede, Th-Çözünme Veriminin, Çözündürme Süresine Bağlı Olarak Değişimi

ASIT MIKTARI (Kg/ton)	S Ü R E (saat)	Ç Ö Z E L T İ		Th-ÇÖZÜMME VERİMİ %
		Th(mgr/ml)	P ^H	
200	1/2	1.00	1.0	20
	1	1.28	1.1	35
	2	1.45	1.1	42
	3	1.82	1.1	50
200	1/2	1.87	0.7	50
	1	2.12	0.9	64
	2	2.60	0.9	75
	3	2.80	0.9	79
300	1/2	2.20	0.4	70
	1	2.70	0.5	80
	2	3.10	0.5	89
	3	3.30	0.6	95
400	1/2	3.35	0.1	99
	1	3.40	0.2	99
	2	3.35	0.2	99
	3	3.40	0.2	99

Yapılan deneyler sonunda görülmüştür ki, nitrik asit (HNO_3) orijinal cevherde, sülfürik asite nazaran daha etkili olmuş, yaklaşık 300 Kg/ton Nitrik asit kullanıldığından iki saat çözündürme süresi sonunda toryumun çözeltiye geçiş verimi % 90'a ulaşmıştır. Çözündürme süresini biraz daha artırınca bu verimin % 90 ni aştığı görülmüştür. Asit miktarı artırınca (400 Kg. HNO_3 / ton) yarı saat gibi kısa bir sürede sonunda toryumun tamamı çözeltiye geçmektedir.



SEKİL: 2.13 Orijinal Çevrede Th -Çözümlere Verimin, Çözümlere Şekse Bağlı Olarak Değimin.

2.3.2.2 Tiryum Ön Konsantresini Nitrik Asit ile Çözündürme

Nitrik asit ile çözündürmeye tabi tutulan tiryum ön konsantrisinin deney sonuçları ÇİZELGE:2.35,2.36 ile ŞEKİL:2.14,2.15 de gösterilmiştir.

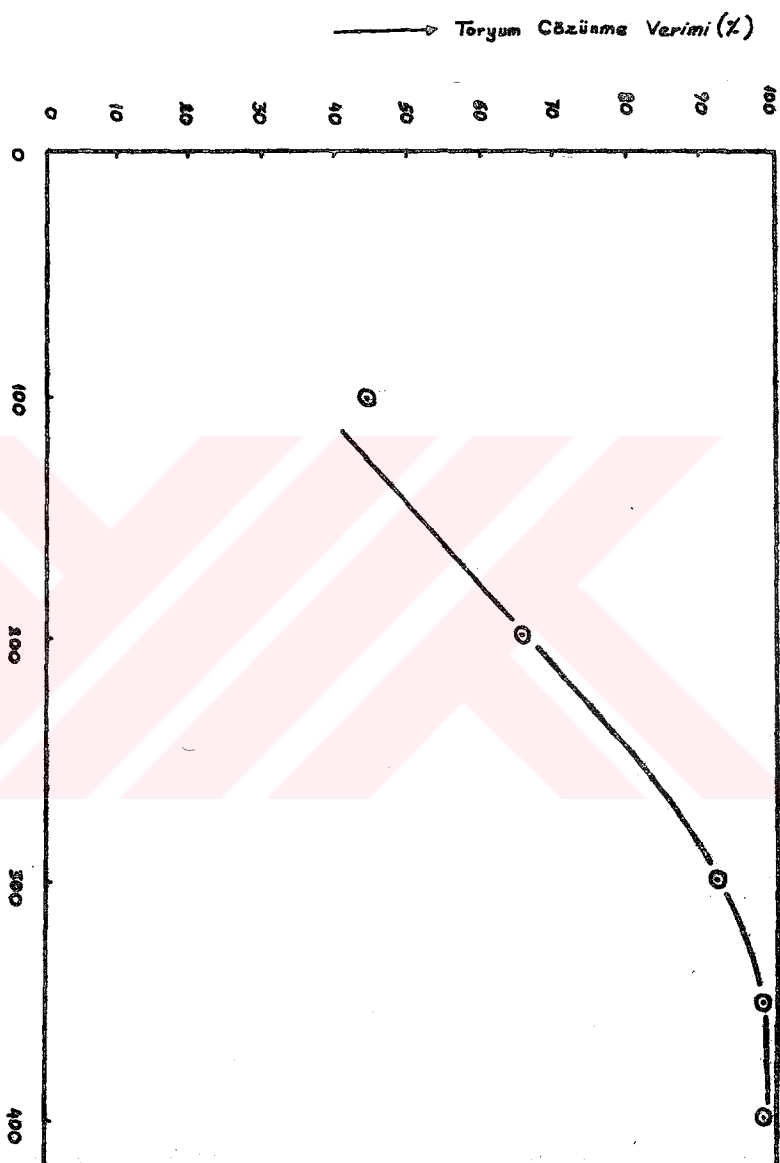
ÇİZELGE:2.35 Tiryum Ön Konsantresinde, Tiryum Gözünme Veriminin, HNO_3 Miktarına Bağlı Olarak Değişimi

ASIT MIKTARI (Kg/tom)	SÜRE (saat)	ÇÖZELTE		Th-ÇÖZÜMME VERİMİ %
		Th(mgr/ml)	pH	
100	1/2	2.12	0.7	45
200	1/2	3.92	0.6	66
300	1/2	5.10	0.3	92
350	1/2	5.94	0.2	99
400	1/2	5.88	0.1	99

Bu deneyler sonunda yarım saatlik çözündürme süresinde tiryumun hemen hepsinin çözeltiye alınabileceği görülmüştür. Ancak bu çözündürme süresini aştığımız takdirde tiryum çökelmeye başlamakta ve tiryum çözünme verimi bir saat sonunda % 32 ye kadar düşmektedir. Daha öncede izah edildiği gibifluoritin çözümlesiyle çözeltiye geçen fluorüriyonu derhal tiryum ile reaksiyona girerek teryum tetra fluorür(ThF_4) halinde çökmektedir. Bu çökelme olayı serbest SiO_2 içeren orijinal cevherin çözündürülmesinde olmamaktadır.

Tiryum ön konsantresini çözündürme deneylerinde 300 Kg Nitrik Asit /ton kullanıldığında tiryum çözünme verimi yarım saatte % 90 ni aşmaktadır. Orijinal cevherde ise aynı miktar asitle aynı verimi elde etmek için 3 saatlik bir süre gerekmektedir.

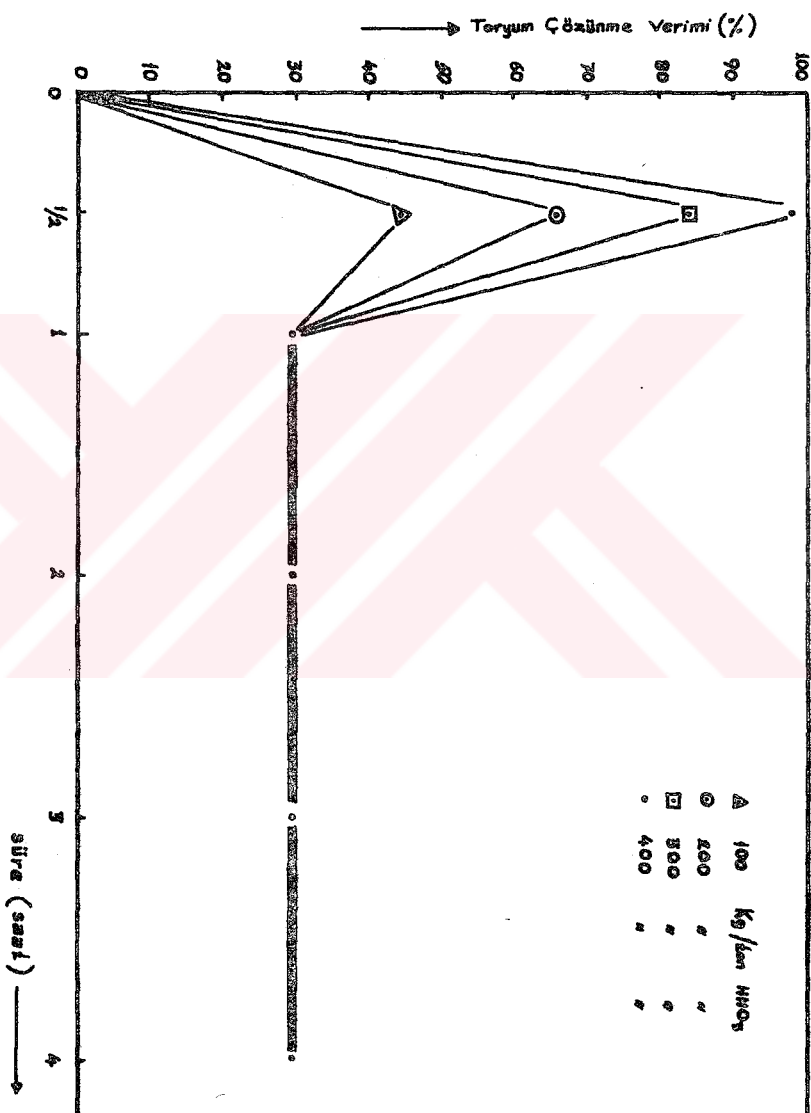
Cözündürme deneylerinde, nitrik asit, diffüzyon katsayısı daha yüksek olduğundan ve nitratlı çözeltilerde, sülfatlı çözeltiler-



SEKİL : 2.14 Tiryum Ön Konsentrasyonunda, Tiryum Cezüme Veriminin, HNO_3 miktarına Bağlı Olarak Değişimi.

ÇİZELGE: 2.36 Toryum Ön Konsantresini HNO_3 ile Çözündürmede, Toryum Çözünme Veriminin, Çözündürme Süresine Bağlı Olarak Değişimi

ASIT MIKTARI (Kg/ton)	SÜRE (saat)	ÇÖZELTİ		TH-ÇÖZÜMME VERİMİ %
		TH(mgr/ml)	pH	
100	1/2	2.12	0.7	45
	1	2.02	0.7	30
	2	2.00	0.7	30
	3	1.98	0.8	31
	4	1.98	0.8	28
200	1/2	3.92	0.6	66
	1	2.02	0.6	31
	2	1.94	0.7	32
	3	1.98	0.8	31
	4	1.96	0.8	30
300	1/2	5.10	0.3	92
	1	2.00	0.3	31
	2	1.98	0.3	31
	3	2.04	0.4	31
	4	1.98	0.4	30
350	1/2	5.94	0.2	99
	1	1.99	0.2	32
	2	2.04	0.2	32
	3	2.00	0.3	31
	4	1.98	0.3	30
400	1/2	5.88	0.1	99
	1	2.04	0.1	32
	2	1.98	0.1	32
	3	2.00	0.1	32
	4	2.00	0.1	30



SEKİL: 2.15 Teryum Ön Konsernasını, HNO₃ ile Çözündürmede, Th-Cözüne Veriminin, Çözürme Süresine Bağlı, Ölçerk Degrımlı.
Sözresine Bağlı, Ölçerk Degrımlı.

de görülen çökmeler (CaSO_4 gibi) olmadığından (73,74) sülfürik asitten daha etkili olmuştur. Ayrıca süzme ve karıştırma işlemlerinde de güçlükler olmamıştır.

2.3.3 Hidroklorik Asit ile Yapılan Çözündürme Deneyleri

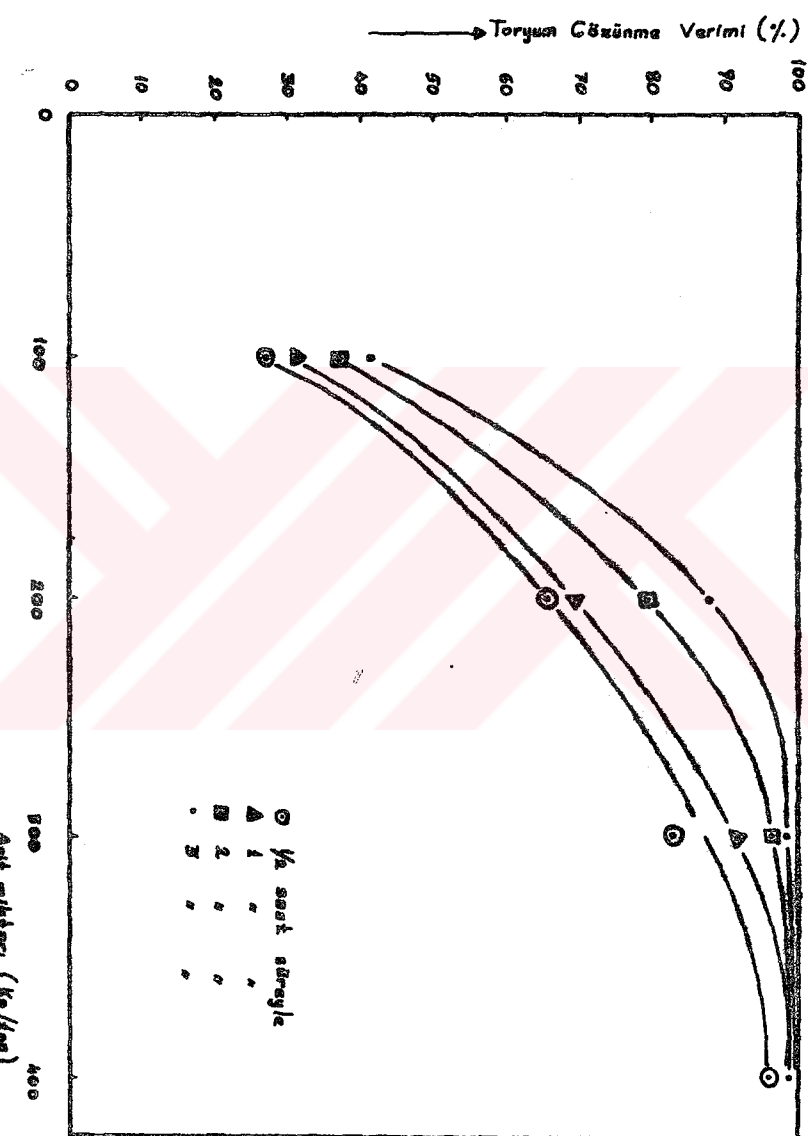
Diffüzyon katsayısı diğer iki asitten daha yüksek olan hidroklorik asit ile de çözündürme deneyleri yapılmıştır. Kullanılan asit, yoğunluğu 1.19 gr/cm^3 olan % 37 lik konsantre Hidroklorik asittir. Çözündürme deneylerinde önce orijinal cevher çözündürme işlemine tabi tutulmuş olup elde edilen sonuçlar ÇİZELGE:237,2.38 ile ŞEKİL:2.36 ve 2.17'de gösterilmiştir. Sonra toryum öm konsantresi aynı koşullarda çözündürmeye tabi tutulmuş ve sonuçlar ÇİZELGE:239 ve 2.40 ile ŞEKİL: 2.18,2.19'da verilmiştir.

2.3.3.1 Orijinal Toryum Cevherini Hidroklorik Asit ile Çözündürme

Orijinal cevherin HCl ile çözündürülmesi deneylerinin sonuçları bu cevher için en etkili asitim HCl olabileceğini göstermektedir. Deneylerde 200 Kg / ton hidroklorik asit kullanıldığından, çözündürme süresi iki saatin sonunda, toryum çözünme verimi % 80 'e, bu süre üç saatte çıktıığında ise verim % 90 'a ulaşmaktadır. Çözündürme süresi deneyler sırasında daha da arttırlıms ancak verimde kayda değer bir artış olmamıştır. Asit miktarı arttığında ise toryumun çözeltiye geçme verimi artmıştır. Klorürülüortamlarda gökelme olmadığından (74) karıştırma ve süzmede hiçbir zorlukla karşılaşılmamıştır.

ÇİZELGE: 2.37 Orijinal Cevherde, Tiryum Çözünme Veriminin, HCl Miktarına Bağlı Olarak Değişimi

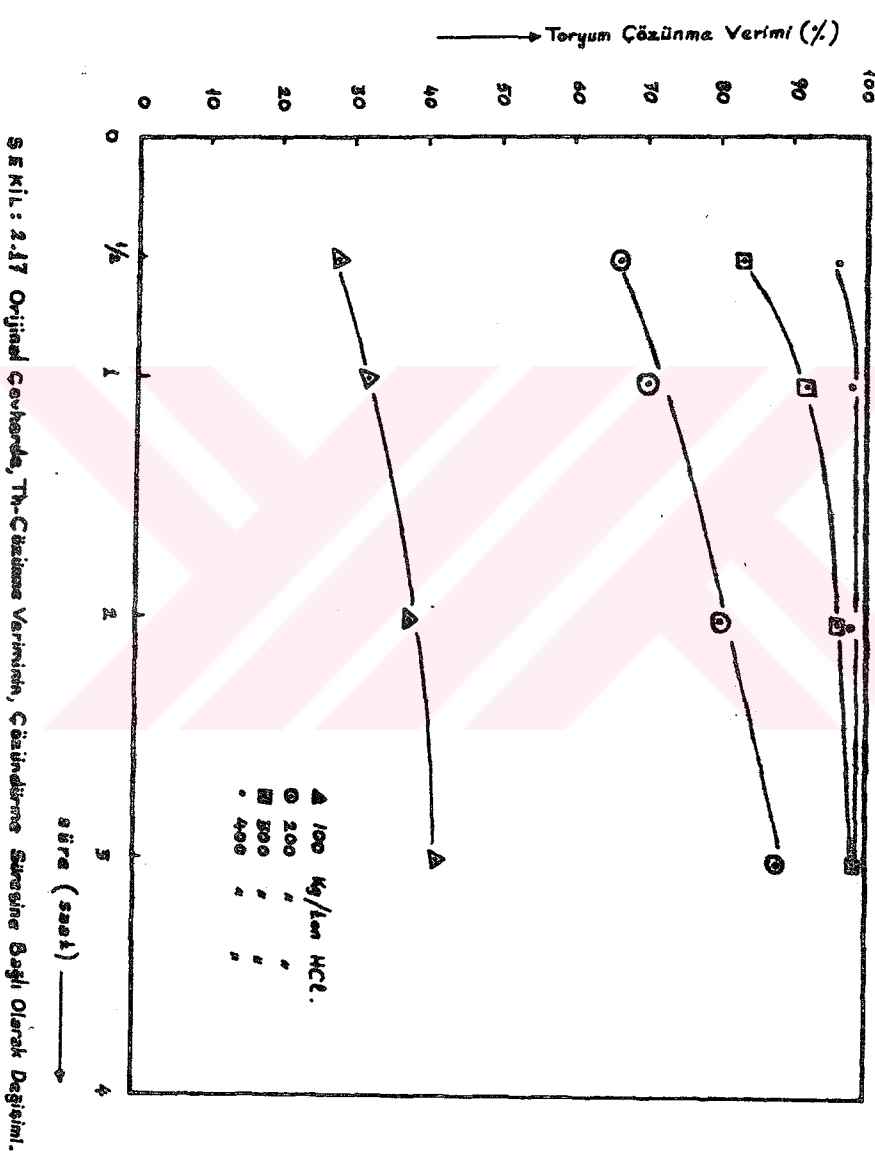
S Ü R E (saat)	ASIT MIKTARI (Kg/ton)	Ç Ö Z E L T İ		Th-ÇÖZÜMME VERİMİ %
		Th(mgr/ml)	pH	
1/2	100	1.08	0.35	28
	200	2.70	0.1	66
	300	3.10	0.0	83
	400	3.40	0.0	96
1	100	1.20	0.7	32
	200	2.82	0.1	70
	300	3.20	0.0	92
	400	3.40	0.0	99
2	100	1.40	0.7	38
	200	2.92	0.2	80
	300	3.40	0.0	96
	400	3.52	0.0	99
3	100	1.54	0.7	42
	200	3.10	0.2	88
	300	3.50	0.0	99
	400	3.50	0.0	99



SEKIL: 2.16 Orjinal Çevrede, Th-Cürcümme Variationi, HCl Miktari Eşle Olanak Dalgıçını.

ÇİZELGE:238 Orijinal Çevheri,HCl ile Çözündürmede,Toryum Çözünme Veriminin, Çözündürme Süresine Bağlı Olarak Değişimi

ASIT MIKTARI (Kg/ton)	SÜRE (saat)	ÇÖZELTİ		Th-ÇÖZÜMME VERİMİ %
		Th(mgr/ml)	pH	
100	1/2	1.08	0.35	28
	1	1.2	0.7	32
	2	1.40	0.7	38
	3	1.58	0.7	42
200	1/2	2.70	0.1	66
	1	2.82	0.1	70
	2	2.93	0.2	80
	3	3.10	0.2	88
300	1/2	3.10	0.0	83
	1	3.20	0.0	92
	2	3.40	0.0	96
	3	3.50	0.0	99
400	1/2	3.40	0.0	96
	1	3.40	0.0	99
	2	3.52	0.0	99
	3	3.50	0.0	99



SEKİL : 2.17 Orijinal Çevrede, Th-Citritin Verimini, Çözündürme Süresine Bağlı Olarak Değişim.

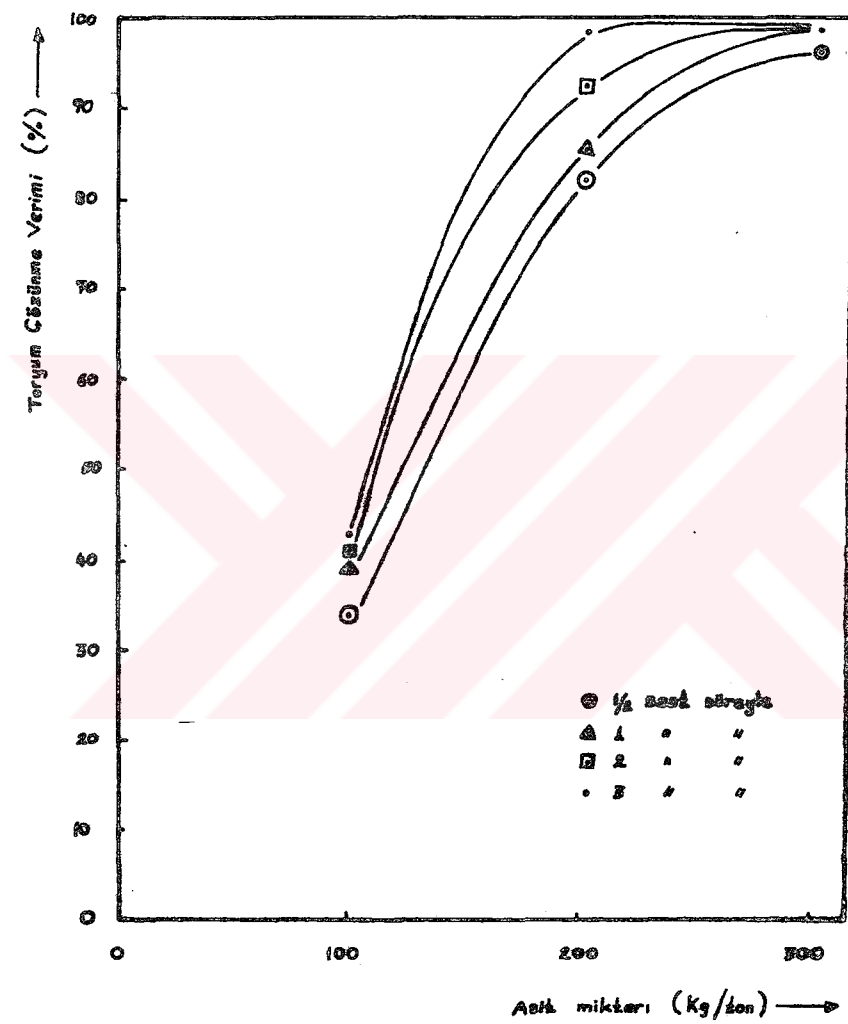
2.3.3.2 Tiryum Ön Konsantresini Hidroklorik Asit ile Çözündürme

Hidroklorik asitin, tiryum ön konsantresini çözündürmede çok etkili olduğu ve başarılı sonuçlar alındığı **ÇİZELGE:2.39** ve **2.40** ile **ŞEKL:2.18 ve 2.19**da görülmektedir.

ÇİZELGE:2.39 Tiryum Ön Konsantresinde, Tiryum Çözünme Veriminin HCl Miktarına Bağlı Olarak Değişimi

S U R E (saat)	ASIT MIKTARI (Kg/ton)	Ç Ö Z E L T I		Th-ÇÖZÜNME VERİMİ %
		Th(mgr/ml)	pH	
1/2	100	1.88	0.3	34
	200	4.45	0.0	82
	300	5.40	0.0	96
1	100	2.18	0.7	39
	200	4.60	0.0	85
	300	5.60	0.0	99
2	100	2.20	0.7	41
	200	5.16	0.0	92
	300	5.58	0.0	99
3	100	2.24	0.7	42
	200	5.52	0.0	98
	300	5.48	0.0	99

Tiryum ön konsantresinin hidroklorik asit ile çözündürülmesi deneylerinde, 200 Kg / ton HCl kullanılarak, tiryumun tamamı 3 saatlik çözündürme süresi sonunda çözeltive alınabilmistir.



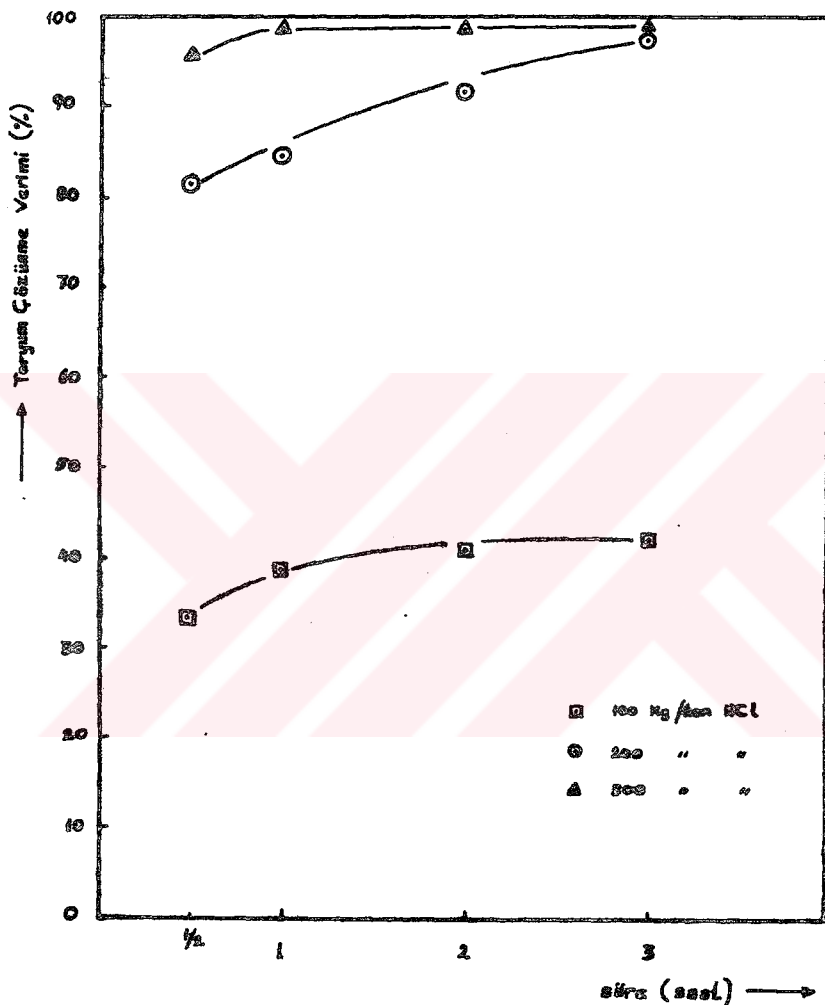
SEKİL: 2.18 Tergum Ön Konserasyonunda, Tergum Çözümlme Veriminin
HCl Miktarına Bağlı Olarak Değişimi.

**ÇİZELGE:2.40 Tiryum Ön Konsantresini,HCl ile Çözündürmede, Tiryum
Çözünme Veriminin,Çözündürme Süresine Bağlı Olarak
Değişimi**

ASIT MIKTARI (Kg/ton)	S Ü R E (saat)	G Ö Z E L T İ		Th-ÇÖZÜNMİ VERİMİ %
		Th(mgr/ml)	pH	
100	1/2	1.88	0.3	34
	1	2.18	0.7	39
	2	2.20	0.7	41
	3	2.24	0.7	42
200	1/2	4.45	0.0	82
	1	4.60	0.0	85
	2	5.16	0.0	92
	3	5.52	0.0	98
300	1/2	5.40	0.0	96
	1	5.60	0.0	99
	2	5.58	0.0	99
	3	5.48	0.0	99

Tiryum orijinal cevherinde aynı verimi sağlamak için 300 Kg/ton hidroklorik asit kullanmak gerekmektedir. Klerürlü ortamda çökme olmadığından deneyin yapılması sırasında karıştırma kolay olmug, süzmede de hiçbir zorlukla karşılaşılmamıştır. Bu faktörler tiryum çözünme veriminin artmasını sağlamıştır(75,76).

Daha önce anlatılmış olan tiryum tetra fluorürçökelmesi hidroklorik asit ile yapılan çözündürme denemelerinde görülmemiştir. Diğer iki asit ile yapılan deneylerin aksine olarak çözünme süresi arttıkça tiryum çözünme veriminde artmıştır. Çünkü hidroklorik asit numune içinde bulunan fluoriti(CaF_2) gözlemektedir(77,78,79). Böylece çözeltide tiryumu çöktürecek fluorürionu bulunmadığından çökelmede



SEKİL: 2.19 Turgum Ön Konsernesini HCl ile Çözündürmede, Turgum Çözümme Veriminin, Çözüldürme Süresine Bağlı Olarak Değişimi.

olmamaktadır.

Eskişehir - Beylikahır orijinal toryum cevherinin ve tambur ile aktarma deneyleri sonunda elde edilen toryum ön konsantresinin gözündürülmesi için en etkili asitin hidroklorik asit olduğu söylenebilir.

3. SONUÇLAR

Eskişehir - Beylikahır Tiryum Cevherlerinden seçilen numuneler üzerinde yapılan mikroskopik incelemeler, tiryum mineralinin çok küçük tanecikler halinde cevher içerisinde dağıldığını ve bu mineralin mikroskop altında görmemin mümkün olmadığını göstermiştir. Ancak X - ray diffraksiyesi metoduyla yapılan çalışma sonunda elde edilen bulguların Bastnasit mineraline uygunluğu tesbit edilebilmistir. Ayrıca cevher içerisinde fluorit, Barit, Dolomit, Limonit, Götiğ, Kuvars, Montmorillonit, Ortoklas ve Pirolusit mineralleri saptanmıştır.

Tiryum cevher numunesi içerisinde tesbit edilen mineraller tiryum mineralinden daha farklı özelliklere sahip olmalarına rağmen tiryumun kolay kırılıp ufalanabilen ve ince taneye geçem kil mineralleri ile birlikte hareket etmesinden dolayı gravimetrik ayırma, manyetik ayırma ve fletasyon yöntemleriyle istenilen özellikte ve verimde bir ön konsantre elde edilemeyeceği anlaşılmıştır.

Orijinal Tiryum cevher numunesi üzerinde yapılan aktaramak, dağıtma ve boyuta göre sınıflandırma ile zenginleştirme deneyleri sonunda 0.105 mm. altındaki tane boyutunda tüvenan cevher girişine göre % 41.6 oranında, % 1.2 Th tenörlü ve % 73.1 tiryum kazanma verimi ile bir ön konsantre elde edilmiştir. Bu ön konsantre gözündürme deneylerinde kullanılmıştır.

Orijinal toryum cevheri ve elde edilen toryum ön konsantresi sülfürik asit, nitrik asit ve hidroklorik asit ile çözündürme işlemine tabi tutulmuştur. Her üç asitede toryum % 99 luk bir verimle gözeltiye alınabilmistiir. Ancak toryum ön konsantresi için kullanılan asit miktarları orijinal cevhere nazaran % 30 - 35 oranında daha azdır.

Cözündürme işlemleri sırasında, orijinal cevherde bulunan serbest SiO_2 nedeniyle toryum çökelmesi olmazken, toryum ön konsantresinde fl. fazlalığı ve serbest SiO_2 nin çok az oluğu dolayısıyla gözeltiye geçen toryum tekrardan çökmemektedir. Bu gökelme nedeninin fl. duyu ve çözündürme süresi yarım saat geçince gökelmenin başladığı saptanmıştır.

Cözündürme işlemlerinde kullanılan nitrik asit ve hidroklorik asit gibi kuvvetli ve diffüzyon sabitleri yüksek asitler, katyonlarla çökecek bileşikler vermediklerinden sülfürik asitten daha etkin bir şekilde toryumu çözmekte, aynı verim için asit sarfiyatı sülfürik asitten daha düşük olmaktadır. Ayrıca karıştırma ve süzme işlemlerinde zorluk çikarmadıklarından toryum çözünme verimini olumsu yönde etkilemiyor. Bu iki asitten hidroklorik asit sunai uygulamalarda daha olverişli gözüküştünden diğerine nazara tercih edilebilmektedir.

Toryum ön konsantresi üzerinde hidroklorik asit ile yapılan çözündürme deneylerinde 200 kg/tom hidroklorik asit kullanılarak 3 saatlik çözündürme süresi sonunda % 99 luk bir verimle toryum gözeltiye alınabilmistiir. Orijinal cevherde ise bu verim, aynı çözündürme süresi sonunda 300 kg/tom hidroklorik asit kullanılarak elde edilebilmistiir.

K A Y N A K L A R

- 1 - Energy in a Finite World, International Institute for Applied System Analysis, Executive Report No:4 May, 1981. Austria.
- 2 - Nuclear Energy Digest, Westinghouse Nuclear Centre. 1980
- 3 - GÖKTEPE, G. - ADALIOĞLU, U. - Türkiye İçin Yakıt Çevrimleri ve Nükleer Güç Stratejisi Etüdü. Türkiyede Nükleer Enerji Planlaması Semineri. 24, Kasım, 1981
- 4 - ÖZDEMİR, Ü. - Türkiye Elektrik Enerjisi Üretim - Talep Dengesi 1984 - 2000 . T.C AEK Genel Sekreterliği.
- 5 - BİRSEN, N. - Dünya Uranyum Kaynakları, Yeterliliği ve Türkiyenin Uranyum Potansiyeli. T.C AEK Genel Sekreterliği.
- 6 - AKAR, A. - ÖZMERİH, L. - Eskişehir - Beylikahır Toryum Cevherlerini Zenginleştirme Etüdü. MTA Enstitüsü Tek.Şb.Raper No:2268,1974
- 7 - GÜLOVALI, M.Ç. - Türkiye Toryum Cevherlerinden Toryum ve Lantanitlerin Özütlenmesi. A.U. Fen Fakültesi Kimya Bölümü Doktora Tezi. Nisan 1982.
- 8 - HOGERTON, J.F. - The Atomic Energy Deskbook. Reinhold Publishing Corporation, New York 1963.
- 9 - YEMEL'YANOV, V.S. - YEVSTYUKHIN, A.I - The Metallurgy of Nuclear Fuel. Pergamon Press Ltd. London 1969.
- 10 - GENIE ATOMIQUE Vol. 5 - Bibliotheque des Sciences et Techniques Nucleaires,Presses Universitaires de France(1965) 108. Bd.St. Germain - Paris - VI.

- 11 - HYDE, E.K. - The Radiochemistry of Thorium. NAS-NS-3004 US Atomic Energy Commission. 1960
- 12 - PASCAL, P. - Nouveau Traite de Chimie Minerale. Tome: 9 Masson et Cie, Editeurs. Paris 1963.
- 13 - PRAKASH, B. - KANTAN, S.R - RAO, N.K - Metallurgy of Thorium Production. IAEA Vienna - 1962.
- 14 - CUTHERBERT, F.L - Thorium Production Technology. Addison-Wesley Publishing Co. Inc. Mass, USA 1958.
- 15 - AKAR, A. - ÖZMERİH, L. - Töryum. Madencilik Dergisi, Ocak 1974.
- 16 - RAND, M.N - GOLDBECK, O.V - FERRO, R - GIRGIS, K - DRAGOÖ, A.L - Thorium: Physico-Chemical Properties of Its Compounds and Alloys. IAEA - Special Issue No:5 Vienna - 1975.
- 17 - ALTIN, V. - ENGINOL, T. - YARMAN, T. - Töryum Nükleer Yakıt Çeviri-mi ve Türkiye Aşısından Değeri. Çağdaş Fizik, Bilimsel ve Mesleki Dergisi. Mayıs 1981.
- 18 - RODRIGUEZ, P - SUNDARAM, C.V - Nuclear and Materials Aspects of The Thorium Fuel Cycle. J.Nuel.Mater. 100(1981) 227-249.
- 19 - HATCHER, S.R - and others. Thorium Cycle in Heavy Water Moderated Pressure Tube(CANDU) Reactors. Atomic Energy of CANADA Limited AECL - 5398 , 1976.
- 20 - CRITOPH, E - and others - Prospects for Self-Sufficient Equilibrium Thorium Cycles in Candu Reactors. Atomic Energy of Canada Limited AECL - 5501 Chalk River Nuclear Lab. Ontario, March 1976.
- 21 - DORMUTH, K.W - LIDSTONE, R.F - A study of the Running-in period of a Candu - PHM Thorium Converter. Atomic Energy of Canada Ltd.AECL- 5391. Pinawa, Manitoba, August-1977.
- 22 - HEINRICH, E. Wm. - Mineralogy and Geology of Radioactive Raw Materials. Mc. Graw-Hill Book Company, Inc. New York 1958.
- 23 - OECD Nuclear Energy Agency and IAEA - Uranium, Resources, Production and Demand. 1979.
- 24 - FRONDEL, C. - Mineralogy of Thorium. U.S Geological Survey and Harvard University. Geology of Uranium and Thorium, International Conference. 1955.

- 25 - NAKOMAN, E. - Radroaktif Hammeddeler Jeolojisi. MTA Enstitüsü Eğitim Serisi No: 20 1979.
- 26 - DENVER EQUIPMENT COMPANY - Modern Mineral Processing Flowsheet. Colorado-USA.
- 27 - VLASOV, K.A - Mineralogy of Rare Elements.(Geochemistry and Mineralogy of Rare Elements and Genetic Types of Their Deposits) Vol.2 1966. Israel Program for Scientific Trans. Ltd.
- 28 - GÜNALAY, H.E - Eskişehir ili, Sivrihisar ilçesi, Beylikahır Bucağı Teryum Cevheri İşletme Projesi. MTA Enstitüsü - 1970.
- 29 - BLASKETT, K.S. - DUNKIN, H.H - Further Studies in the Behaviour of Monazite and Cassiterite in Re-Dressing Beach Sand Concentrates from Woodburn, N.S.W. Investigations Report No:428. Mining Department, University of Melbourne. 1952
- 30 - BLASKETT, K.S - DUNKIN, H.H - Concentration of Beach Sands from Jerusalem Creek, Near Woodburn, N.S.W. Investigations Report No:495 University of Melbourne.1955
- 31 - BLASKETT, K.S - DUNKIN, H.H - Re-Dressing of Low-grade Monazite Concentrate. Ore dressing Investigations Report No:350 University of Melbourne. 1948
- 32 - BLASKETT, K.S - HUDSON, S.B - Recovery of Monazite Concentrate from Beach Sand from Swansea. N.S.W. Ore Dressing Investigations Report No:515 University of Melbourne. 1955.
- 33 - DUNKIN, H.H - BLASKETT, K.S. - The Concentration of Beach Sands. Investigations Report No:303 University of Melbourne. 1949
- 34 - DUNKIN, H.H - BLASKETT, K.S. - DREWS, F.D - Concentration of Beach Sand from Minnimum, W.A. Ore Dressing Investigations Report No:320 University of Melbourne, 1949
- 35 - DUNKIN, H.H - BLASKETT, K.S - Re-treatment of Low-Grade Monazite Concentrates from Bureau of Mineral Resources. Ore Dressing Investigations Report No:423. University of Melbourne, 1953
- 36 - HUDSON, S.B - Magnetic Separation of Rutile and Ilmenite from Munmorah Lake, N.S.W.Ore Dressing Investigations Report No:511 University of Melbourne, 1955.

- 37 - HUDSON, S.B - BLASKETT, K.S - DUNKIN, H.H - Studies in re-dressing Beach Sand Concentrates from woodburn N.S.W Ore Dressing Investigations Report No:392. University of Melbourne 1950.
- 38 - MERRIT, R.C - The Extractive Metallurgy of Uranium. Colorado School of Mines Research Institute, U.S Atomic Energy Comm. 1971.
- 39 - BENEDICT, M. - PIGFORD, T.M - Nuclear Chemical Engineering. Mc.Graw-Hill Book Company, Inc. 1957 pp. 179-192.
- 40 - BRUCE, F.R - FLETCHER, J.M - HYMAN, H.H - KATZ, J.J - Process Chemistry. Vol. 1. Pergamon Press Ltd. London. 1956 p. 36-39.
- 41 - KAPLAN, G.E - USPENSKAYA, T.A - Investigations on Alkaline Methods for Monazite and Zircon Precessing. Proceedings of the International Conference on the Peaceful Uses of Atomic Energy.Vol.3 1958.
- 42 - MTA Enstitüsü Rapor No: 8744 Ankara - 1975.
- 43 - UZMEN, R. - İPEKOĞLU, B. - Dosage Radiometrique du Therium Dans Les Minerais de Turquie. CNAEN- R - 147, 1975.
- 44 - BEYCAN, N. - Ağır sivilarla Cevher Zenginleştirme. I.Türkiye Madencilik Bilimsel ve Teknik Kongresi. Şubat 1969.
- 45 - HUDSON, S.B - Examination of Beach Sand Samples from near Taree, NSW. Ore Dressing Investigations Report No: 514. University of Melbourne. 1955.
- 46 - HUDSON, S.B. - DUNKIN, H.H - Concentration of Beach Sand Minerals from near point Cowper, King Island, Tasmania. Ore Dressing Investigations Report No: 478. University of Melbourne 1954.
- 47 - HUDSON, S.B - DREWS, F. - Concentration of Beach Sands from Pulmoddai, Ceylon. Ore Dressing Investigations Report No:480 University of Melbourne. 1954.
- 48 - HUDSON, S.B - Treatment of a Beach Sand from Capel,Western Australia. Ore Dressing Investigations Report No:512. University of Melbourne 1955.
- 49 - HUDSON, S.B - DUNKIN, H.H - Concentration of Beach Sand Minerals from Ballina,NSW. Ore Dressing Investigations Report No:526.University of Melbourne. 1957.

- 50 - HUDSON, S.B - DUNKIN, H.H - Treatment of a Gravity Beach Sand Concentrate From Associated Minerals, PTY,LTD. Ore Dressing Investigations Report No:385. University of Melbourne. 1950.
- 51 - HUDSON, S.B - DUNKIN, H.H - Recovery of Zirkon,Rutile and Monazite From Weakly Magnetic Minerals From Mineral Deposits Syndicate, Southport,Queensland. Ore Dressing Investigations Report No:383. University of Melbourne. 1950.
- 52 - TAGGART, A.F - Handbook of Mineral Dressing. John Wiley and Sons Inc. 1954.
- 53 - TAGGART, A.F - Elements of Ore Dressing. J.W. and Sons Inc. 1951.
- 54 - HISELE, M.A - BAUER, D.J - Recovery and Separation of Rare-Earth Elements, Barium and Strontium from Bastnasite with Sulfuric Acid. Report of Investigations 7990. Reno Metallurgy Research Center, Reno, Nev.
- 55 - CYANAMID of Canada Ltd. - Mining Chemicals Handbook. Mineral Dressing Notes No:26
- 56 - GLEBOVSKII, V.A - KLASSEN, V.I - PLAKSIN, I.N - Flotation. Management Press. New York 1963
- 57 - GISLER, H.J - Flotation Reagent. Denver Equipment Company, Bulletin No: R1-B3 Colorado USA.
- 58 - GISLER, H.J - Factors Affecting Flotation. Denver Equipment Company, Bulletin No: F 10 - B 60 Colorado USA.
- 59 - LIGHT, D.E - FREITAG, C.A - HUDSON, G.B - NURSES, E.J - Flotation of Radioactive Minerals. The Canadian Mining and Metallurgical Bulletin for January, 1962 Montreal.
- 60 - THOM, C - GISLER, H.J - Flotation of Non-Metallics. Denver Equipment Company, Bulletin No: F 10 - B 84 Colorado USA.
- 61 - COOPER, A.R - Chemical Processing in The Atomic Energy Industry. Iliffe Books Ltd. London 1964
- 62 - KAPLAN, G.E - Metallurgy of Thorium. Proceedings of The International Conference on The Peaceful Uses of Atomic Energy. Vol. 8 1955

- 63 - LERNER, B.J - Process for Recovering Thorium and Rare Earth Values. United States Patent Office, Patent No:3,159,452 1964
- 64 - RITCEY, G.M - Treatment of Radioactive Ores at CANMET. ERP/MSL Report No:77-139 CANMET Canada, 1977
- 65 - SALEH, F.A - FARAG, A.K - Recovery of Uranium, Thorium and Cerium From Egyptian Monazite Sands. Zeitschrift für Anorganische und Allgemeine Chemie. Band 375, 1970
- 66 - MC CLURE, R.J - A Preliminary Survey of Canadian Thorium Resources and Possible Recovery Processes and Costs. Eldorado Nuclear Ltd. Ontario - Canada, 1975
- 67 - APPLE, R.F - WHITE, J.C - Chemist, Analyst. 49.49 (1960).
- 68 - ROSS, W.J - WHITE, J.C - Amal. Chem. 31 , 1847 (1959).
- 69 - TUĞSAVUL, A - Töryum Standart Referans Örneklerinin Hazırlanması. IAEA Projesi Kontrat No:2807 / RB , 1982
- 70 - BACHER, W - JACOB, E - Uranhexafluorid - Chemie und Technologie eines Grundstoffes des Nuklearen Brennstoff - Kreislaufes. Chemiker Zeitung, 106. Jahrgang (1982) Nr:3
- 71 - FLORENCE, T.M - Proceedings of A Symposium on The Analytical Chemistry of Uranium and Thorium. Paper 5. AAEC/TM 552 August 1970
- 72 - BAYKUT, F - Amorganik Kimya Praktikumu. İ.Ü Yayınları No:1563, 1970
- 73 - SKEAFF, J.M - Nitric Acid Leaching of Uranium Ore. ERP / MSL Report No:75-165 CANMET Canada, 1975
- 74 - UZMEN, R - Türkiye Uranium Cevherlerini Değerlendirme Çalışmasına Katkı. ÇNAEM - Rapor No:185 , 1978
- 75 - HAQUE, K.E - İPEKOĞLU, B - Hydrochloric Acid Leaching of Agnew Lake Uranium Ore. ERP/MSL Report No:80-107 CANMET , Canada 1980
- 76 - HAQUE, K.E - İPEKOĞLU, B - Hydrochloric Acid Leach of Agnew Lake Uranium Concentrate. ERP/MSL Report No:81-128 CANMET , Canada 1981

- 77 - CHARLOT, G - Les Réactions Chimiques en Solution. Masson et C^{ie}
Editeurs 120, Boulevard Saint-Germain, Paris VI, 1969 .
- 78 - MAHAN, B. H - Çevirenler: Prof.Dr. ŞENVAR, C - Dr. ERGÜER, E -
Üniversite Kimyası. Cilt.1 1972
- 79 - PERRY, R.H - CHILTON, C.H - Chemical Engineers Handbook. 5th Ed.
Mc Graw - Hill. 1973

TEŞEKKÜR

Doktora çalışmalarımın yönetimini kabul ederek bana bu tezi hazırlama olanağı sağlayan Sayın Hocam Prof.Dr.Turgut Cengiz BAYRAKTAR'a, çalışmalarım süresince öneri ve tenkitleri ile aragtırmalarına ışık tutan ve her konuda değerli yardımlarını esirgemeyen Sayın Doç.Dr.Güven ÖNAL'a sonsuz şükranlarımı sunarım.

Ayrıca çalışmalarım sırasında yardımcılarını gördüğüm Maden Fa-
kültesi Cevher Hazırlama Ana Bilim Dalında çalışan tüm elemanlar ile
ÇNAEİ mensuplarına teşekkürü bir borç bilirim.

ÖZGEÇMİŞ

Bedri İPEKOĞLU, 1949 yılında Sivas'ın Zara ilçesinde doğmuştur. İlk öğrenimini Samsunda, orta ve lise öğrenimini Ankara'da tamamladıktan sonra 1967 yılında Ankara Hacettepe Üniversitesi'nin Maden Yüksek Mühendisliği bölümünü girmiştir ve 26.Haziran.1973 tarihinde Maden Yük. Müh. olarak mezun olmuştur. Aynı yıl Türkiye Atom Enerjisi Kurumu'na bağlı Çekmece Nükleer Araştırma ve Eğitim Merkezinde araştırmacı olarak işe başlamıştır. 1979 - 1980 yılları arasında "Radyoaktif Çevherlerin Değerlendirilmesi" konusunda Kanada'da 1 yıl eğitim görmüştür. Halen İstanbul da Çekmece Nükleer Araştırma ve Eğitim Merkezinde uzman olarak çalışmaktadır.

W. G.
Yüksekokretim Kurulu
Dokümantasyon Merkezi